

**НАЦІОНАЛЬНА АКАДЕМІЯ НАУК УКРАЇНИ
ІНСТИТУТ ФІЗІОЛОГІЇ імені О.О. БОГОМОЛЬЦЯ**

На правах рукопису

Болдирєв Олексій Ігорович

УДК. 577.352:577.218

**ЕКСПРЕСІЯ ТА ФУНКЦІЯ НИЗЬКОПОРОГОВИХ
КАЛЬЦІЄВИХ КАНАЛІВ В ТАЛАМУСІ ТА
СОМАТОСЕНСОРНІЙ КОРІ ГОЛОВНОГО МОЗКУ ЩУРІВ В
ОНТОГЕНЕЗІ ТА В ЕКСПЕРИМЕНТАЛЬНІЙ МОДЕЛІ
АБСАНСНОЇ ЕПІЛЕПСІЇ**

03.00.02 – біофізика

Дисертація на здобуття наукового ступеня
кандидата біологічних наук

Науковий керівник – доктор біологічних наук,
професор **Я. М. Шуба**

Київ – 2016

ЗМІСТ

ЗМІСТ	2
ПЕРЕЛІК ВИКОРИСТАНИХ У РОБОТІ СКОРЧЕНЬ	5
ВСТУП	7
Розділ 1. Огляд літератури	15
1.1 Різноманіття низькопорогових кальцієвих каналів	15
1.1.1. Потенціалзалежні кальцієві канали серед біорізноманіття іонних каналів	15
1.1.2. Молекулярна структура T-каналів	17
1.1.3 Біофізичні властивості та фармакологія T-каналів	21
1.1.4. Регуляція експресії генів T-каналів	22
1.1.5. Фізіологічна роль T-каналів	24
1.2. Експресія та функція низькопорогових кальцієвих каналів у нейронах різних відділів нервової системи	26
1.2.1. Загальний огляд	26
1.2.2. НПКК у таламусі	27
1.2.3. НПКК у корі великих півкуль	28
1.3 Абсансна епілепсія	30
1.3.1 Дитяча абсансна епілепсія людини	30
1.3.2 Тваринні моделі	32
1.3.3. Характеристика експериментальної моделі абсансної епілепсії у щурів лінії WAG/Rij	33
2.1 Об'єкт дослідження	40
2.2 Молекулярно-біологічні методи дослідження	42

2.2.1 Полімеразна ланцюгова реакція поодиноких клітин (методика "single-cell RT-PCR")	42
2.2.2 Виділення РНК з тканин мозку	43
2.2.3 Зворотна транскрипція	44
2.2.4 Полімеразна ланцюгова реакція	46
2.2.5 Полімеразна ланцюгова реакція в реальному часі	48
2.2.6 "Вестерн-блот"	52
2.3. Електрофізіологічний експеримент	54
2.4. Математичні методи аналізу даних і програмне забезпечення	57
РОЗДІЛ 3 Результати власних досліджень	59
3.1 Розробка модифікації методу полімеразної ланцюгової реакції для оцінки експресії генів у окремих нейронах	59
3.2 Експресія генів низькопорогових кальцієвих каналів у таламусі щурів	66
3.2.1 Нейрон-специфічна експресія генів $\alpha 1$ -субодиниць низькопорогових кальцієвих каналів в таламусі	66
3.2.2. Онтогенетичний аспект експресії мРНК альфа1-субодиниць низькопорогових кальцієвих каналів в таламусі	73
3.3 Низькопорогові кальцієві канали у мозку щурів лінії WAG/Rij	79
3.3.1 Кількісна оцінка експресії мРНК альфа1-субодиниць низькопорогових кальцієвих каналів у сітчастому ядрі таламусу та соматосенсорному кортексі	79

3.3.2 Експресія білка альфа1-субодиниць низькопорогових кальцієвих каналів у соматосенсорній корі	84
3.3.3. Порівняння Т-кальцієвого струму в таламусі щурів лінії WAG/Rij і Wistar	88
3.4. Роль мікроРНК в регуляції експресії низькопорогових кальцієвих каналів	93
3.4.1. Біоінформаційний пошук мікроРНК, що взаємодіють із мРНК кальцієвих каналів Т-типу	93
3.4.2 Кількісна оцінка експресії мікроРНК-1 (rno-miR-1) у таламусі та соматосенсорній корі щурів із експериментальною абсансною епілепсією та на різних етапах онтогенезу	96
3.5. Аналіз та узагальнення результатів	100
ВИСНОВКИ	108
СПИСОК ВИКОРИСТАНИХ ДЖЕРЕЛ	110

ПЕРЕЛІК ВИКОРИСТАНИХ У РОБОТІ СКОРЧЕНЬ

ГАМК – гама-аміномасляна кислота

дНТП – дезоксирибонуклеотидтрифосфати

ЕЕГ – електроенцефалографія

ЕГТА – етиленгліколь-біс (β -аміноетиловий ефір) N,N,N',N' – тетраоцтова кислота

ЗТ – зворотна транскрипція

кДНК – компліментарна дезоксирибонуклеїнова кислота

ЛД – латеродорзальне ядро таламуса

мікроРНК – мікрорибонуклеїнова кислота

мРНК – матрична рибонуклеїнова кислота

НКП – низькопороговий кальцієвий потенціал

НПКК – низькопорогові кальцієві канали

ПД – потенціал дії

п. о. – пари нуклеїнових основ

ПККК – потенціал-керовані кальцієві канали

ПЛР – полімеразна ланцюгова реакція

СЯ – сітчасте ядро таламуса

ЦНС – центральна нервова система

TRIS – трис(гідроксиметил)амінометан

TRP –іонні канали «транз'єнтного рецепторного потенціалу»

TEA – тетраетиламоній

WAG/Rij – Wistar Albino Glaxo rats from Rijswik (щери Wistar Albino Glaxo з міста Райсвік)

ВСТУП

Актуальність теми

Потенціалкеровані кальцієві канали є родиною іонних каналів, воротний механізм яких спрацьовує під впливом змін трансмембранного потенціалу. Вхід іонів кальцію через ці канали призводить до функціональної відповіді клітин, що виражається в генерації потенціалів дії в нейронах та міоцитах, екзоцитозі, скороченні м'язів, специфічній експресії генів, тощо [1].

Підродина низькопорогових потенціалкерованих кальцієвих каналів (НПКК) ссавців, яку ще називають каналами Т-типу, кодується трьома генами – *Cacna1g*, *Cacna1h* і *Cacna1i*, які відповідають за експресію трьох ізоформ основної пороформуючої $\alpha 1$ -субодиниці цих каналів – $Ca_v3.1$, $Ca_v3.2$ $Ca_v3.3$. Ці канали диференційовано представлені в багатьох типах клітин по всьому організму людини і ссавців, але всі одночасно вони у визначених пропорціях присутні лише у різних нейронах головного мозку. Зокрема, важлива роль Т-каналів виявлена в таламусі, де вони беруть участь у генерації ритмічної електричної активності нейронів, що відповідає за переключення періодів сну й неспання [2]. Т-канали мають найменшу провідність щодо іонів кальцію серед усіх потенціал керованих кальцієвих каналів, що може вказувати на їх залучення в більш тонку «настройку» кальційзалежних клітинних процесів, порівняно з іншими «постачальниками» і джерелами внутрішньоклітинного кальцію [3].

НПКК відзначаються вкрай складним патерном експресії генів, який не тільки є тканинспецифічним, а і може змінюватися у часі та просторі в залежності від онтогенезу, фізіологічного стану

клітини та при патологіях. Більше того, поряд з такими іонними каналами, як серцевий калієвий канал HERG чи потенціалкеровані натрієві канали, НПКК привертають до себе все більше уваги, як важливі детермінанти каналопатій – патологічних станів, які специфічно пов'язані з дисфункцією тих чи інших іонних каналів. З того, що вже відомо про функції T-каналів, зрозуміло, що вони задіяні: 1) в тонкій регуляції мембранного потенціалу клітин та ритмогенезі в мозку та серці; 2) у постачанні іонів кальцію в клітину, які в якості вторинних посередників беруть участь у регуляції вивільнення додаткової кількості кальцію з цистерн ендоплазматичного ретикулуму, стимуляції синаптичної передачі, активації експресії генів тощо. Тому вивчення цих каналів є вкрай важливим для розуміння внутрішньоклітинної сигналізації та побудови моделі впливу іонів кальцію на молекулярні процеси в клітині.

Дисфункція НПКК в значній мірі визначає етіологію таких патологічних станів як епілепсія, біль, серцево-судинні захворювання, рак. Мутації в генах T-каналів корелюють з такими захворюваннями як епілепсія з абсансами, аутизм [4], гіперальдостеронізм [5], патологічний біль [6], деякі види раку [7,8].

Дитяча абсансна епілепсія людини – це поширене захворювання, на яке страждають близько 0,05% дітей по всьому світу [9]. Вона характеризується наявністю абсансів – коротких (4-20 секунд) періодів несвідомості, які можуть повторюватися в пацієнта від 5 до 100 разів на день. Значна кількість пацієнтів видужує після віку 15-17 років без терапії або внаслідок лікування анти-епілептичними препаратами [10]. Проте в інших пацієнтів абсанси змінюються конвульсивними формами епілепсії після

настання пубертатного періоду[11]. Етіологія абсансної епілепсії залишається невідомою, хоча виявлені генетичні кореляції захворювання з декількома нуклеотидними поліморфізмами в генах Т-каналів. Також на зв'язок НПКК з абсансною епілепсією вказують дослідження на тваринних моделях цього захворювання[12], участь НПКК-залежної таламічної активності у нападах [13], і те, що деякі антиепілептичні препарати є блокаторами Т-струму [14]. Але яким саме чином Т-канали залучені в етіологію абсанс-епілепсії, залишається невідомим.

Відсутність надійних селективних фармакологічних активаторів та блокаторів окремих підтипів Т-каналів та всієї підродини утруднює пошук лікарських засобів для корекції патологічних станів, пов'язаних з дисфункцією кальцієвих каналів Т-типу. Саме тому актуальним є пошук внутрішніх клітинних механізмів, які впливають на посилення чи послаблення активності НПКК. До таких механізмів належить регуляція експресії генів каналів Т-типу за допомогою транскрипційних факторів [15]. Зараз вже очевидно, що подібний вплив можуть здійснювати й ендogenousні малі інтерференційні РНК. Проте досі нема літературних даних щодо взаємодії малих РНК з мРНК Т-каналів, тому пошук таких ендogenousних регуляторів є важливим як з фундаментальної точки зору, так і для перспективи селективного фармакологічного чи генетичного впливу на кальцієві канали Т-типу.

Зв'язок роботи з науковими програмами, планами, темами

Робота виконувалася в рамках фундаментальної теми № 0110U006269

«Іонні канали та кальцієвий гомеостаз як мішені модуляторного впливу ендогенних та екзогенних біологічно активних речовин».

Метою дослідження було виявити зміни експресії генів низькопорогових кальцієвих каналів у таламусі та соматосенсорній корі щура під час нормального онтогенезу та в спадковій моделі абсансної епілепсії – лінії щурів WAG/Rij, з'ясувати потенційні механізми регуляції їх експресії та провести кореляцію між профілями експресії каналів, функціональними характеристиками нейронів і вираженістю епілептичного фенотипу.

Задачі дослідження:

1. Дослідити нейрон-специфічну експресію генів, що кодують $\alpha 1$ -субодиниці $Ca_v3.1$, $Ca_v3.2$, $Ca_v3.3$ низькопорогових кальцієвих каналів, у гальмівних ГАМК-ергічних та збуджувальних глутаматергічних нейронах таламуса та порівняти її з електрофізіологічними характеристиками цих нейронів
2. Дослідити зміни експресії генів, що кодують $\alpha 1$ -субодиниці $Ca_v3.1$, $Ca_v3.2$, $Ca_v3.3$ низькопорогових кальцієвих каналів, у тканині таламусу щурів різного віку
3. Визначити рівень експресії мРНК кальцієвих каналів Т-типу в таламусі та сомато-сенсорній корі щурів лінії WAG/Rij та дослідити Т-струми в нейронах цих ділянок мозку.
4. Оцінити можливий вплив мікроРНК на експресію Т-типу кальцієвих каналів

Об'єкт дослідження – низькопорогові кальцієві канали в нейронах головного мозку щурів

Предмет дослідження – кальцієві струми, рівень експресії мРНК і білка низькопорогових кальцієвих каналів в нервовій тканині та окремих нейронах таламуса і соматосенсорної кори щурів ліній Wistar WAG/Rij різного віку.

Методи дослідження. **Біофізичні:** електрофізіологічне вимірювання струмів через мембрану клітини, метод «петч-клемп», електрофорез ДНК і білків; **біохімічні та імунохімічні:** виділення окремих клітин з ядер таламусу та кори головного мозку щура, виділення РНК з нервової тканини головного мозку, виділення білків з нервової тканини, імунохімічне визначення білків методом «вестерн-блот»; **молекулярно-біологічні:** зворотна транскрипція із полімеразною ланцюговою реакцією, полімеразна ланцюгова реакція для кДНК з однієї клітини, кількісна полімеразна ланцюгова реакція (ПЛР у реальному часі); **біоінформаційні:** пошук сайтів зв'язування мікроРНК з мРНК у відкритих базах даних.

Наукова новизна одержаних результатів. У дисертаційній роботі:

- вперше проведено дослідження експресії мРНК низькопорогових кальцієвих каналів у таламусі на різних етапах онтогенезу і встановлено, що різні субодиниці кальцієвих каналів Т-типу змінюють свою експресію в таламусі та соматосенсорній корі головного мозку в процесі розвитку організму щура,
- встановлено зміни експресії мРНК і білка низькопорогових кальцієвих каналів у соматосенсорній корі щурів зі спонтанними абсансами, зокрема збільшення кількості мРНК і білка каналу Ca_v3.1 у соматосенсорній корі щурів лінії WAG/Rij і пов'язано це збільшення з абсансним фенотипом.

- вперше виявлено посттранскрипційну регуляцію мРНК низькопорогового кальцієвого каналу $Ca_v3.2$ за допомогою мікроРНК *gno-miR-1* в корі головного мозку та таламусі щура.

Практичне значення одержаних результатів. Отримані в дисертації результати можуть бути використані для подальших досліджень біофізичних і молекулярних механізмів, що лежать в основі залежних від віку особливостей регуляції концентрації іонів кальцію в нейронах таламусу, а також патогенезу абсансної епілепсії. Знання щодо зміни експресії низькопорогових кальцієвих каналів розширюють уявлення про їхню роль у формуванні нервової системи і можуть бути використані при пошуку нових регуляторів транскрипції і трансляції Т-каналів. Результати дисертації також можуть бути використані при розробці терапевтичних засобів лікування патологій, пов'язаних з гіперактивністю низькопорогових кальцієвих каналів.

Особистий внесок здобувача. Головна ідея та задачі досліджень були сформульовані науковим керівником д.б.н., проф. Шубою Я.М. Аналіз літературних даних, проведення біофізичних експериментів на поодиноких нейронах таламусу, вивчення експресії мРНК у тканині та окремих клітинах, імунохімічний аналіз вмісту білка, а також статистична обробка та аналіз одержаних результатів проводилися дисертантом самостійно. Автор висловлює щире подяку к.б.н О.К. Щегловітову і д.м.н. В.Є. Досенку за допомогу в оволодінні методиками, а також Б.Р. Шаропову, К.Л. Гулак, Н.Л. Штефан, М.Ю. Батюку, Д.О. Дринь, к.б.н. О.В. Дергаю, к.б.н. М.В. Дергаю, к.б.н. О.П. Любановій за допомогу в експериментах, аналізі та інтерпретації отриманих результатів,

формулюванні основних положень та підготовці матеріалів до друку.

Апробація результатів дисертації. Результати роботи було представлено на семінарах Сектору нейрофізіології Інституту фізіології ім. О.О.Богомольця (2005, 2011, 2012, 2015) та наступних наукових конференціях: Physiological society International Workshop on Molecular Physiology of Membrane Transport and Cellular Signalling (Яремче, 2007), 7th FENS forum of European neuroscience, (Амстердам, Нідерланди, 2010), The Bridges in Life Sciences 6th Annual Scientific Meeting, (Братислава, Словаччина, 2011), 36th FEBS Congress «Biochemistry for tomorrow's medicine» (Турин, Італія, 2011), V З'їзд Українського біофізичного товариства, (Луцьк, 2011), V Congress of Ukrainian Society for Neuroscience (Київ, 2011), III Конгресс фізіологов СНГ, (Ялта, 2011), VI конгрес патофізіологів України, (Місхор, 2012), I і III Всеукраїнські конференції молодих вчених «Фізіологія: від молекул до організму» (Київ, 2011, 2013), XI міжнародна наукова конференція студентів та аспірантів «Молодь та поступ біології» (Львів, 2015).

Публікації

За матеріалами дисертації опубліковано 19 робіт, у тому числі 5 статей у наукових журналах, 2 з яких в міжнародних наукових рецензованих журналах і 2 у вітчизняних наукових журналах, що входять до міжнародних наукометричних баз.

Структура і обсяг роботи. Дисертація складається зі вступу, огляду літератури, опису матеріалів і методів дослідження, експериментальних результатів, аналізу та узагальнення результатів досліджень, висновків та списку використаних джерел. Дисертацію

викладено на 108 сторінках стандартного тексту. Вона містить 25 рисунків та 1 таблицю. Список використаної літератури охоплює 123 найменування.

Текст та авторські рисунки публікуються під ліцензією CreativeCommons CC-BY-SA 4.0: вільне поширення, використання та модифікація, включно з комерційною метою, за умови посилання на автора і збереження даної ліцензії у похідних творах.

РОЗДІЛ 1. ОГЛЯД ЛІТЕРАТУРИ

1.1 Різноманіття низькопорогових кальцієвих каналів

1.1.1. Потенціалзалежні кальцієві канали серед біорізноманіття іонних каналів

Опис і аналіз з фізичної точки зору біологічних процесів, що забезпечуються фундаментальними молекулярними структурами, які лежать в основі всього живого, являє собою найперший інтерес біофізики. Одним з таких процесів є іонний гомеостаз клітини, особливо пов'язаний з іонами кальцію. Найважливіші іони, трансмембранний градієнт концентрації яких впливає на різні клітинні процеси (роботу білків-транспортів малих молекул, осмотичні процеси, міжклітинні взаємодії тощо) – це Na^+ , K^+ , Ca^{2+} , Cl^- , H^+ . Незважаючи на таку невелику кількість типів іонів, існує понад 300 різних генів, що кодують трансмембранні каналні білки, які дозволяють клітині впускати в цитоплазму та випускати назовні ці іони (це лише білки, що відповідають за пасивний транспорт іонів) [16]. Якщо врахувати механізми альтернативного сплайсінгу, редагування РНК, посттрансляційного процесінгу білка та утворення гетеромерних каналів, то кількість можливих білків-каналів, що можуть відрізнятися за функцією, досягає багатьох тисяч [17,18]. При цьому не можна забувати, що в основі функціонування цих білків лежить простий фізичний принцип: відкриття каналу призводить до руху іонів за електрохімічним градієнтом. Характер цього руху розшифровується молекулами шляхів внутрішньоклітинного сигналіну і викликає надзвичайне різноманіття клітинних відповідей на зовнішні стимули.

Найбільш чутливо клітина реагує на зміни концентрації іонів кальцію, що зазвичай занижена в цитоплазмі за допомогою машинерії активного відкачування. Вхід кальцію з позаклітинного простору також відбувається за допомогою різних каналів, що кодуються декількома десятками генів. Тут є селективні та неселективні до кальцію канали, що відкриваються у відповідь на зміни потенціалу, взаємодію з лігандом, перепади температури чи тиску, зсуви рН тощо. При цьому на зміни мембранного потенціалу, що, здавалося б, є досить одноманітними, у клітинах ссавців відповідають канали, які кодуються одразу 10-ма генами – родини потенціал-керованих кальцієвих каналів [17]. Ці канали за структурою генів явно є гомологами – найбільш різні з них мають однакову доменну будову та зберігають до 30% гомології послідовності. Вони експресуються у багатьох типах клітин, причому часто по декілька різних підтипів ПККК у одній клітині. Особливо це характерне для нейронів головного мозку. Всередині родини ПККК за гомологією виділяються дві групи генів, що також мають явну функціональну відмінність – вони відкриваються у відповідь на різні значення деполяризації. Це підродина високопорогових кальцієвих каналів, що пропускають кальцій при підвищенні мембранного потенціалу до -50 – -40 мВ, і низькопорогових, які активуються при нижчих потенціалах – -70 – -60 мВ. Підродина низькопорогових кальцієвих каналів (НПКК, Т-типу) містить 3 гени, які експресуються у багатьох типах клітин по всьому організму ссавців, але всі одночасно вони експресуються лише у нейронах головного мозку [19]. Кальцієві струми Т-типу вперше описані в сенсорних нейронах спінальних гангліїв українськими вченими в 1983-85 роках [20,21]. 3 гени НПКК було клоновано у кінці 1990-х років групою вчених зі США [22,23], [24].

1.1.2. Молекулярна структура Т-каналів

Функціонально активний білок потенціал-керованого кальцієвого каналу є гетеромультимером, тобто складається з кількох білкових субодиниць, які кодуються окремими генами. Головна пороутворююча білкова молекула – $\alpha 1$ -субодиниця, яка є трансмембранним білком. Вона у всіх ПККК складається з чотирьох повторюваних мотивів: вважають, що вони утворилися шляхом двох послідовних дуплікацій у гені предкового калієвого потенціалзалежного каналу [25]. Кожен мотив містить 6 трансмембранних сегментів, сформованих α -спіралями, причому 4-й сегмент є сенсором потенціалу й збагачений позитивно-зарядженими залишками амінокислот лізину та аргініну. Між 5-м і 6-м сегментом знаходиться так звана «Р-петля», яка утворює частину внутрішньої поверхні пори та селективного фільтру каналу. Чотири повторювані білкові мотиви поєднані між собою великими внутрішньоклітинними петлями, які містять сайти для взаємодії з цитоплазматичними білками, допоміжними субодиницями та іншими факторами. Довгі N- та С-кінцеві фрагменти білка також знаходяться на цитоплазматичному боці клітинної мембрани.

Допоміжні субодиниці β , γ , $\alpha 2\delta$ відповідають за транспорт і регуляцію роботи головної субодиниці (Рис. 1.1). Ці субодиниці є необхідними для функції білків, які походять з 7 генів так званих високопорогових кальцієвих каналів (тобто каналів, ворота яких відкриваються при значній зміні мембранного потенціалу, мають високий поріг активації до -40 – -30 мВ). Проте низькопорогові кальцієві канали є функціонально активними при експресії лише одного гену $\alpha 1$ -субодиниці без допоміжних білків. Сайти

зв'язування для допоміжних β -субодиниць на внутрішньоклітинних петлях T-каналів втратили свою консервативність порівняно з генами високопорогових кальцієвих каналів.

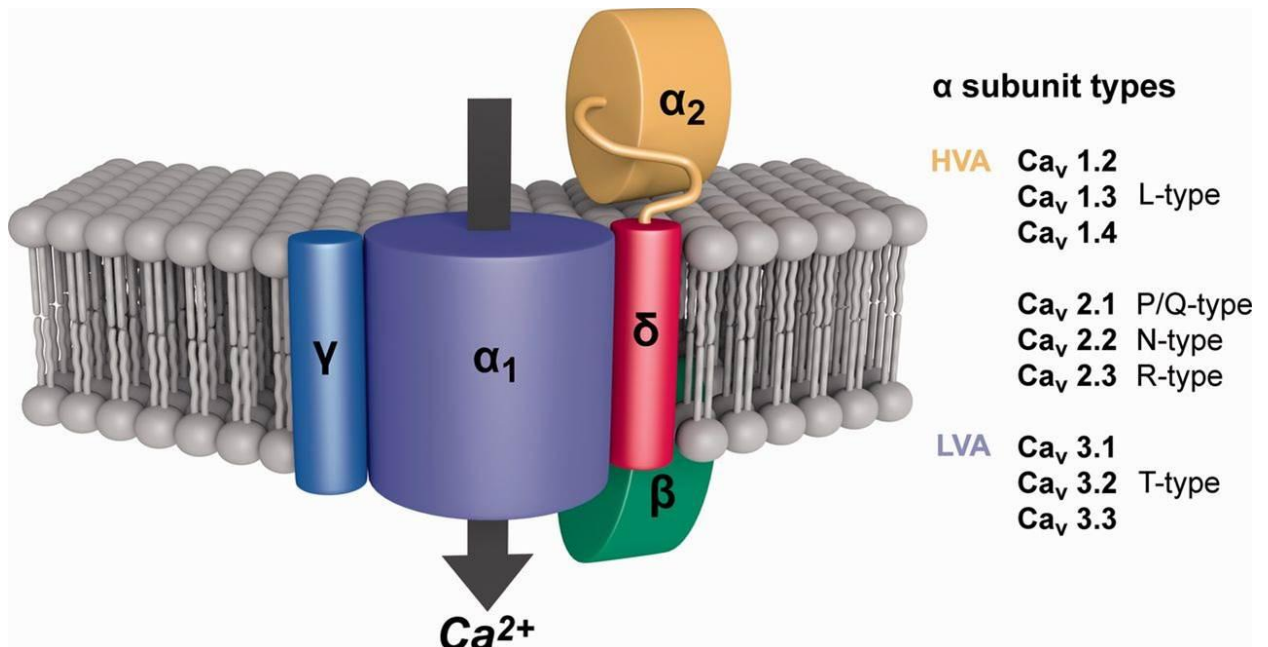


Рис. 1.1. Субодинична будова потенціал-керованого кальцієвого каналу. З [26], ліцензія Creative Commons CC-NC-SA 3.0

Гомологи генів, що кодують α_1 -субодиниці T-каналів широко розповсюджені в різних гілках тварин. Ортологічні гени знаходять у таких далеких групах як хоанофлагелляти (Choanoflagellata), трихоплакс (Placozoa), комахи (Insecta), молюски (Mollusca). Деякі групи, як наприклад губки (Spongia), не мають генів кальцієвих каналів T-типу, ймовірно внаслідок вторинної втрати. Цікаво, що найчастіше в геномі тварини наявний один ортолог під родини Ca_v3 , але серед представників кишковопорожнинних (Cnidaria) гідра *Hydra magnipapillata* має один ортологічний ген, а анемона *Nematostella vectensis* – два гени [26]. У геномі ссавців, як і у всіх Tetrapoda і кісткових риб, наявні 3 гени, що кодують НПКК: *Cacna1g* ($Ca_v3.1$), *Cacna1h* ($Ca_v3.2$) і *Cacna1i* ($Ca_v3.3$). Це, ймовірно,

є наслідком подвійної диплоїдизації генома предків риб. У людини ці гени розташовані відповідно на 17-й, 16-й і 22-й хромосомі [27].

Порівняльний аналіз послідовностей генів Ca_v3 каналів у людини, щура, миші, собаки та корови визначив ступінь гомології членів підродини в ссавців (Рис. 1.2). $Ca_v3.1$ канали є висококонсервативними, із гомологією 90-95% між згаданими п'ятьма видами, $Ca_v3.2$ менш консервативні – 70-80%, а $Ca_v3.3$ мають проміжні значення – 80-90%.

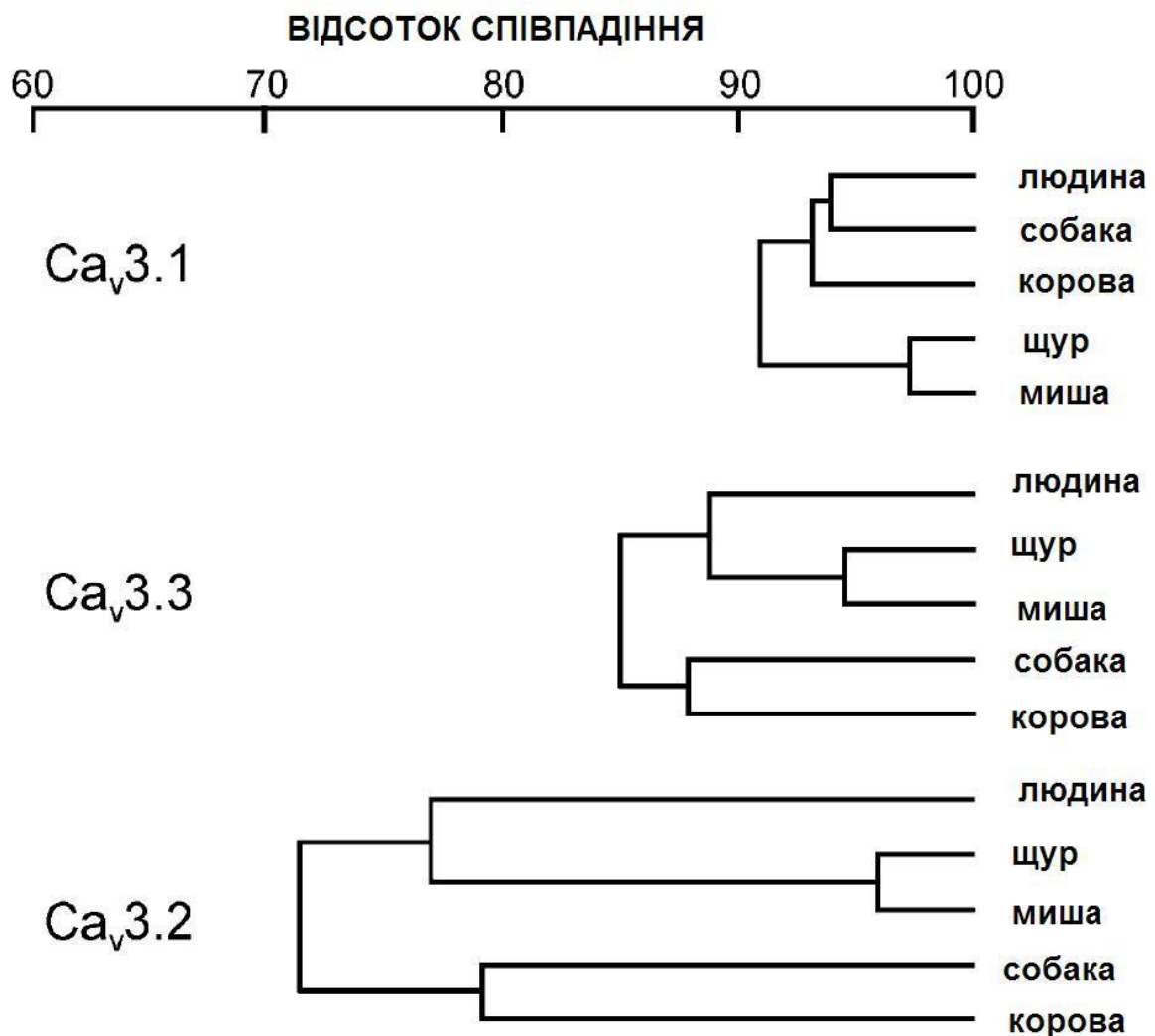


Рис. 1.2. Дендрограма консервативності послідовностей генів Ca_v3 каналів людини, собаки, корови, щура та миші (модифіковано з

[27]).

Така консервативність показує, що в ході еволюції зміни в амінокислотній послідовності $Ca_v3.1$ є максимально обмеженими, що може бути пов'язаним з його важливою роллю в таламо-кортикальній передачі сигналу. Вища варіабельність послідовностей $Ca_v3.2$ та $Ca_v3.3$ може бути пов'язаною з їхньою функцією модуляції фізіологічних процесів у різних типах клітин. Гомологія нуклеотидних послідовностей генів підродина Ca_v3 складає близько 40%, найвища консервативність спостерігається у трансмембранних ділянках [27].

Транскрипти всіх трьох генів підродина Ca_v3 підлягають альтернативному сплайсінгу, що відображається на функції каналів. Кожен ген складається з 35-38 екзонів. Так для $Ca_v3.1$ відомо декілька десятків сплайс-ізоформ, деякі з яких мають більшу щільність на мембрані та змінені характеристики активації, інактивації та проникності [28]. У гені $Ca_v3.2$ виявлено 14 сайтів сплайсінгу, які впливають на проявлення мутантних фенотипів та на активацію струму через канал [29]. Декілька сплайс-варіантів, що впливають на електрофізіологію каналу відомо і для $Ca_v3.3$ [30].

Незважаючи на те, що відсутні відомості про пряму біохімічну взаємодію між $\alpha 1$ -субодиницею та допоміжними білковими субодиницями потенціал-керованих кальцієвих каналів, коекспресія γ - та $\alpha 2\delta$ -білків призводила до змін у воротних струмах та щільності каналів на мембрані, проте цей вплив неспівставний з таким для високопорогових кальцієвих каналів [31].

1.1.3 Біофізичні властивості та фармакологія T-каналів

НПКК при значеннях мембранного потенціалу, близьких до потенціалу спокою нейрона -70 мВ, є частково інактивованими. При невеликій гіперполяризації, яка може бути викликана входом іонів хлору в клітину (наприклад, через гальмівні ГАМК- чи гліцинові рецептори) або відкриттям калієвих каналів, відбувається деінактивація T-каналів. Поріг активації для НПКК у різних типах клітин складає -80 – -55 мВ. Цікаво також, що криві інактивації та активації T-струму перетинаються, що дозволяє існувати «віконному струму»: у невеликому діапазоні мембранного потенціалу частина каналів (менше 1 відсотка) залишаються відкритими і не інактивуються після активації. Такий «віконний струм» підтримує базальний рівень кальцію в цитоплазмі, є механізмом ампліфікації сигналу в деяких типах нейронів [3].

T-канали мають найменшу провідність серед ПККК, яка для одиничного каналу складає від 2 до 9 пСм, в залежності від типу клітин та іона-переносника. За кінетикою інактивації T-струми розділяють на швидкі ($\tau_i=12-30$ мс) і повільні ($\tau_i=45-60$ мс). Відповідно до даних, отриманих на каналах, експресованих в гетерологічних системах експресії, швидка інактивація характерна для ізоформ $Ca_v3.1$ і $Ca_v3.2$, тоді як повільна – для $Ca_v3.3$. Втім різноманіття сплайс-варіантів, мембранного мікрооточення і внутрішньоклітинна регуляція значно ускладнюють цю картину, роблячи співставлення характеристик струму з конкретними субодиницями в різних клітинах утрудненим.

Вхід кальцію через НПКК у нейронах різних відділів головного мозку ссавців призводить до генерації низькопорогових

кальцієвих потенціалів (НКП). Це відносно тривала кальцієва хвиля, що призводить до низькоамплітудної деполяризації, на верхівці якої з'являється пачка потенціалів дії. НКП лежить в основі ритмогенезу в таламокортикальних та сітчастих нейронах таламуса, роботи нейронів глибоких ядер мозочка, інтернейронів кори та смугастого ядра, заднього шовного ядра [32].

Тривалий пошук селективних блокаторів і активаторів НПКК призвів до вельми обмежених результатів. Кілька похідних дигідропіридинів, мібефрадил, антиепілептичні препарати (зокрема етосукцимід), бензодіазепіни, іони нікелю та цинку використовуються лише в лабораторних дослідженнях, проте й вони не досягають бажаної селективності.

1.1.4. Регуляція експресії генів Т-каналів

Кальцієві канали Т-типу поширені в багатьох типах клітин, експресуються на різних рівнях та їх кількість варіює в онтогенезі та при фізіологічних і патологічних змінах. На експресію генів Т-каналів впливає низка внутрішньоклітинних месенджерів, проте чіткі механізми показані лише для небагатьох, а транскрипційних факторів виявлено всього декілька. Відомо, що ген *Casna1g* знаходиться під позитивним контролем комплексу транскрипційних факторів LEF1/ β -catenin, які забезпечують його високу експресію в таламусі [33]. Також у кардіоміоцитах експресію цього гену стимулює рецептор глюкокортикоїдів GR1 [34]. Нещодавно виявлено 4 сайти для транскрипційного фактору Sp1 у промоторі гену *Casna1g* та показано його стимулювальний вплив на транскрипцію [35]. Експресія гену *Casna1h* у серці активується транскрипційним фактором Csx/Nkx2.5 [36], але може

пригнічуватися 17-естрадіолом через фосфорилування цього фактору [37]. Транскрипційний фактор Egr1 активує транскрипцію мРНК з гену *Casna1h*, а фактор REST протидіє цій активації [38]. Рівень експресії обох генів підвищувався завдяки впливу тестостерону [39]. Крім того, у хромафінних клітинах наднирників щура продемонстровано збільшення експресії гену *Casna1h* під впливом цАМФ, але в результаті протеїн-кіназа-А-незалежного шляху [40,41]. В науковій літературі не описано жодного транскрипційного фактору для гену *Casnali*, що, ймовірно, пов'язано з його меншою клінічною значимістю.

Важливою ланкою впливу на посттранскрипційну долю мРНК є система РНК-інтерференції. Малі некодуєчі інтерференційні РНК, насамперед мікроРНК, впливають на цілі ансамблі транскриптів. Насьогодні відомо близько 2000 мікроРНК у ссавців та людини [42]. МікроРНК заковані в ДНК або окремими генами, або кластерами генів, або знаходяться в інтронах інших генів. Первинний транскрипт мікроРНК (прай-мікроРНК, pri-microRNA) являє собою велику молекулу РНК, що складається з сотень чи навіть тисяч нуклеотидів [43]. Ця послідовність утворює молекулярну шпильку – ділянку дволанцюгової РНК з частково неспареними нуклеотидами посередині ("голівка" шпильки). За допомогою нуклеаз Pasha та Drosha мультисубодиничний білковий "мікропроцесорний" комплекс здійснює процесинг прай-мікроРНК, залишаючи лише невеликий попередник зрілої молекули мікроРНК – шпилькову пре-мікроРНК (англ. pre-microRNA) довжиною у 60-90 нуклеотидів [43]. Пре-мікроРНК транспортується з ядра до цитоплазми, де нуклеаза Dicer відрізає «голівку» шпильки та вкорочує 5'- і 3'-кінці молекули, утворюючи дволанцюгову РНК, довжиною 21-22 пари нуклеотидів.

Один з ланцюгів цієї вже зрілої мікроРНК завантажується до ферментного комплексу RISC (*англ.* RNA-induced silencing complex), який шукає частково комплементарну до мікроРНК послідовність-мішень на 3'-нетрансльованій ділянці мРНК [43]. МікроРНК разом з RISC дестабілізує комплекс білків ініціації трансляції, заважає синтезу білка на рибосомі з даної мРНК, а також може призводити до її передчасної деградації в результаті відщеплення поліА-хвоста на 3'-кінці мРНК [44].

Для низки іонних каналів показана посттранскрипційна регуляція мікроРНК, проте кальцієві канали Т-типу як мішені цього класу регуляторних молекул у літературі не вказані. Нам відома лише одна побіжна згадка, що передбачає (але не досліджує) регуляцію НПКК у серці за допомогою мікроРНК *mir-1* [45].

1.1.5. Фізіологічна роль Т-каналів

НПКК експресуються у багатьох тканинах і органах ссавців, як у збудливих (нейронах, м'язах, секреторних клітинах), так і в інших клітинах (лімфоцити, сперматозоони, остеобласти тощо) [46]. Високий рівень експресії генів всіх трьох членів родини Ca_v3 у нервовій системі пов'язаний з їх роллю в переключенні режиму активності нейронів між поодинокими потенціалами дії і пачками потенціалів та участю в синаптичній передачі (див. наступний розділ 1.2).

У той же час, Т-канали є генераторами ритму в провідній системі серця ссавців. Відносно високий потенціал спокою атипичних кардіоміоцитів сино-атріального вузла (близько -60мВ) дає можливість НПКК перебувати в зоні поблизу "віконного струму", а

також легко виходити з інактивації завдяки невеликому рівню гіперполяризації, забезпеченої виходом калію з клітини [47].

Регуляція функції та експресії генів НПКК у судинах ангіотензин-альдостероновою системою активно впливає на підвищення артеріального тиску. Внесок цього механізму виявився настільки важливим, що в останні роки T-канали почали розглядати як потенційну мішень для антигіпертензивної терапії [48]. Разом із тим, в артеріях головного мозку кальцієвий канал $Ca_v3.2$ навпаки бере участь у розслабленні м'язової стінки судин завдяки залученню механізму негативного зворотного зв'язку шляхом стимулювання виходу кальцію з депо та активації кальцій-залежних калієвих каналів [49]. T-канали $Ca_v3.1$ і $Ca_v3.2$ регулюють скоротливість артеріол нирок, таким чином впливаючи на видільну функцію [50].

НПКК активно експресуються під час ембріогенезу, проліферації та диференціації в багатьох типах клітин. Наприклад, у проліферуючих міоцитах легеневої артерії кальцієвий канал $Ca_v3.1$ необхідний для переключення між різними етапами клітинного циклу [51].

У декільках роботах показано вплив T-каналів на активацію експресії генів. Зокрема в мезенхімальних клітинах хрящової тканини трахеї кальцієвий канал $Ca_v3.2$ стимулює диференціацію у хондроцити, активуючи промотор гену *Sox9* через NFAT-сигнальний шлях [52]

1.2. Експресія та функція низькопорогових кальцієвих каналів у нейронах різних відділів нервової системи

1.2.1. Загальний огляд

Результати досліджень з гібридизації *in situ* виявили унікальну картину розповсюдження НПКК у різних ділянках головного мозку щура [19]. Високі рівні експресії генів Т-каналів спостерігалися у релейних ядрах таламуса, гіпофізі, нижніх олівах, сенсорних гангліїв, зубчастої фасції. Також значні кількості мРНК було детектовано у мозочку, смугастому ядрі, субталамічних ядрах. Домінуюча експресія гену $Ca_v3.1$ виявлена у мигдалині, корі великих півкуль, ростральному гіпоталамусі, стовбурі мозку, спинному мозку. При цьому мРНК $Ca_v3.2$ і $Ca_v3.3$ мають вищий рівень у базальних ядрах, а всі три ізоформи представлені в рівній мірі у гіпокампі, нюховій цибулині, каудальному гіпоталамусі [19]. Втім, наявність високої експресії певного гену у вигляді мРНК необов'язково корелює з наявністю функціонального білка.

Властивість деінактивуватися і активуватися поблизу мембранного потенціалу спокою та здатність генерувати НКП дозволяє Т-каналам переводити нейрон у режим пачкової активності, що характерно для нейронів таламусу, шару Пуркін'є мозочка, гіпокампа. Цікаво, що в дофамінергічних нейронах чорної субстанції Ca_v3 -канали взаємодіють з кальцій-залежними калієвими каналами низької провідності (SK) й навпаки викликають перехід з пачкового до тонічного режиму нервової імпульсації [53].

Інша важлива регуляторна функція Т-каналів – тонке налаштування синаптичної передачі. Зокрема $Ca_v3.2$ взаємодіє з

калієвим каналом K_v7 , пригнічуючи його задля регуляції передачі потенціалу дії по аксону [54].

У сенсорних гангліях задніх корінців спинного мозку наявний високий рівень експресії гена $Ca_v3.2$ та домінуючий Т-струм через цей канал. Експерименти з заглушенням транскрипції цього гену виявили роль Т-струму в передачі больового сигналу з периферії до ЦНС [55]. Збільшення щільності Т-каналів на мембрані сенсорних нейронів спостерігається при нейропатичному болю внаслідок розвитку цукрового діабету [56]. Тим не менш, механізми участі НПКК у передачі хронічного болю залишаються неясними [57].

Для експресії генів кальцієвих каналів Т-типу в нервовій системі характерна суттєва онтогенетична залежність. В багатьох типах нейронів вони експресуються у певному віці, після чого зникають з мембрани [58,59].

1.2.2. НПКК у таламусі

У таламусі експресуються всі 3 гени підродина Ca_v3 . Дослідження розподілу мРНК Т-каналів за допомогою методу гібридизації *in situ* показало переважання транскриптів $Ca_v3.1$ у таламокортикальних релейних нейронах, $Ca_v3.2$ і $Ca_v3.3$ у сітчастому ядрі, а також змішану картину для локальних інтернейронів. Домінуючу роль кальцієвого каналу $Ca_v3.3$ у генерації повільних хвиль під час сну доведено дослідниками з нокаутними $Ca_v3.3^{-/-}$ мишами [60]. Проте в низці електрофізіологічних та імунохімічних досліджень показано більш складний розподіл ізоформ НПКК у таламусі, зокрема в латеродорзальному ядрі [61].

Біофізичні властивості каналів Т-типу роблять їх ідеальними регуляторами ритмогенезу в нейронах таламусу [62]. Гіперполяризаційні гальмівні впливи виводять Т-канали з інактивації, а струм, що активується гіперполяризацією, опосередкований HCN-каналами, викликає слабку деполяризацію, достатню для активації НПКК. Кальцієвий струм призводить до появи НКП, який переводить нейрон з режиму поодиноких потенціалів дії у ритм генерації пачок ПД. Коли на постсинаптичну мембрану приходять збуджувальні впливи з нижчих відділів нервової системи, мембрана деполяризується і ті Т-канали, що були активні, інактивуються, а інактивована більшість каналів залишається в тому ж стані. В такому стані нейрон генерує окремі ПД з різною частотою, передаючи сигнали від периферичної частини нервової системи до кори [63,64]. У тому ж разі, коли переважають гальмівні впливи і сумація постсинаптичних потенціалів призводить до гіперполяризації, НПКК деінактивуються і завдяки невеликій деполяризації, спричиненої відчиненням HCN-каналів, масово впускають кальцій, переводячи клітину до режиму пачкової активності. Такі події призводять до переривання передачі сигналів від сенсорних систем до кори, а на рівні організму – до сну. Збільшення активності Т-каналів у неналежний час вважається однією з можливих причин дитячої епілепсії та інших видів епілепсії з абсансами [65–67].

1.2.3. НПКК у корі великих півкуль

Методом гібридизації *in situ* встановлено наявність значних кількостей мРНК НПКК у різних частинах кори великих півкуль головного мозку щура [19]. Утім за наступні роки було вивчено лише декілька аспектів поширення Т-каналів у корі. Зокрема Ca_v3.3

було виявлено за допомогою антитіл та електронної мікроскопії в ГАМК-ергічних нейронах II, III, IV, V і IV шарів сомато-сенсорної кори, причому найбільша щільність каналів спостерігалася на дендритах і в перисинаптичних ділянках клітинної мембрани [68]. Разом із тим детальне електрофізіологічне дослідження пірамідних нейронів V шару соматосенсорної кори 12-16-денних щурів виявило наявність усіх типів високопорогових ПККК, але відсутність струмів T-типу [69]. Електричну активність та пресинаптичну локалізацію $Ca_v3.2$ було виявлено в глутаматергічних закінченнях на клітинах III шару енторинальної кори щурів, де T-канали взаємодіють з HCN-каналами задля регуляції синаптичної передачі та пластичності [70]. Щільність T-струму в зоровій корі щурів змінюється в ранній постнатальний період, досягаючи максимуму в період відкриття очей, а потім повертаючись на попередній низький рівень. Фармакологічними методами визначено ізоформу як $Ca_v3.2$ та показано її важливу участь у формуванні довготривалої синаптичної потенціації [71]. Отже, незважаючи на малу дослідженість T-каналів у корі головного мозку, наявні роботи свідчать про залучення їх у якості регуляторів роботи синапсів. Найбільш динамічно експресія кальцієвих каналів T-типу в корі ссавців змінюється у ранньому постнатальному етапі розвитку та пов'язана з формуванням нових нервових зв'язків, після чого відносно стабілізується.

1.3. Абсансна епілепсія

1.3.1. Дитяча абсансна епілепсія людини

Дитяча абсансна епілепсія людини – це поширене захворювання, на яке страждають близько 0,05% дітей по всьому світу (5 людей на 10000) [9]. 10-17% усіх нейрологічних порушень епілептичного спектру в дітей належать до дитячої абсансної епілепсії [72]. Це ідіопатична неконвульсивна генетично обумовлена епілепсія з абсансами: короткими (4-20 секунд) періодами несвідомості, які можуть повторюватися в пацієнта від 5 до 100 разів на день. На електроенцефалограмі хворих спостерігаються характерні періоди – комплекси "пік-хвиля" (*англ. spike-wave discharges*).

У клініці вважається, що близько 90% пацієнтів з дитячою епілепсією видужують без терапії або внаслідок лікування антиепілептичними препаратами етосукцимідом та валпроатом [10], і абсанси припиняються після віку 15-17 років. В окремих випадках у пацієнтів з'являються клонічні або навіть генералізовані приступи після настання пубертатного періоду. Проте за даними мета-аналізу [11] ймовірність появи конвульсивних форм епілепсії може бути набагато вищою через невірні оцінки, викликані помилковими діагнозами, використаними в попередніх аналізах. Але навіть при зникненні абсансів у пубертатному віці, в мозку пацієнтів спостерігаються мікроструктурні зміни в мозолистому тілі, що може призводити до порушення когнітивних функцій та синхронізації між півкулями головного мозку [73]

На відміну від інших видів епілепсії, дитяча абсансна епілепсія є майже виключно спадковою [74]. Дослідження кореляції між

генотипом і фенотипом виявили декілька десятків однонуклеотидних поліморфізмів – точкових замін у ДНК – які частіше зустрічаються у хворих на абсансну епілепсію. Такі поліморфізми знайдено у генах глутаматних та ГАМК-рецепторів, ГАМК-транспортерів, натрієвих та нуклеотид-керованих каналів, переносників глюкози, факторів трансляції та епігенетичного маркування [75].

Також відомо декілька однонуклеотидних поліморфізмів у генах НПКК, які асоціюють з абсансною епілепсією [76]. Секвенування генів *CACNA1G* та *CACNA1H* у ханьській популяції північно-східного Китаю виявило 12 міссенс-мутацій, частота яких вище в хворих на дитячу абсансну епілепсію [77]. 7 з цих поліморфізмів впливають на амінокислотні заміни у внутрішньоклітинній петлі, що з'єднує I та II мембранні домени, 2 сайти розміщені в позаклітинних петлях, а 3 – у трансмембранних сегментах. Аналіз цих мутацій у гетерологічній системі експресії показав зміну часової та/або вольт-амперної характеристики струму. Всі поліморфізми збільшували кількість відкритих каналів у стаціонарному стані, а надекспресовані в культурі нейронів гіпокампу зсували баланс нейронної активності в бік низькопорогових кальцієвих потенціалів і пачок потенціалів дії [78]. Утім подальші популяційні дослідження не виявили більшість подібних поліморфізмів у інших популяціях Європи, Азії та Америки. Лише мутація R788C виявилася більш розповсюдженою: її мають близько 20% китайців, 14% японців та 5% європейців [79].

1.3.2. Тваринні моделі

Докази наявності генетичної схильності до абсансної епілепсії базуються на аналізі захворюваності серед близнюків. Випадки появи абсансів в обох сіблінгів набагато частіше трапляються у монозиготних близнюків, ніж у гетерозиготних [80]. Враховуючи генетичну схильність, спадкові тваринні моделі набагато краще відтворюють абсансну епілепсію людини, ніж моделі, у яких епілепсія індукується фармакологічними чинниками [81]. Тому генетичним моделям деякий час надавали перевагу. Разом з тим, досить широко використовувалися і фармакологічні експериментальні моделі: пеніцилінова котяча, пентилентетразолова та γ -гідроксибутирова.

У сімдесятих роках ХХ століття було описано різноманітні мишачі генетичні моделі, у яких крім комплексів "пік-хвиля" спостерігалися й інші неврологічні аномалії [75]. Пізніше пік-хвильові розряди було виявлено й у щурів. У 2005 році генетикам вдалося вивести лінію мишей, яка демонструвала лише абсанс-подібний фенотип, без інших відхилень [82]

У 2009 році в роботі німецьких дослідників [80] було створено мишачу лінію, що гіперекспресувала ізоформу $Ca_v3.1$. В неї було виявлено характерні для абсансів веретеневидні розрядки на ЕЕГ. Цікаво, що гіперекспресія Т-каналу спостерігалася не тільки у таламусі, але й корі.

Найперші вимоги до достовірної моделі епілепсії – це наявність спонтанних комплексів "пік-хвиля" на електроенцефалограмах (ЕЕГ) та супутніх клінічних ознак епілепсії. У минулому дослідники спостерігали, що деякий відсоток щурів у

схрещуваній має пік-хвильові розряди, які супроводжуються зупинкою тварини та посмикуванням вібрисів [13]. Група Marescaux та Vergnes [83–85] проводила інтенсивні дослідження на Страсбурзькій породі лінії щурів Wistar. У 31% щурів віком 6-12 місяців були зареєстровані комплекси «пік-хвиля». Потім вони відібрали та схрестили цих щурів між собою, яких потім назвали «Страсбурзькі щурі з генетичною абсансною епілепсією» (Genetic Absence Epileptic Rats of Strasbourg, GAERS). Цим вдалося підвищити і частоту появи, і тривалість пік-хвильових розрядів. Генералізовані, неконвульсивні приступи з'являються у GAERS у віці 40-120 днів і тривають впродовж їхнього життя, посилюючись із віком [86]. Інші дослідники також помічали, що різноманітні породи та селективні лінії щурів проявляють пік-хвильові розряди. У всіх породах та лініях спостерігається вік-залежне підвищення кількості уражених тварин, кількості та часу тривалості пік-хвильових розрядів. Було показано, що у щурів Wistar віком у 22 місяці проявляється відхилення у більше ніж 90% особин [13]. Таке монотонне збільшення пік-хвильових розрядів із віком не зовсім співпадає із ситуацією при людському захворюванні. Абсансна епілепсія людини – це дитяче захворювання, яке або проходить при статевому дозріванні, або трансформується у більш серйозний тип епілепсії; тоді як у щурів пік-хвильові розряди проявляються при статевому дозріванні і не зникають до кінця життя.

1.3.3. Характеристика експериментальної моделі абсансної епілепсії у щурів лінії WAG/Rij

Лінія щурів WAG/Rij є похідною від щурів породи WAG (англ. Wistar Albino Glaxo), яка, в свою чергу, була виведена із лінії Wistar у лабораторії Glaxo Лондоні в 1924 році. Існують й інші похідні,

такі як WAG/Cpb, WAG/Kyo, WAG/Mb1, Wag/Orl, Wag/Ztu. WAG/Rij – це інbredна лінія, виведена схрещуваннями між сіблінгами більше 130 поколінь. Поведінка WAG/Rij подібна до щурів Wistar [13].

У 1986 році було помічено, що усі дорослі WAG/Rij щурі демонструють наявність комплексів «пік-хвиля» на ЕЕГ із слабкими фентиповими проявами. У 6-ти місячному віці у самиць та самців спостерігається близько 16-20 розрядів на годину із середньою тривалістю близько 5 с, що відповідає кільком сотням розрядів на день. Комплексів «пік-хвиля» з'являються у віці від 2 до 3 місяців, у молодших особин вони не були помічені.

Комплекси «пік-хвиля», які спостерігаються при кортикальній електроенцефалографії у дорослих щурів лінії WAG/Rij складаються з пачок високоамплітудних коливань тривалістю 1-30 с і частотою 7-10 Гц, у той час як в людини під час абсансів частота нижча – 3 Гц. [13]. Як і в інших лініях, кількість пік-хвильових розрядів зростає із віком. У 6-тимісячних щурів трапляється 16-18 нападів на годину, 300-400 – на день, незалежно від статі щура, тоді як у людини більша схильність до абсансів спостерігається в жінок. Комплекси «пік-хвиля» білатерально-симетричні, поширюються на усю кору. У фронтальних ділянках розряди краще проявляються, ніж у паріетальних. Як і в людей, під час нападів разом із електрофізіологічними ознаками проявляються і слабкі зовнішні. Приступи у WAG/Rij щурів супроводжуються лицевими міоклонними посіпуваннями, посмикуваннями вібрисів, прискореним диханням, відкиданням голови та дрижанням очей. За іншими параметрами тварини цілковито знерухомлюються. Такі стани, як активність, повільний сон та REM-сон сильно впливають

на ймовірність виникнення розрядів. У більш ніж 80% випадків комплекси «пік-хвиля» виникають під час пасивної активності або поверхневого повільного сну [87]. Деколи приступи проявляються впродовж глибокого повільного сну та рухливої активності. Під час REM-сну комплекси «пік-хвиля» трапляються рідко. У людей також напади трапляються частіше під час дрімоти чи поверхневого повільного сну. Це вказує на те, що комплекси «пік-хвиля» легко проявляються у перехідних станах між сном та активністю. Звідси, вони переважно проявляються у нестабільні періоди, які також часто характеризуються сонними веретенами. Час появи та частота веретен співпадає із такими пік-хвильових розрядів. Ця подібність вказує на близьку спорідненість цих двох явищ.

Таким чином, лінія WAG/Rij є адекватною моделлю абсансів, що виникають під час дитячої абсансної епілепсії людини. На це вказує форма комплексів «пік-хвиля», зв'язок абсансів із станом активності чи сну, циркадний розподіл активності мозку. Існують також відмінності, які обмежують можливість прямого переносу результатів моделі на людину, зокрема частота нападів, онтогенетичний патерн появи абсансів, нічна активність щурів на відміну від денної активності людини тощо [13].

Щодо первинного джерела походження комплексів "пік-хвиля" під час абсансів було висловлено декілька гіпотез. У 1970-ті роки Penfield та Jasper запропонували «центренцефалічну» теорію, що розглядає глибокий субкортикальний пейсмейкер, який, можливо, розміщується у верхній частині стовбура мозку, або у медіальному таламусі і має широкі проєкції до обох півкуль, як джерело комплексів «пік-хвиля» [88,89]. Buzsaki та інші в 1988 році запропонували теорію «таламічного годинника», у якій сітчасті

таламічні ядра містять пейсмейкер, що генерує комплекси "пік-хвиля". Більш давня «кортикальна» теорія Банкауда (1972) та Нідермеєра (1972) розглядає певний фокус у корі як джерело SWD. У цій теорії субкортикальні структури не обов'язкові для генерації SWD, а грають пасивну роль. Gloor (1968, 1969) постулював «кортикоретикулярну» теорію, що об'єднує таламічну та кортикальну теорії. За нею гіперзбудлива кора ненормально відповідає на нормальні таламокортикальні імпульси, генеруючи тим самим ненормальні таламокортикальні осциляції [90].

У всіх теоріях, як вихідну умову, приймають значну синхронізацію таламокортикальних чи кортикоталамічних зв'язків. Широко поширені, синхронні, білатеральні комплекси «пік-хвиля» є доказом цього. Нідерландські вчені [91] досліджували появу та розповсюдження комплексів «пік-хвиля», вимірюючи потенціали на корі та таламусі у вільнорухомих щурів лінії WAG/Rij. Було знайдено «кортикальний фокус» у периоральній ділянці соматосенсорної кори, відповідальній за відчуття верхньої губи та вібриси (Рис. 1.3). Пік-хвильові розряди, записані із інших ділянок кори, достатньо сильно відставали від фокальної ділянки, а часові затримки зростали із відстанню електрода від фокуса. Внутрішньоталамічні взаємозв'язки були більш складними і не могли давати відчутного впливу на кортикальне поширення комплексів «пік-хвиля». Кортикальні та таламічні сайти взаємодіяли двонаправлено, напрямок зв'язку варіював впродовж одного приступу. Проте, впродовж перших 500 мс кортикальний фокус відчутно випереджав таламус.

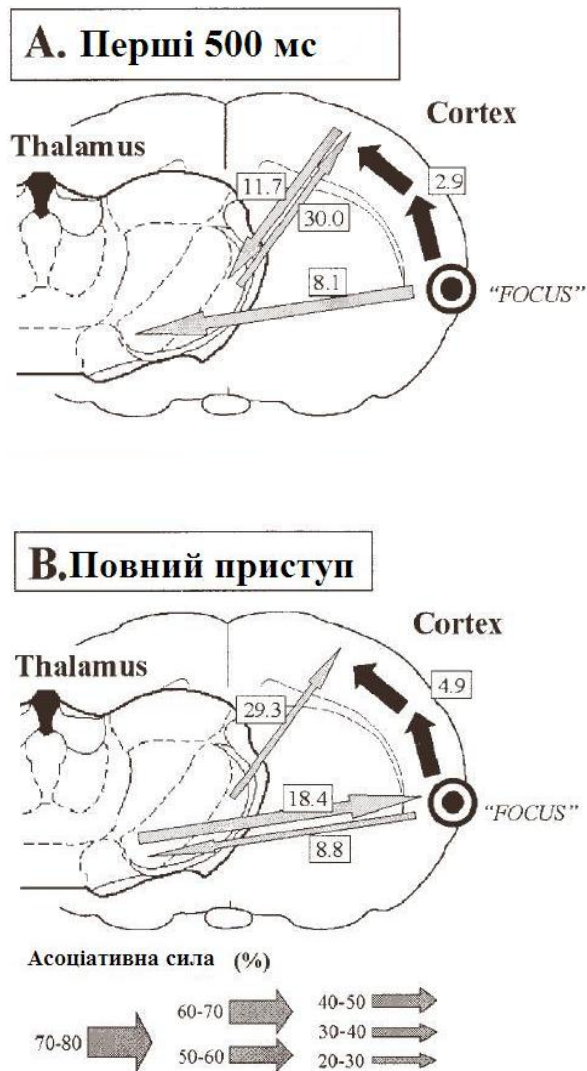


Рис. 1.3 Кортикальні (чорні стрілки) та кортикоталамічні (сірі стрілки) взаємозв'язки впродовж спонтанних комплексів «пік-хвиля» у щурів лінії WAG/Rij. Товщина стрілки відображає силу асоціації між ділянками. А – Взаємозв'язки в перші 500 мс приступу. «Кортикальний фокус» соматосенсорної кори верхньої губи та вібрис відчутно випереджав інші кортикальні ділянки. Кортикальний фокус випереджав вентропостеріальне медіальне ядро таламусу на 8.1 мс. В – взаємозв'язки впродовж усього приступу (адаптовано з [91]).

Ці дані заперечують наявність лише одного субкортикального пейсмейкера комплексів «пік-хвиля» у щурів. Натомість, результати

вказують на домінуючу роль «кортикального фокуса» в ініціації комплексів, а висока синхронізація досягається надзвичайно швидким розповсюдженням приступу по корі [90]. Впродовж першого циклу, кора рекрутує таламус, який починає брати участь у осциляціях. Через деякий час кора та таламус починають діяти як уніфікована осциляторна мережа. По факту, кора залучає інтактний таламус у підтримання осциляцій. Із цього слідує, що комплекси «пік-хвиля» не є формою збурених сонних веретен, що генеруються таламусом, а являють собою окреме явище. Тому був запропонований синтез «кортикальної» та «кортикоретикулярної» теорій у теорію «запуску корою та підтримки таламусом» [90].

Таким чином, аналіз літературних відомостей дозволяє на зробити наступні висновки:

1. Низькопорогові кальцієві канали наявні в багатьох типах клітин ссавців, де виконують функції ритмогенезу, активації механізмів руху, внутрішньоклітинної кальцієвої сигналізації, регуляції експресії генів тощо.
2. Кожен з трьох генів НПКК має власний профіль експресії, який змінюється в нормальному онтогенезі та при патологічних станах, призводячи до змін фізіології клітини та організму.
3. Функції НПКК добре описані в таламусі, проте залишається неясною динаміка змін експресії генів Т-каналів в ньому під час раннього і зрілого періоду онтогенезу, а також мало відомо про регуляцію, що викликає ці зміни, зокрема про регуляцію за допомогою РНК-інтерференції.

4. Експресія генів та функція Т-каналів у корі великих півкуль головного мозку вивчені недостатньо, зокрема майже відсутні відомості щодо ролі $Ca_v3.1$.
5. Клітинні механізми розвитку дитячої абсансної епілепсії людини і моделі абсансів – щурів лінії WAG/Rij – досліджені недостатньо, хоча припускається певна роль НПКК у патологічній активності головного мозку.

РОЗДІЛ 2. Методика досліджень

2.1. Об'єкт дослідження

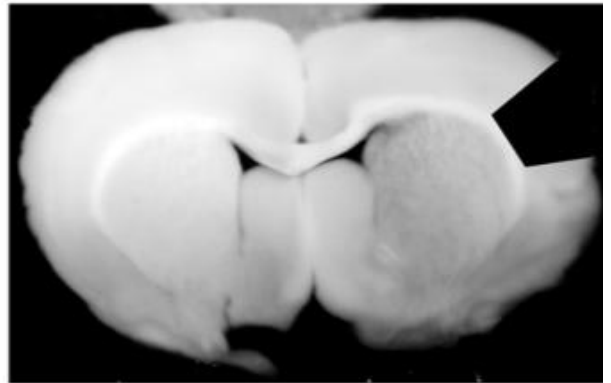
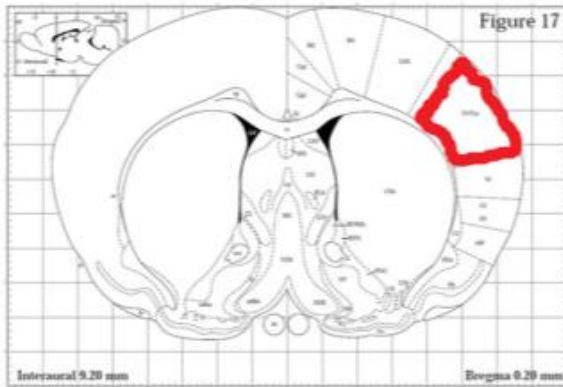
Всі дослідження проводилися на щурах ліній Wistar WAG/Rij, що утримувалися у віварії Інституту фізіології ім. О.О. Богомольця в окремих кімнатах, щоб не допустити міжлінійного схрещування. Для дослідження використовувалися самці щурів віком 1, 5, 10, 15, 25, 30 постнатальних днів, а також 3- і 6-місячні. Всі маніпуляції з тваринами відбувалися у відповідності до вимог Європейської конвенції про захист хребетних тварин, що використовуються для дослідних наукових цілей (Страсбург, 18 березня 1986 рік), та згідно з «Науково-практичними рекомендаціями з утримання лабораторних тварин та роботи з ними» Міністерства охорони здоров'я України (Київ, 2002).

Тканину головного мозку виділяли для дослідження окремих нейронів, виділення тотальної РНК або білку. Попередньо готували наступні розчини (концентрації в мілімолях на літр). Розчин 1: 150 NaCl, 5 KCl, 2 CaCl₂, 2 MgCl₂, 26 NaHCO₃, 1,25 NaH₂PO₄. Розчин 2: 150 NaCl, 74,5 KCl, 0,9 CaCl₂, 1,1 MgCl₂, 26 NaHCO₃, 1,25 NaH₂PO₄. Безпосередньо перед використанням у розчини додавали 10 мМ глюкози.

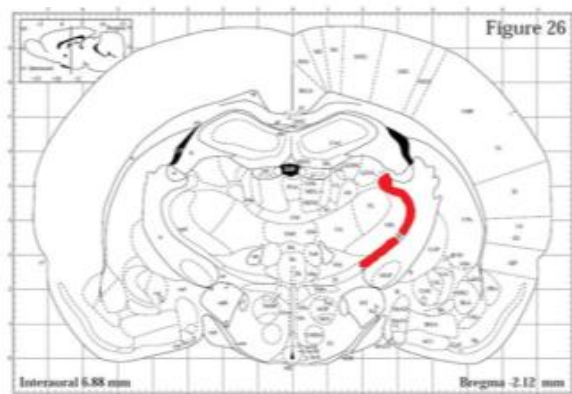
Щура лінії Wistar віком 14-15 днів наркотизували та декапітували, ножицями зрізали шкіру голови та підрізали череп спереду. Мозок діставали, відрізали мозочок, приклеювали до підставки вібратору потиличною частиною та занурювали в охолоджений до +4°C розчин 2. За допомогою вібратору робили корональні зрізи товщиною у 300-500мкм, які вміщували під

бінокулярний мікроскоп. На кожному зрізі згідно з атласом мозку щура [92] знаходили сітчасте (СЯ) та латеродорзальне ядра (ЛД) таламусу і зону соматосенсорної кори верхньої губи та вібрис, які потім вирізали за допомогою тонкого скальпеля.

А



Б



В

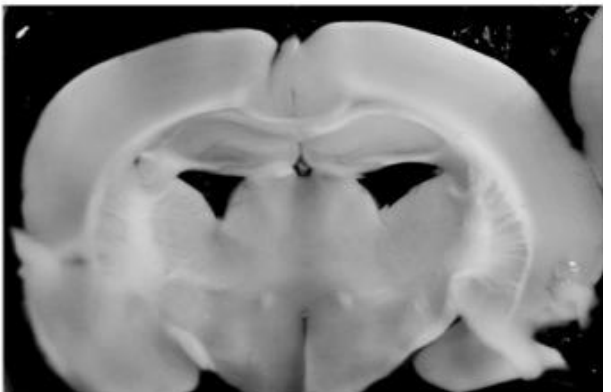
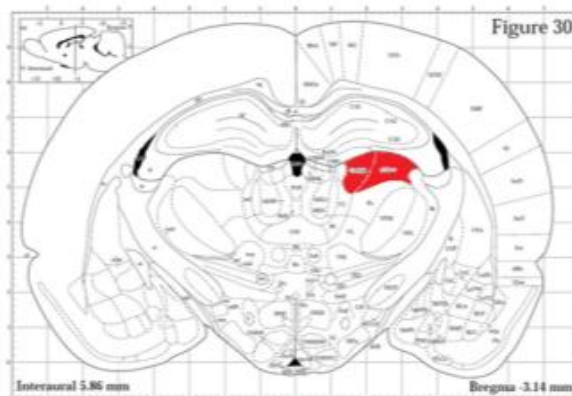


Рис. 2.1. Відділи мозку, які бралися у дослідження. А – соматосенсорна кора верхньої губи та вібрис (СК), Б – сітчасте ядро

таламуса (СЯ), В – латеродорзальне ядро таламуса (ЛД). Ліва панель з атласу [92]

Усі реактиви, якщо не зазначено інакше, виробництва компанії Sigma-Aldrich (США).

2.2. Молекулярно-біологічні методи дослідження

2.2.1. Полімеразна ланцюгова реакція поодиноких клітин (методика "single-cell RT-PCR")

Для аналізу експресії генів Ca_v3 в поодиноких нейронах таламусу поодинокі клітини засмоктувалися в мікропіпетку, яка містила 2 мкл внутрішньоклітинного розчину (мМ): CsOH – 50 , CsCl – 80, NIPES – 10, EGTA – 10 (рН доводили розчином HCl до 7,3) і переносилися в спеціальний буфер для проведення зворотної транскрипції. Буфер містив у кінцевій концентрації наступні компоненти: 50 ммоль Tris-HCl (рН 8.3), 50 ммоль KCl, 4 ммоль $MgCl_2$, 40 ммоль дітіотреїтолу, 40 одиниць інгібітору РНКаз RiboLock (Fermentas, Литва), 300 мкМ інгібітору протеасоми (цистолактоцистин-бета-лактону), 0.2 мкг олігомерного $(dT)_{18}$ праймера, 1 ммоль суміші чотирьох нуклеотидтрифосфатів (Fermentas, Литва). До початку реакції зворотної транскрипції проби зберігались при 4°C. Потім до всіх зразків додавали 40 одиниць зворотної транскриптази M-MuLV (Fermentas, Литва), та інкубували проби протягом 2 годин при 42°C. Отриману таким чином одноланцюгову кДНК з поодиноких клітин гіпокампу використовували для проведення двох раундів ПЛР із застосуванням відповідних праймерів. Ампліфікаційна суміш для мультиплексної ПЛР містила 5 мкл 5-кратного PCR-буферу із сульфатом амонію, 2.5 мМ сульфату магнію, 200 мкМ суміші чотирьох

нуклеотидтрифосфатів, по 5 пМ кожного з праймерів та 0.5 одиниць рекомбінантної Taq-ДНК-полімерази (Fermentas, Литва). Об'єм зразків доводили до 25 мкл деіонізованою водою. Програма першого раунду ампліфікації складалася з 25 циклів: денатурація – 94°C, 1 хв, приєднання праймерів – 64°C, 1 хв і елонгація – 74°C, 1 хв (GeneAmp PCR System 2700, Applied Biosystems, США). При проведенні другого раунду ПЛР в окремі пробірки додавали по 5 мкл продукту першого раунду мультиплексної ПЛР для ампліфікації специфічних фрагментів генів і використовували ті ж самі компоненти суміші, проте збільшували концентрацію праймерів до 30 пМ. Другий раунд ампліфікації складався з 45-48 циклів.

Амплікони розділяли в 1.5% агарозному гелі, що містив бромістий етидій. Візуалізація та оцінка яскравості ампліфікатів після горизонтального електрофорезу (170 В протягом 30 хв.) проводилися за допомогою трансільюмінатора та програмного забезпечення ViTran (Біоком, Росія).

2.2.2. Виділення РНК з тканин мозку

Із вирізаних ділянок та культури клітин проводилося виділення тотальної РНК із застосуванням набору Trizol RNA-prep. kit ("Isogene", Росія). Метод заснований на фенол-хлороформній екстракції РНК з цілісної тканини. Послідовність дій була такою:

1. Одразу ж після виділення тканини мозку поміщали у 300 мкл Trizol-реагенту. Перемішували та поміщали на +4°C на 5 хвилин.

2. Додавали 150 мкл суміші хлороформ:ізоаміловий спирт (49:1), перемішували та центрифугували з максимальним прискоренням ($16\ 000 \times g$) 20 хвилин при +4°C.

3. Верхню, водну фазу відбирали, до неї додавали рівний об'єм холодного (+4°C) ізопропанолу. Залишали на -20°C на ніч.

4. Цетрифугували з прискоренням 16000×g при температурі +4°C протягом 20 хвилин.

5. Надосадову рідину зливали, до осаду додавали 500 мкл 75% етанолу, перемішували.

6. Центрифугували 5 хв з прискоренням 16000×g при +4°C. Надосадову рідину зливали.

7. Висушували преципітат і розчиняли його у 30 мкл деоїнізованої води, чистої від нуклеаз.

8. Визначали концентрацію та чистоту за допомогою спектрофотометра NanoDrop ND1000. У досліди брали лише проби зі співвідношенням поглинання на довжинах хвиль $A_{260}/A_{280} > 1,6$ (щоб запобігти білковому забрудненню та потраплянню геномної ДНК, яка є зв'язаною з ядерними білками).

При роботі із РНК усі робочі поверхні та рукавички оброблялися сумішшю блокаторів рибонуклеаз "RNA zap" ("Ambion", США).

2.2.3. Зворотна транскрипція

Для проведення реакції використовувався RevertAid™ H Minus First Strand cDNA Synthesis Kit ("Fermentas", Литва). Реакцію проводили у два етапи. Спочатку готували суміш із оліго-дТ₁₈ (50 пікомоль на реакцію) та випадкового гексамерного праймерів (50 пікомоль на реакцію), сумарної РНК (0,3-3 мкл, що відповідало 0,3-

0,5 мкг), та води із загальним об'ємом 11.5 мкл суміші. Проводили нагрівання суміші до 70 °С протягом 5 хвилин для досягнення розгортання молекул РНК шляхом денатурації їх вторинних структур. Далі суміш охолоджували до 0°С для досягнення ефекту гасіння та для недопущення відновлення спарених ділянок. На другому етапі готували суміш із спеціального буферного розчину для ревертази, суміші дезоксирибонуклеотидтрифосфатів (дНТФ) (1 мкл 10 мМ), інгібітора рибонуклеаз RiboLock (20 одиниць) та РНК-залежної ДНК-полімерази «M-MuLV Reverse Transcriptase» (200 одиниць) загальним об'ємом 7 мкл. Цю суміш додавали до першої і проводили ревертазну реакцію за програмою: 25°С 10 хв., 42°С 60 хв., 70°С 10 хв. В результаті отримували кДНК.

Для зворотної транскрипції мікроРНК та контрольної U6 РНК застосовували набір «TaqMan® MicroRNA Reverse Transcription Kit» («Applied Biosystems», USA). Процедура була така: готували суміш із 0,15 мкл 100 мМ дНТФ, 1 мкл РНК-залежної ДНК-полімерази «MultiScribe™ Reverse Transcriptase» (50 одиниць/ мкл), 1,5 мкл 10-кратного буферу для зворотної транскрипції, 0,19 мкл інгібітору РНКаз (20 одиниць/мкл), 4,16 мкл деіонізованої води, 5 мкл РНК (1-10 нг), 3 мкл специфічних 5-кратних праймерів. Далі інкубували в ампліфікаторі 30 хв 16 °С, 30 хв 42 °С, 5 хв 85 °С, ∞ 4°С. Зворотню транскрипцію коротких РНК проводили завдяки петлевим праймерам, що частково комплементарні до послідовності малої РНК, а частково – до власної послідовності [93], [94].

2.2.4. Полімеразна ланцюгова реакція

Для проведення реакції використовувалася Taq –ДНК-полімераза (“Fermentas”, Литва). Реакційна суміш складала 25 мкл і містила:

- 1x буфер для Taq-полімерази з сульфатом амонію
- 2 мМ MgCl₂
- 0.2 мМ дНТФ (кожного з дНТФ),
- 2,5 одиниці Taq-полімерази
- 3 мкл кДНК,
- прямі та зворотні праймери по 30 пмоль кожного на реакцію

Реакцію проводили за такою програмою: 94°C 30 с, 55-63 °С (в залежності від послідовності праймерів) 50 с, 72°C 50 с, повтор 2 та 3 етапу n-разів, 72°C 5 хв. Температура гібридизації та кількість циклів варіювали в залежності від праймерів та матриці. Первинну температуру гібридизації визначали за формулою:

$$T_{\text{гібридизації}} = 2 \times (A+T) + 4 \times (G+C),$$

де А – кількість залишків аденозину, Т – тимідину, Г – гуанозину, Ц – цитидину в послідовності праймера.

Послідовності праймерів для ПЛР та ПЛР для однієї клітини вказані в таблиці 2.1. Послідовності праймерів для ізоформ кальцієвих каналів Т-типу, Ca_v2.3 та гену "домашнього господарства" β-актина взяті з опублікованої роботи американських дослідників[95] . Послідовності праймерів генів-маркерів секреції ГАМК і глутамінової кислоти взяті з опублікованої праці японських молекулярних фізіологів[96].

Таблиця 2.1

Ген	Праймери	Т°С гібридиз ації	Розмір амплікон у
<i>Casna1g</i> (Cav3.1)	прямий – 5`-agccccggtggtttcttcta-3` зворотний – 5`-tgagcggtcgcagcacac-3`	59°С	398 п.о.
<i>Casna1i</i> (Cav3.3)	прямий – 5`-gctgcggcgcctggaaga-3` зворотний – 5`-gccccatgcacggacagcagcacaat-3`	62°С	322 п.о.
<i>Casna1h</i> (Cav3.2)	прямий – 5`-aggaggctcggcgccgg-3` зворотний – 5`-ggataggaggacgatggccaa-3`	59°С	355 п.о.
<i>Actb</i> (β-актин)	прямий – 5`-tcatactatcggaatgagc-3` зворотний – 5`-ggccaggatagagccacca-3`	60°С	300 п.о.
<i>Gad1</i> (GAD65)	прямий – 5`-tcttttctctggtggtgcc-3` зворотний – 5`-ccccaaagcagcatccacat-3`	58°С	391 п.о.
<i>GAT1</i>	прямий – 5`-acatggaaggacgcttcgactt-3` зворотний – 5`-tcagccagaaggacagcacagct-3`	56°С	274 п.о.

<i>VGluT1</i>	прямий – 5`-accatcggaggccagatcg- 3` зворотний – 5`- gccactcctcccgcgtcttgtgc-3`	58°C	341 п.о.
---------------	---	------	----------

2.2.5. Полімеразна ланцюгова реакція в реальному часі

Отриману кДНК (розділ 2.2.3) використовували для проведення кількісної полімеразної ланцюгової реакції «в реальному часі». В цьому методі окрім прямого та зворотного праймеру, які обмежують розмір продукту ПЛР, використовується додатковий третій праймер, так званий "зонд", до двох нуклеотидів якого ковалентно приєднані дві молекули: власне флуоресцентний зонд та молекула-гасник, що поглинає випромінювання барвника, поки знаходиться на невеликій відстані від нього в складі праймера. ДНК-полімераза, що використовується в реакції, має додаткову 5'-екзонуклеазну активність. Під час стадії елонгації ПЛР ДНК-полімераза рухається по комплементарному ланцюгу, синтезуючи послідовність ДНК у напрямку від 5' до 3', і зустрічає на своєму шляху 5'-кінець праймера-«зонда». Тут вона починає відщеплювати від нього по одному нуклеотиду, вивільнюючи їх у розчин. Нуклеотид з флуоресцентним барвником від'єднується від праймера, таким чином віддаляючись від гасника і отримуючи можливість вільно випромінювати енергію.

Прилад для кількісної ПЛР складається з термоциклера, який задає температуру в реакційній суміші, та спектрофлуориметра, який вимірює випромінювання вільного флуоресцентного барвника.

Окрім флуоресцентної молекули, якою помічений зонд, у реакційному середовищі знаходиться ще один флуоресцентний барвник, який використовується приладом як внутрішній контроль. Спектрофлуориметр дозволяє зчитувати рівень флуоресценції, який приблизно свідчить про кількість молекул продуктів ПЛР, що утворилися після кожного циклу реакції. Кількість продуктів реакції збільшується за експоненціальним законом, а потім виходить на плато (через вичерпання елементів для побудови нових молекул ДНК, термічну інактивацію ДНК-полімерази, інгібування реакції ДНК-матрицею). Приблизно так само змінюється і флуоресценція барвника, тільки до певного рівня чутливість спектрофлуориметру не дозволяє виміряти значення, тому виділяють також першу стадію ініціації, коли ампліфікація вже йде, але флуоресцентний сигнал дуже малий. Визначаючи певне значення флуоресценції на ділянці експоненційного росту графіку для різних реакцій, можна встановити «пороговий цикл», тобто тривалість реакції до досягнення цього рівня флуоресценції. Чим більше ДНК було на початку реакції, тим менше значення «порогового циклу». Оскільки за кожний цикл реакції кількість ДНК приблизно подвоюється, то кількість продуктів ПЛР N після кожного циклу дорівнює

$$N = k \times 2^n,$$

де n – кількість циклів реакції, $k < 1$ – коефіцієнт ефективності ПЛР (залежить від умов реакції, послідовностей праймерів, тощо).

Кількість кДНК вимірювали відносно транскрипту гену «домашнього господарства» гліцеральдегід-3-фосфат дегідрогенази (GAPDH). Для обчислення відносної кількості використовували формулу:

$$R = 2^{\Delta C T_{ref} - \Delta C(T)} = 2^{-\Delta \Delta C(T)},$$

де R – відносна кількість (умовні одиниці), $C(T)$ – пороговий цикл, $C(T)_{ref}$ – пороговий цикл внутрішнього контролю. Для зручності представлення графічних даних R множили на 100.

Реакційна суміш складалася із 10 мкл ПЛР-суміші FastTaqMan PCR MasterMix (“Applied Biosystems”, США), 0,5 мкл суміші праймерів та зонду, 7,5 мкл води та 2 мкл кДНК, з загальним об’ємом суміші 20 мкл. Реакцію проводили у ампліфікаторі 7500 Fast Real-Time PCR System (“Applied Biosystems”, США) за програмою 94°C 5 с, 60°C 30 с протягом 45-50 циклів при аналізі експресії *Casna1g*, *Casna1h* та *Casna1i*. Програму 95°C 20 с, 95°C 3 с, 61°C 30 с із повторенням 2 і 3 етапу протягом 50-60 циклів для аналізу експресії gno-miR-1. Зчитування флуоресценції проводили в кінці кожного циклу реакції. Кожна проба при проведенні реакції дублювалася. У реакції використовувалися такі праймери: *Casna1g* – набір Rn01460253_m1, *Casna1h* – набір Rn01460339_gH, *Casna1i* (прямий праймер – 5'-GCTCGTGGTGCTCATGAAGA-3', зворотний праймер – 5'-ATGAAGATGAACAGCATGAGTAGCA-3', зонд – ACGTGGCCACCTTCT, барвник FAM). Як позитивний внутрішній контроль використовували транскрипт гену «домашнього господарства» гліцеральдегід-3-фосфат дегідрогенази (GAPDH). Для перевірки його кількості використовували набір «TaqMan Rodent GAPDH Control Reagents (VICTM Probe)» (“Applied biosystems”, США).

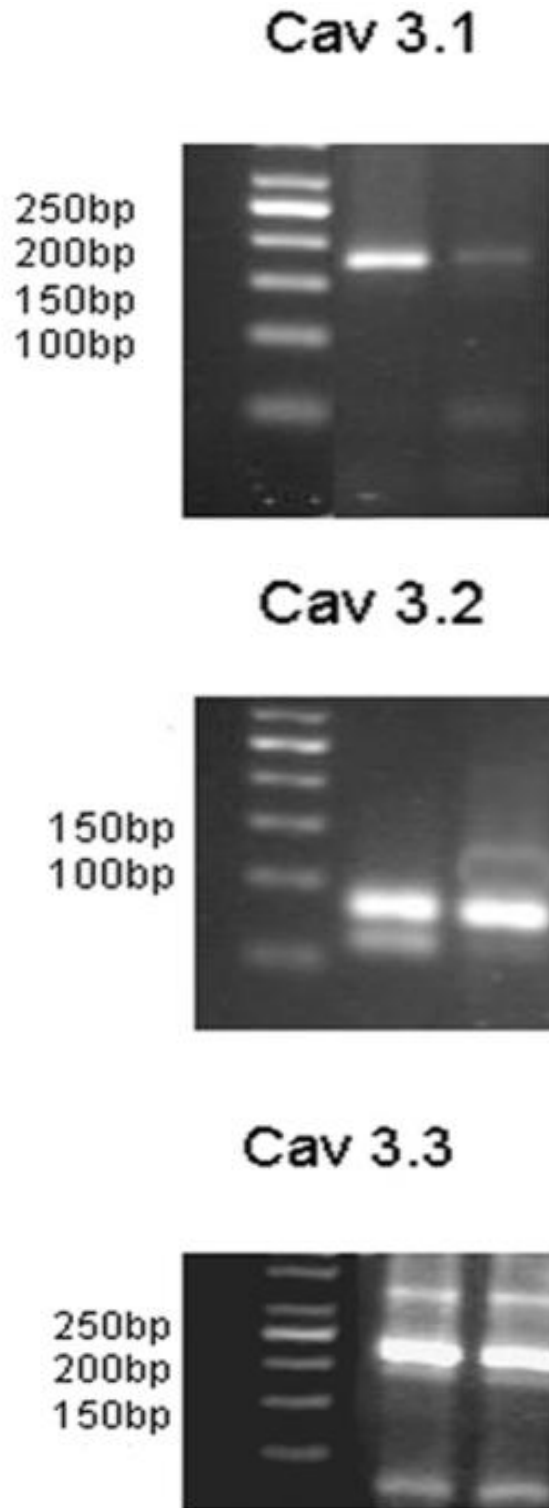


Рис. 2.2. Амплікони кДНК 3 ізоформ Т-каналів після кількісної ПЛР, розділені в агарозному гелі.

Для виміру експресії gno-miR-1 використовувався набір 002064 (“Applied Biosystems”, США), а для гена «домашнього

господарства» У6 – набір 001973 (“Applied Biosystems”, США). Кількісну оцінку експресії та обробку даних проводили з використанням програмного забезпечення 7500 Fast System SDS Software 1.3.1 (“Applied Biosystems”, США).

2.2.6. "Вестерн-блот"

Для виявлення білку Ca_v3.1 у тканині соматосенсорної кори використовували імунохімічний метод «вестерн-блот» [97]. Суть його полягає в екстракції тотального білка з тканини, електрофоретичної розгонки білків у денатуруючому гелі за їхньою молекулярною масою, переносі їх на мембрану, де вони зв’язуються із специфічними первинними і вторинними антитілами. Вторинні антитіла, кон’юговані із ферментом системи детекції, яка дозволяє фотографічним способом зафіксувати люмінесценцію субстрату і таким чином визначити кількість зв’язаних із цільовим білком антитіл.

Тканину вміщували у буферний розчин (10 мМ TRIS-HCl, рН=7,4, 50 мМ NaCl, 5 мМ ЕДТА, 1% Triton X-100, 0,05% додецилсульфату натрія, 200 мкг/мл суміші інгібіторів протеаз, 100 мкг/мл феніл-метіл-сульфоніл фториду), де гомогенізували за допомогою гомогенізатора Поттера. Далі екстракт кип’ятили 15 хвилин з 0,1 мМ дитіотриетолом, 10% додецилсульфату натрія і барвником Coomassie G з метою денатурації білків та розривання дисульфідних зв’язків між окремими мономерними поліпептидами. Суміш білків наносили у лунки 5% поліакриламідного гелю та розділяли протягом 2 годин при 120 В у трис-гліциновому буферному розчині (25 мМ TRIS-основи, 250 мМ гліцину, 0,1% додецилсульфату натрія; рН=8,3). Якість електрофорезу оцінювали

зафарбовуванням 10% розчином барвника Coomassie R. Після електрофорезу гель вміщували у електроблотер та проводили перенос на нітроцелюлозну мембрану за дією електричного струму протягом 1 години. Мембрану залишали у 5% розчині знежиреного сухого молока із фосфатним буферним розчином (1,7 мМ KH_2PO_4 , 5,2 мМ Na_2HPO_4 , 150 мМ NaCl ; рН=7,4) та детергентом Tween-20 (PBS-Tween) на ніч на ротаторі для забивки вільних сайтів. На наступний день мембрану відмивали у PBS-Tween 3 рази, після чого інкубували із первинними антитілами до $\text{Ca}_v3.1$ (поліклональні антитіла кроля, дарунок проф. Т. Снатча, рис. 2.3.) та до актину (моноклональні антитіла миші, Abscam) протягом 2 годин. Знову відмивали у PBS-Tween 3 рази та інкубували 40 хвилин із вторинними анти-кролячими та анти-мишачими анти-IgG антитілами, кон'югованими із пероксидазою хрину. Знову відмивали у PBS-Tween 3 рази. Після цього додавали 2,5 мМ водного розчину люмінолу, 0,5 мМ розчину кумарової кислоти в диметилсульфоксиді та 6 мкл 30%-го розчину перекису водню для отримання люмінесценції. Сигнал детектували за допомогою рентгенівської фотоплівки у темній кімнаті. Розмір детектованої білкової смужки порівнювали з маркером молекулярної маси PageRuler™ Plus Prestained Protein Ladder, 10 to 250 kDa ("ThermoFisher Scientific", США).

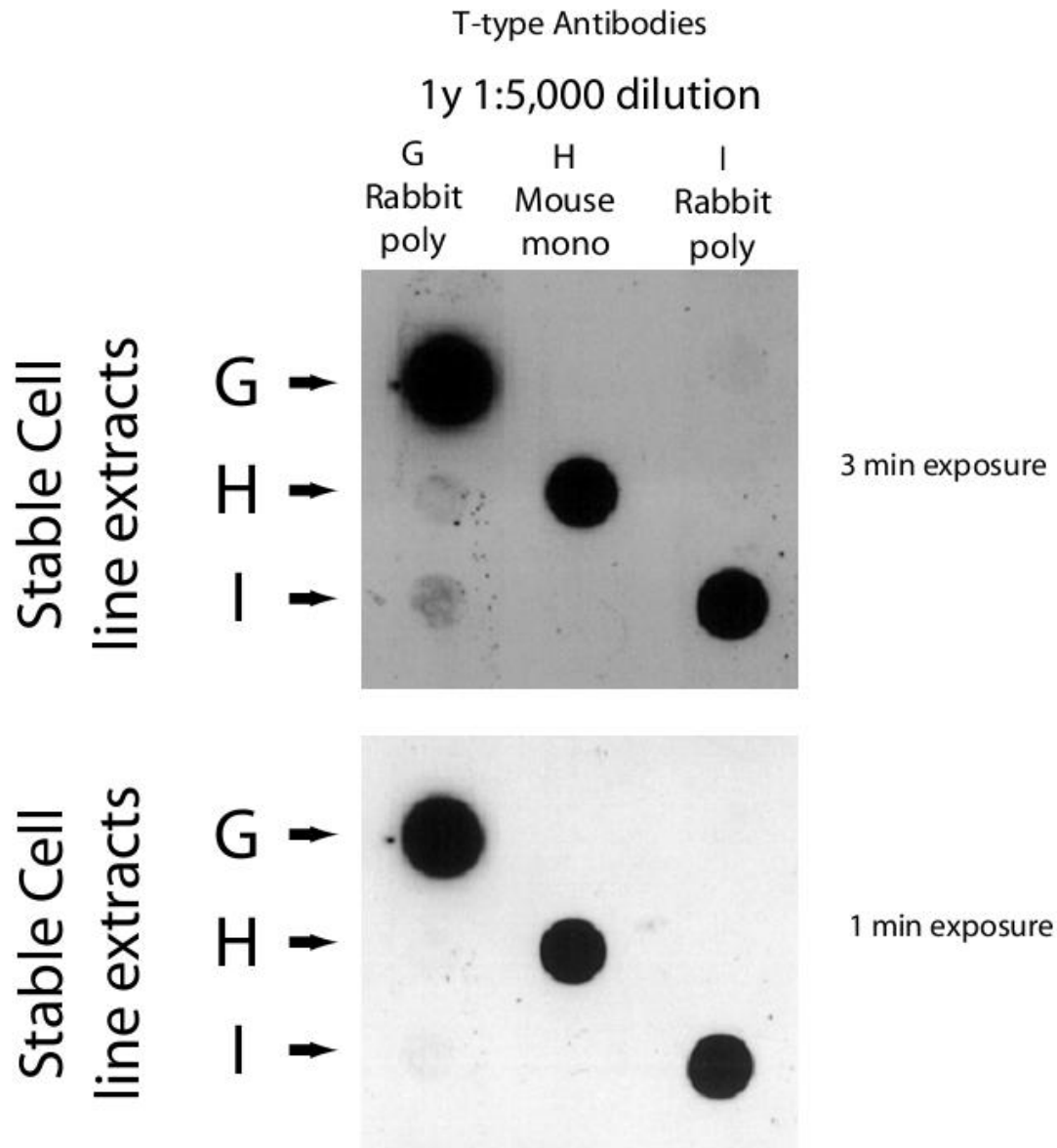


Рис. 2.3. Дот-блот аналіз зв'язування антитіл до ізоформ α_1 -субодиниць НПКК з сумарним білком клітинних ліній НЕК293, кожна з яких стабільно експерсує одну з ізоформ. G – $Ca_v3.1$, H – $Ca_v3.2$, I – $Ca_v3.3$. (надано професором Т. Снатчем, Канада)

2.3. Електрофізіологічний експеримент

В наших експериментах чашку Петрі з клітинами встановлювали в кріплення, розташоване на предметному столику

інвертованого інвертованого фазово-контрастного мікроскопа IX 71 (“Olympus”, Японія). Клітини для реєстрації вибиралися при збільшенні 1:320 – 1:640

Скляні мікроелектроди виготовлювалися з боросилікатного скла із зовнішнім діаметром 1,5 мм (“World Precision Instruments”) за допомогою автоматичної мікрокузні-пулера моделі P-97 (“Sutter Instrument”, США). Після виготовлення мікроелектроди оплавливали за допомогою розжареного вольфрамового дрота під мікроскопічним контролем. Мікроелектроди мали діаметр кінчика 1-2 мкм та опір 3-5 МОм при заповненні стандартним внутрішньоклітинним розчином. Мікроелектрод закріплювали у полікарбонатному тримачі, прикріпленому до передпосилювача “Dagan PC-one”, (“Dagan Corp.”, США), за допомогою пластикового фіксатора. Підхід мікроелектрода до клітини здійснювався з застосуванням п’єзоелектричного мікроманіпулятора моделі MP-225 (“Sutter Instrument”, США). В експерименті використовувався підсилювач Cornestone PC-ONE.

Заповнений розчином мікроелектрод занурювали до позаклітинного розчину і компенсували потенціал кінчика, який в середньому складає 4-5 мВ. Гігаомні контакти між клітинною мембраною і електродом утворювали, притискаючи піпетку з прикладеним до неї невеликим позитивним тиском до поверхні клітини та потім скидаючи цей тиск до атмосферного. Утворення гігаомного контакту контролювали в режимі фіксації потенціалу, подаючи на мембрану прямокутні гіперполяризуючі імпульси амплітудою -10 мВ. Після утворення щільного контакту піпетки з поверхнею мембрани проводилась компенсація ємності піпетки відносно зовнішнього розчину. Конфігурацію «ціла клітина»

отримували при прориві мембрани під піпеткою імпульсами від'ємного тиску, після чого записували ємнісний струм у відповідь на гіперполяризаційний імпульс амплітудою в 10 мВ.

Вихідний сигнал посилювача фільтрували при частоті зрізу 10 кГц за допомогою 3-х полюсного фільтру Бесселя і 2-5 кГц цифровим фільтром. Комп'ютерна система і програмне забезпечення "Clampex 8.0" ("Axon Instruments", США) забезпечували генерацію командних імпульсів.

Позаклітинний базовий розчин для дослідження мембранних струмів в ізольованих нейронах містив (в мМ): NaCl_2 – 150, NaOH – 10, KCl – 3 CaCl_2 – 5, MgCl_2 – 1, HEPES – 10, глюкози – 10, рН доводили розчином HCl до 7,4. Щоб виключити натрієву и калієву провідності, кальцієві струми вимірювались у позаклітинному розчині такого складу (ммоль/л): TEACl – 150, MgCl_2 –1, CaCl_2 – 2,5, HEPES – 10 (рН доводили розчином TEAOH до 7,3) Реєструючи піпетку заповнювали внутрішньоклітинним розчином такого складу (ммоль/л): CsOH – 50 , CsCl – 80, HEPES – 10, EGTA – 10 (рН доводили розчином HCl до 7,3). Заміни зовнішніх розчинів проводили за допомогою багатоствольної мікропіпетки зі спільним витоком, який розташовувався біля досліджуваної клітини.

Низькопороговий кальєвий струм відокремлювали за порогом активації та шляхом зменшення високопорогового кальцієвого струму завдяки відсутності АТФ у внутрішньоклітинному розчині. Для оцінки кількості каналів Т-типу у клітинах різного розміру визначали густину Т-струму (відношення максимальної амплітуди струму до ємності мембрани клітини), оскільки амплітуда струму в різних нейронах може сильно варіювати залежно від площі

мембрани. Ємність мембрани розраховувалась на основі записів, отриманих із застосуванням протоколу типу «синусоїд». В даному протоколі командний потенціал градуально змінювався від -50 до -70 мВ, а потім в зворотньому напрямку. Це дозволяло, не активуючи потенціалкерван іонні канали, виміряти заряд, необхідний для розрядження мембрани. Для вимірювання амплітуди кальцієвого Т-струму використовувався протокол типу «сходінка», в якому командний потенціал при кожному повторі протоколу підвищувався на 10 мВ, проходячи значення від -90 до +50 мВ. Перед командним потенціалом для виведення Т-каналів зі стану інактивації тривала подача гіперполяризаційного потенціалу -100 мВ протягом 540 мс.

2.4. Математичні методи аналізу даних і програмне забезпечення

Статистичну обробку результатів проводили за допомогою програмного пакету “Origin 7.0”. Для порівняння двох груп даних з нечисленними вибірками використовували критерій Манна-Уїтні. Для порівняння трьох і більше груп використовували аналіз ANOVA. Статистично значимими вважали відмінності, які мали ймовірність помилки $p < 0,05$.

Для аналізу записів електрофізіологічних експериментів використовували програмне забезпечення “Clampfit” (“Axon Instruments”, США).

Аналіз праймерів для ПЛР на ефективність здійснювали за допомогою програмного забезпечення BLAST та FastPCR. Для роботи обирали лише такі праймери, передбачувана ефективність ПЛР яких була вище за 80 балів (FastPCR), вміст Г-Ц пар був у діапазоні 40-60%, не більше 3 Г- або Ц- нуклеотидів на 3'-кінці праймера.

Для біоінформаційного пошуку потенційної взаємодії мікроРНК з 3'-нетрансльованою ділянкою матричної РНК використовували он-лайн програмний пакет TargetScan (<http://www.targetscan.org/>). Додаткову перевірку сайтів взаємодії здійснювали за допомогою програмного забезпечення RNAhybrid (<http://bibiserv.techfak.uni-bielefeld.de/rnahybrid/>).

РОЗДІЛ 3 Результати власних досліджень

3.1 Розробка модифікації методу полімеразної ланцюгової реакції для оцінки експресії генів у окремих нейронах

Основним методом, який дозволяє оцінити експресію гена є полімеразна ланцюгова реакція із зворотною транскрипцією. Високоспецифічні праймери дозволяють вивчати мРНК конкретного гену, а модифікація методу із застосуванням флуоресцентних барвників (кількісна ПЛР, «ПЛР у реальному часі») дає можливість визначити кількість цієї РНК. Проте для виявлення експресії генів у тканині, що складена клітинами, які відрізняються між собою, потрібен ще більш тонкий метод, який би дозволяв працювати із невеликою кількістю мРНК, яка міститься у одній клітині. Саме це задача для іншої модифікації ПЛР – ПЛР для одної клітини. Коли є необхідність у такому підході? Припустимо, в нас є тканина або клітинна популяція, яка містить клітини, що функціонально відрізняються між собою. Наприклад, це можуть бути епітеліальні клітини, частина з яких знаходиться у інтерфазі, інші мітотично діляться, а деякі гинуть апоптозом, автофагією чи некрозом. Звичайно, всі ці клітини одного типу будуть мати різні профілі експресії генів. Інша необхідність застосувати ПЛР для одної клітини з'являється тоді, коли у тканині містяться клітини різних типів, які не можна розділити при виділенні РНК. Такими є дрібні м'язеві структури на кшталт кровоносних судин або протоків секреторних органів, наприклад сечоводів та сім'япроводів. Дійсно, хоча при виділенні тканини сім'япроводів вдається розділити шар слизового епітелію та м'язи, все одно м'язовий шар містить залишки як епітелію, так і нервових закінчень, тому не можна виключати змішування мРНК із різних джерел. Тут знову-таки потрібна ПЛР

для одної клітини. Апогеєм складності, звичайно, є нервова тканина, де навіть дві сусідні клітини можуть відрізнитися між собою за функцією, активністю, напрямком передачі інформації. Тому для нейрофізіології та нейрогенетики ПЛР для однієї клітини є потужним інструментом, що дозволяє «паспортизувати» конкретні нейрони та класифікувати їх за різними критеріями, як-то секреція медіаторів, наявність іонних каналів та рецепторів, участь у нервових процесах тощо.

Не дивно, що саме нейрофізіологи розробили і вперше застосували цей метод невдовзі після відкриття самого принципу ПЛР [98]. Теоретична роздільна здатність ПЛР становить 1 молекулу ДНК, тому принципівих заперечень для ампліфікації кДНК, отриманої з мРНК однієї клітини (від десятків до тисяч молекул одного типу) не існує. Головною методичною складністю є відбір та збереження РНК та кДНК до початку ПЛР. Для роботи із гостро ізольованими нейронами ми модифікували варіант методу, що застосовувався [96]. Спочатку клітину після вимірювання струмів засмоктували у додаткову скляну мікропіпетку діаметром 8-16 мкм, що містила дистильовану воду із інгібітором РНКаз. Вміст мікропіпетки об'ємом 1-5 мкл додавали до заздалегідь приготованої суміші, що містила буферний розчин для зворотної транскрипції, дНТФ, оліго-дТ та випадковий гексамерний праймери. Реакція зворотної транскрипції ставилася негайно після додавання ревертази, без стадії виділення РНК. Після неї ставили першу ПЛР із сумішшю праймерів до досліджуваних кДНК, а далі другу вже для кожної пари праймерів окремо. Проте об'єм реакції було дуже складно контролювати, а від'єднання вимірювального електроду та додатковий час для засмоктання більшою мікропіпеткою могло

призводити до втрати частини мРНК та до забруднення проби зовнішньою РНК. Для подолання цієї проблеми було порівняно клітини, взяті у дистильованій воді та у внутрішньоелектроному розчині, що містив 125 мМ іонів цезію та 10 мМ іонів тетраетиламонію. Таке порівняння виявило не виявило різниці у експресії бета-актину у обох варіантах процедури відбору. Таким чином, подальші забори клітин здійснювали прямо у вимірювальний скляний мікроелектрод.

З метою запобігти ампліфікації геномної ДНК нами було підбрано та використано праймери, що гібридизуються із матрицею на стику екзонів кДНК. Такі праймери добре паруються із кДНК, яка отримана шляхом зворотної транскрипції зрілої процесованої мРНК. При цьому вони мають некомплементарну ділянку на 3'-кінці відповідної геномної ДНК, яка містить послідовності інтронів, тому приєднання ДНК-полімерази та подальша ампліфікація ДНК, що використовує геномну ДНК як матрицю, стає неможливою (Рис. 3.1). Разом з тим, дослідники, які розробили ПЛР для кДНК з однієї клітини, вважають, що ризику ампліфікації геномної ДНК не існує [99]. Оскільки стадія виділення нуклеїнових кислот відсутня при виконанні цієї методики, ДНК, імовірно, залишається у комплексі з ядерними білками та нездатна брати участь у ПЛР. Праймери для бета-актину були звичайними, екзонними, але знаходилися по різні боки екзон-екзонного стику. Неспецифічну ампліфікацію з геномної ДНК ми могли б відслідковувати за появою великих (більше 1000 п.о.) фрагментів ДНК на електрофорезному гелі. Проте в жодному дослідженні таких фрагментів ми не спостерігали, що свідчить на користь гіпотези французьких дослідників [99].

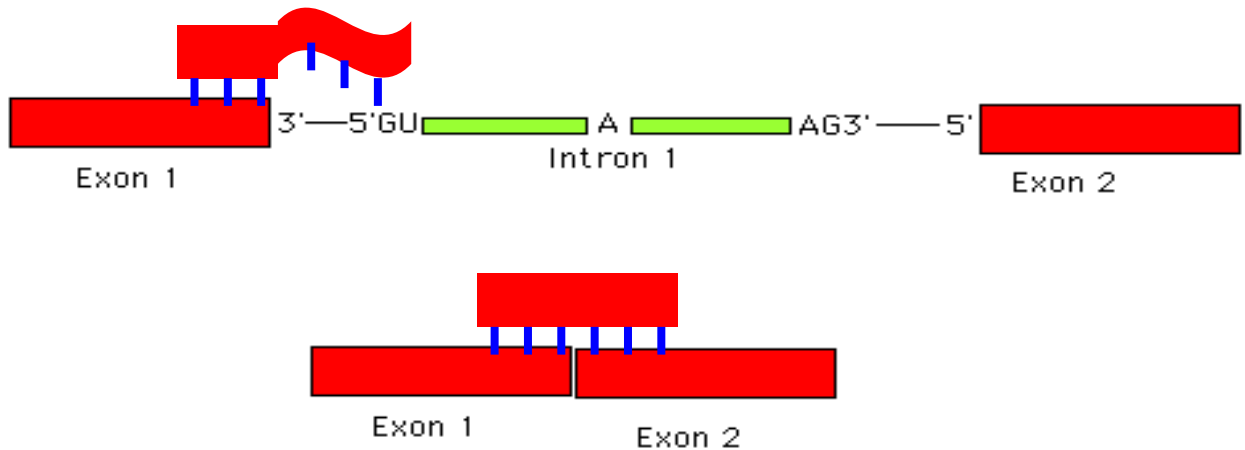


Рис. 3.1. Принцип роботи праймера, що не гібридизується з геномною ДНК, але комплементарний до стику екзонів на кДНК.

Крім інгібітору РНКаз до розчину для збирання клітин додавали інгібітор протеасоми класто-лактоцистин-бета-лактон у концентрації 10 мкМ з огляду на відомості про РНКазну активність протеасоми [100]. Також до суміші було додано додатково 300 мкМ дитіотриетолу, стабілізатору ферментів, що також сприяв успішному проходженню зворотної транскрипції.

Даний метод був також застосований у модифікації кількісної ПЛР. На відміну від звичайної реакції, ПЛР «у реальному часі» проводили в один етап, довжиною у 50-55 циклів.

Для перевірки методу на псевдопозитивні результати було поставлено реакцію з праймерами для β -актину із проведенням негативних контролів (Рис. 3.2). В одну з пробірок не додавали ревертазу для перевірки можливості ампліфікації геномною ДНК. До іншої замість клітини додавали 2 мкл поживного середовища, щоб упевнитися, що в ньому нема достатньої кількості цілісної мРНК для забруднення матеріалу з окремої клітини молекулами з загиблих клітин. Також ставили реакцію, в якій клітину було замінено на 2 мкл деіонізованої води, щоб перевірити можливість контамінації

реагентів. Жоден з негативних контролів не давав характерного амплікону. Такі контролі ставили постійно для кожної нової реакції.

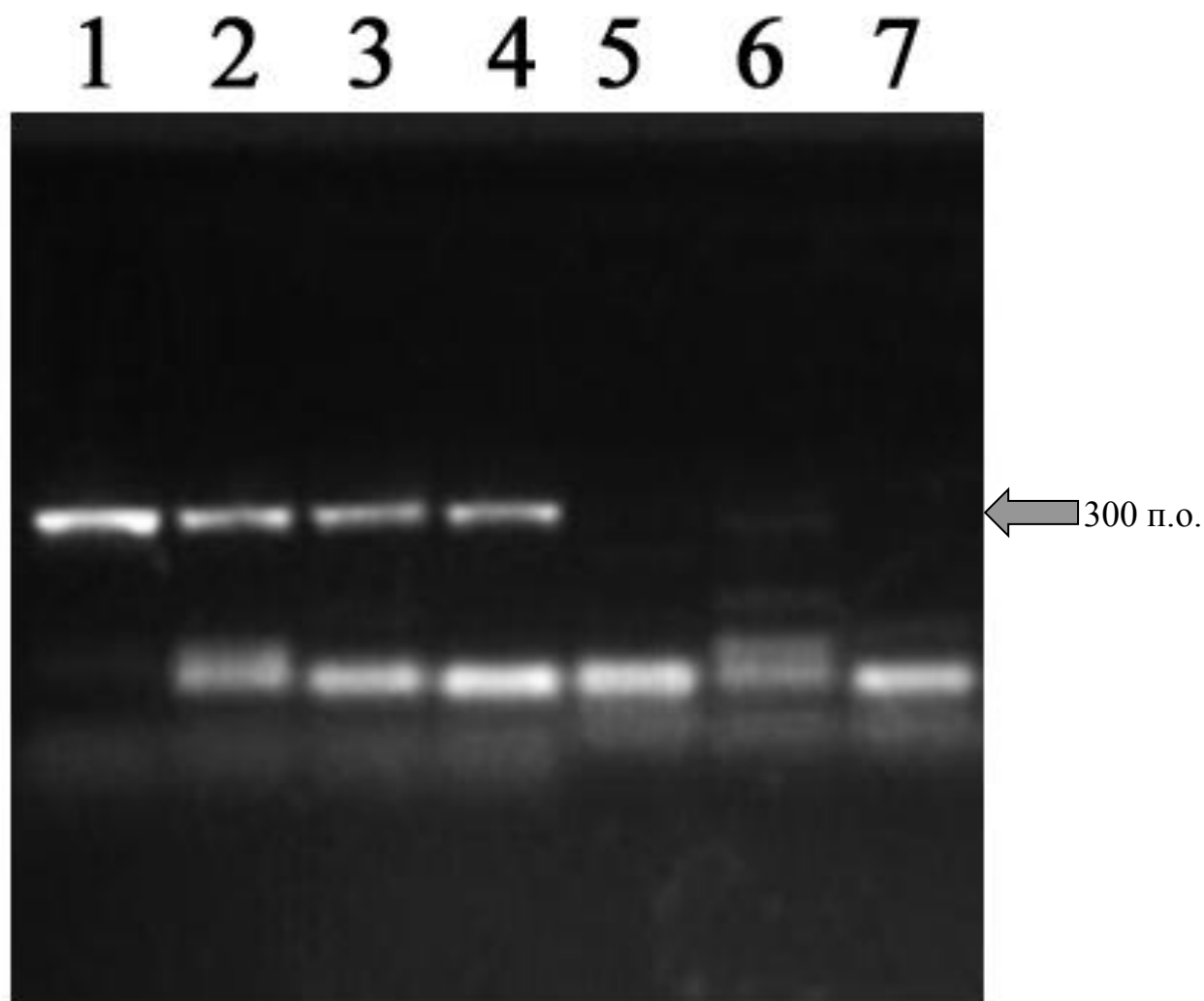


Рис. 3.2. Амплікони β -актину після двох стадій ПЛР для однієї клітини. На доріжки 1-4 нанесено продукт ампліфікації кДНК з однієї клітини. Доріжки 5-7 – негативні контролі: 5 – не проведено зворотну транскрипцію, 6 – не додано клітину, 7 – замість клітини набрано поживне середовище.

Метод було відпрацьовано у двох дослідженнях. У першому було встановлено диференціальну експресію нейрональної форми

синаптичного білка інтерсектина у таламусі мишей. Було проведено ПЛР для однієї клітини на таламічних нейронах мишей та встановлено, що у нейронах (n=5) експресуються сплайс-ізоформи 1 і 2 мРНК інтерсектину, тоді як у гліальній РНК, виділеної з нейрогліоми, присутня лише сплайс-ізоформа 1, що узгоджувалося із нейрональною функцією ізоформи 2. (Рис. 3.3)



Рис. 3.3. Дві сплайс-ізоформи мРНК білка ендоцитозу інтерсектина зустрічаються в нейронах, і лише одна в клітинах гліального походження

А – продукти електрофорезу кДНК інтерсектину в окремих нейронах миші (ліва панель) та клітинній лінії гліобластоми людини (права панель). 1, 2 – окремі нейрони таламусу миші; 5, 6 – клітини гліобластоми (у зразку на доріжці 6 відсутня експресія нейронної сплайс-ізоформи мРНК); 3, 4, 7 – негативні контролю без ДНК; М – маркер молекулярної маси.

Б – схематичне зображення ділянки альтернативного сплайсингу мРНК інтерсектина.

У другому досліді ми виявляли експресію мРНК ванілоїдних рецепторів надродина іонних каналів ТРП. За допомогою кількісної ПЛР було оцінено експресію мРНК TRPV1 та TRPV2 у ГАМК-

ергічних та глутаматергічних нейронах культури гіпокампу щурів. Виявилося, що, хоча обидва канали експресуються в обох типах нейронів, але у ГАМК-ергічних частіше знаходиться мРНК TRPV1 каналу (Рис.3.4).

Таким чином, модифікація методу ЗТ-ПЛР для кДНК з однієї клітини була розроблена і підготовлена для дослідження експресії генів низькопорогових кальцієвих каналів у таламусі щурів.

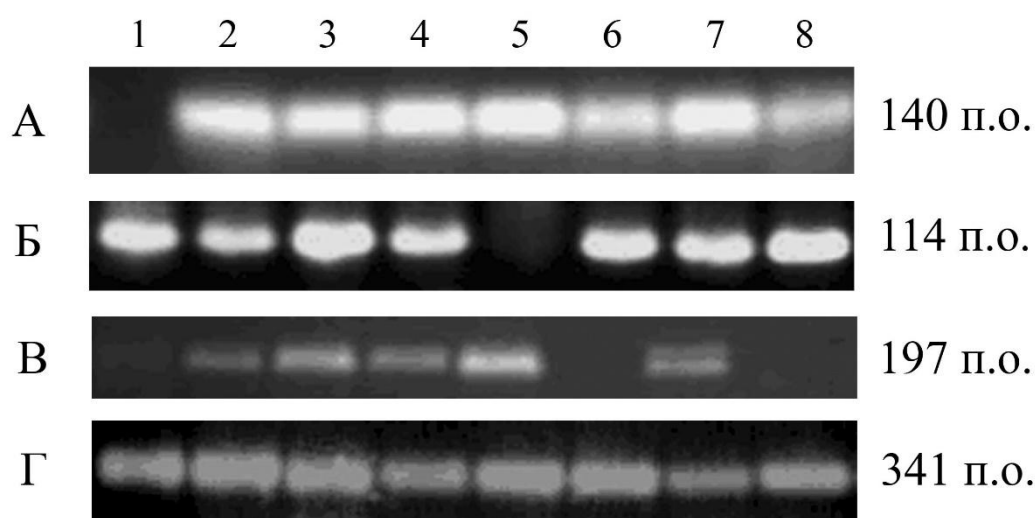


Рис. 3.4. Окремі нейрони гіпокампа в культурі експресують різні комбінації генів TRPV-каналів.

А. TRPV1,

Б. TRPV2,

В. TRPV3

Г. β -актин. 1-8 – окремі нейрони.

3.2 Експресія генів низькопорогових кальцієвих каналів у таламусі щурів

3.2.1 Нейрон-специфічна експресія генів $\alpha 1$ -субодиниць низькопорогових кальцієвих каналів в таламусі

Класичним є уявлення про поділ ядер таламусу на 3 групи: релейні, асоціативні та нейрони сітчастого ядра [101,102]. Якщо релейні ядра виконують функції передачі інформації від периферійних сенсорних систем до кори, то асоціативні здійснюють первинну обробку та консолідацію інформації. Окремо стоїть сітчасте ядро, яке регулює роботу всіх інших ядер шляхом їхнього гальмування. З такої класифікації бере свій початок розділення таламічних нейронів на таламокортикальні, сітчасті та інтернейрони. Звідси ж з'являється схема кортикоталамічної петлі. Суть її в тому, що сигнали від периферійних аферентних центрів досягають таламокортикальних збуджуючих глутамат-ергічних нейронів, які генерують потенціали дії у тонічній модальності. Через синаптичний зв'язок із кортикальними нейронами ці сигнали досягають кори. Кортикальні нейрони в свою чергу посилають відростки назад, до таламусу, збуджуючи всі 3 типи його нервових клітин. Важливим регулятором цієї петлі є гальмівні ГАМК-ергічні сітчасті нейрони, які є переривачами передачі інформації до кори. Більш дрібні ГАМК-ергічні інтернейрони гальмують активність всіх інших нейронів [101].

За морфологією ці нейрони різноманітні навіть у межах одного типу. Більші (20-35 мкм) сітчасті та таламокортикальні є мультиполярними. Серед останніх зустрічаються багатокутні та видовжені клітини із трьома, п'ятьма і більше відростками. Сітчасті

нейрони часто видовжені, звичайно мають менше п'яти відростків. Інтернейроні дрібніші (10-15 мкм), округлі та мультиполярні (більше 10-12 відростків).

Щодо експресії T-каналів у різних типах нейронів таламусу, то інформація в літературі суперечлива. Дані гібридизації *in situ* на зрізах головного мозку [19] демонструють наявність високої експресії $Ca_v3.1$ у релейних ядрах, причому деякі з ядер (бокове колінчасте, медіодорзальне, вентральне та інші) експресують виключно цю ізоформу. В той же час, інші релейні ядра експресують $Ca_v3.1$ разом із $Ca_v3.3$ – до них належать латеродозальне, антеріодорзальне та деякі інші. мРНК $Ca_v3.2$ практично відсутня у релейних ядрах. Сітчасте ядро, що складається майже виключно з сітчастих нейронів, містить найбільшу кількість мРНК $Ca_v3.3$, менше $Ca_v3.2$ та майже позбавлене $Ca_v3.1$. Проте роботи, у яких досліджували наявність білка НПКК у таламусі імуногістохімічними методами, продемонстрували відмінний патерн експресії. Так, ізоформа $Ca_v3.3$ була знайдена на дистальних дендритах нейронів релейних ядер, де ніби-то відсутня відповідна мРНК [32], . Не всі локальні інтернейрони мали на своїй поверхні канали, сформовані субодиницями $Ca_v3.1$ і $Ca_v3.2$ [97]. Електрофізіологічні вимірювання трансмембранних кальцієвих струмів також дають суперечливі результати, оскільки не дають можливості прямо оцінити склад наявних в нейроні ізоформ, адже відсутні селективні блокатори підтипів T-каналів [103]. Тому для пошуку внеску кожної з ізоформ необхідно комбінувати електрофізіологічний експеримент з наступним визначенням типів мРНК, які наявні в конкретній клітині.

Ми виділяли окремі нейрони з таламусу щурів та вимірювали низькопорогові кальцієві струми. Для оцінки властивостей струмів ми використовували імпульсний протокол та вимірювали вольт-амперну характеристику.

Після запису струмів цитоплазма клітини аналізувалась на наявність мРНК субодиниць каналів Т-типу, а також маркерів для визначення типів нейронів. Глутамат-ергічними вважали ті нейрони, в яких було визначено присутність мРНК везикулярного глутаматного транспортеру (VGluT), ГАМК-ергічними ті, які одночасно експресували гени глутамат-декарбоксилази (GAD65) та везикулярного транспортеру ГАМК (GAT1).

Більшість проаналізованих клітин (n=21) демонстрували експресію мРНК двох або трьох субодиниць одночасно, хоча окремі клітини (n=4) містили мРНК лише однієї субодиниці. На рис. 3.5 зображено приклад електрофорезу продуктів ПЛР для однієї клітини. Згідно цим результатам, клітини 1 і 4 експресували обидва маркери ГАМК-ергічних нейронів, тому вважалися нами ГАМК-ергічними. В той же час, клітина 2 експресувала лише ген GAD65, а клітина 3 – ген GAT-1. Такі клітини як 2 і 3 ми не включали в наш аналіз, оскільки не могли бути впевненими щодо їх секретованого медіатору. Таким чином, нейрон 1 ми віднесли до ГАМК-ергічних з наявністю мРНК Ca_v3.2 і Ca_v3.3, нейрон 4 віднесли до ГАМК-ергічних з наявністю мРНК Ca_v3.1 і Ca_v3.2, нейрон 2 – мРНК Ca_v3.1, нейрон 3 – мРНК Ca_v3.3.

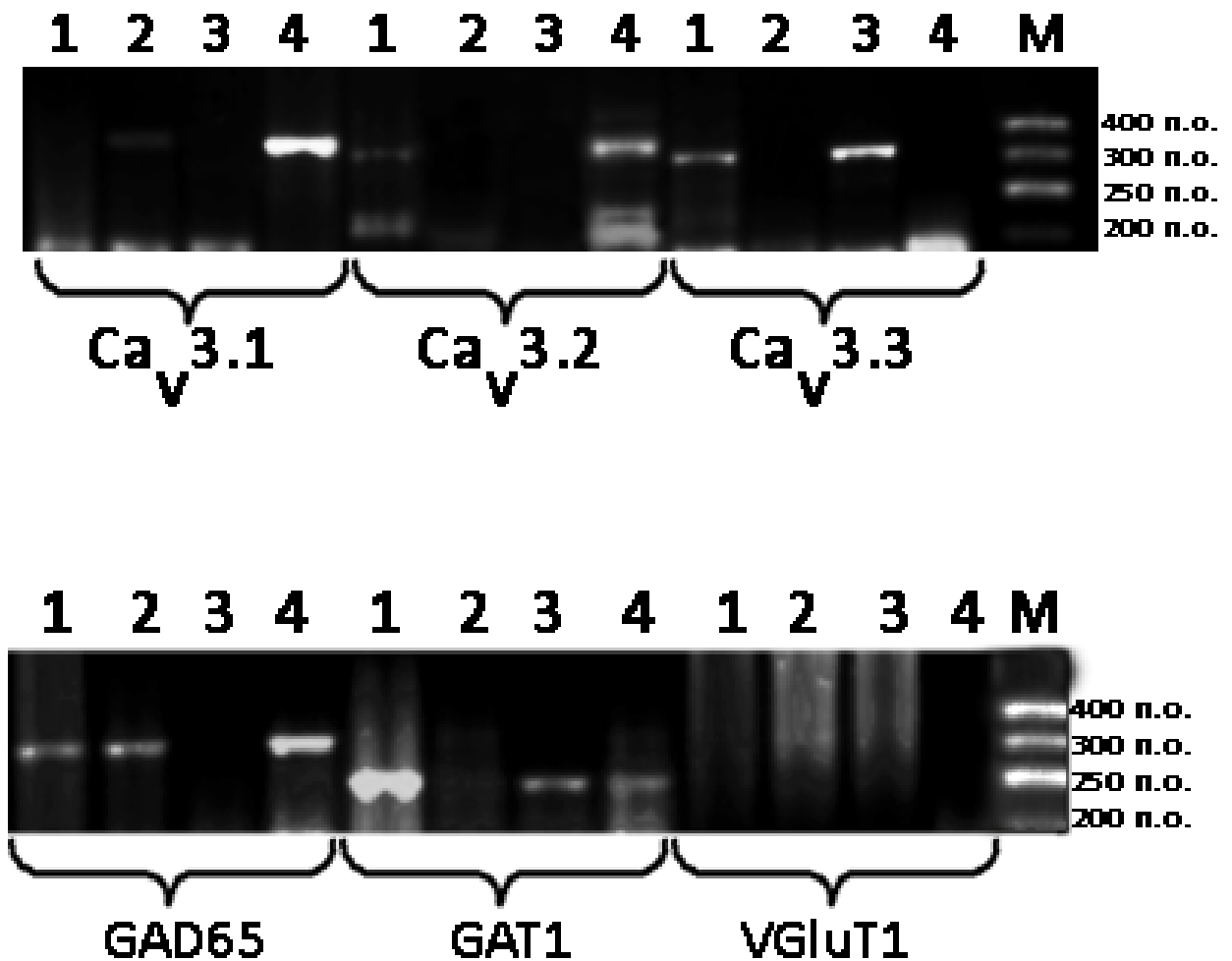


Рис.3.5. Зразок агарозного гелю після електрофорезу результатів ПЛР для однієї клітини. 1-4 окремі клітини. Верхня панель – ізоформи каналів Т-типу; нижня панель – маркери ГАМК-ергічних (GAD65 і GAT1) і глутаматергічних нейронів (VGluT1).

Тим не менш, окремі клітини (n=4) експресували мРНК лише однієї субодиниці: $Ca_V3.1$ або $Ca_V3.3$. Відмінності між струмами у клітинах, що експресували різні субодиниці не спостерігалися ані у вольт-амперній характеристиці, ані в параметрах активації та інактивації. Амплітуди струмів відрізнялися суттєво в бік високого

рівня для $Ca_v3.1$, проте невелика кількість досліджених клітин не дозволяє нам зробити статистично обґрунтовані висновки щодо не випадковості цієї різниці (Рис.3.6).

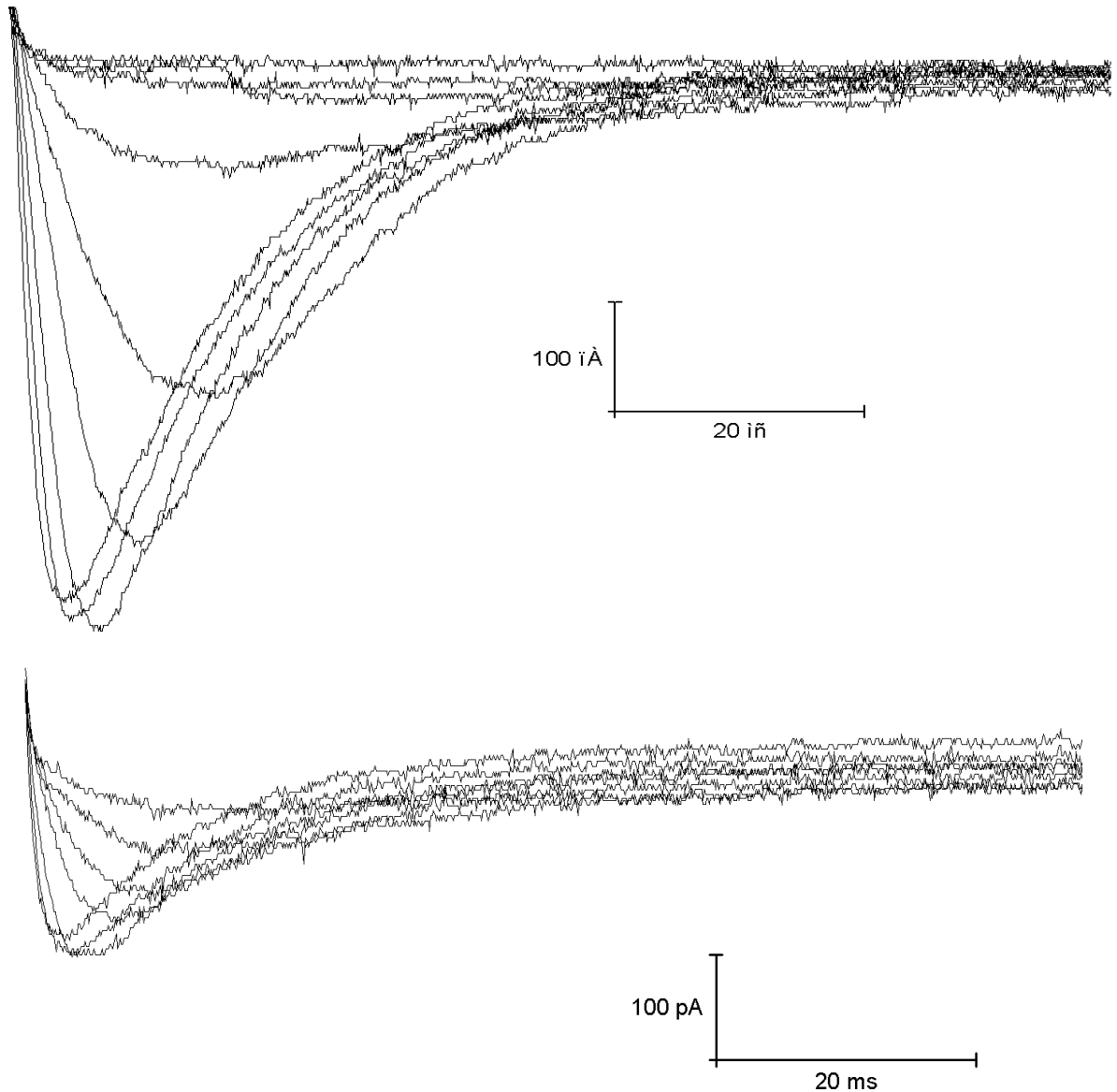


Рис.3.6. Оригінальні записи Т-струмів у клітинах, які експресують ізоформи $Ca_v3.1$ (згори) або $Ca_v3.3$ (знизу)

Також ми порівняли Т-струми у глутамат-ергічних та ГАМК-ергічних нейронах, та знову не знайшли відмінностей у біофізичних характеристиках струмів (Рис. 3.7. А). Можливою причиною таких результатів ми припускаємо процес виділення нейронів для

електрофізіологічного вимірювання струмів. Ферментативна обробка призводить до втрати нейронами аксону та дендритного дерева, для збирання цитоплазми доступна лише сома нейрона та окремі проксимальні частини дендритів. Разом з тим відомо, що мРНК синаптичних білків транспортується саме в термінальні частини дендритів, де може зберігатися деякий час та в потрібний момент транслювати білок на локальних рибосомах [104]. Для T-каналів відома диференційна наявність каналів на мембрані соми та дендритів [19,32], тому можна припустити, що кількість мРНК дистально експресованих каналів є незначною в сомі.

Результати коекспресії мРНК $\alpha 1$ -субодиниць T-каналів з маркерами нейромедіаторів показали відсутність кореляції між ними. Серед успішно досліджених нервових клітин було 33% глутамат-ергічних і 57% ГАМК-ергічних (Рис. 3.2.6.Б).

При цьому 2 нейрони експресували одразу маркери обох нейромедіаторів. Це може бути ознакою артефакту дослідження, проте проведені нами контролі на псевдопозитивний результат, викликаний можливим забрудненням генетичним матеріалом з клітинного ядра, з поживного середовища та неспецифічною ампліфікацією ДНК, не давали продуктів реакції. Тому ймовірною причиною такого результату є неспецифічна експресія маркерів одного з нейромедіаторів у цих конкретних нейронах. Менше ймовірними варіантами ми вважаємо захоплення цими клітинами мРНК сусідніх клітин або секрецію різними синапсами однієї клітини двох різних типів нейромедіатора, хоча подібні випадки описані в науковій літературі [105].

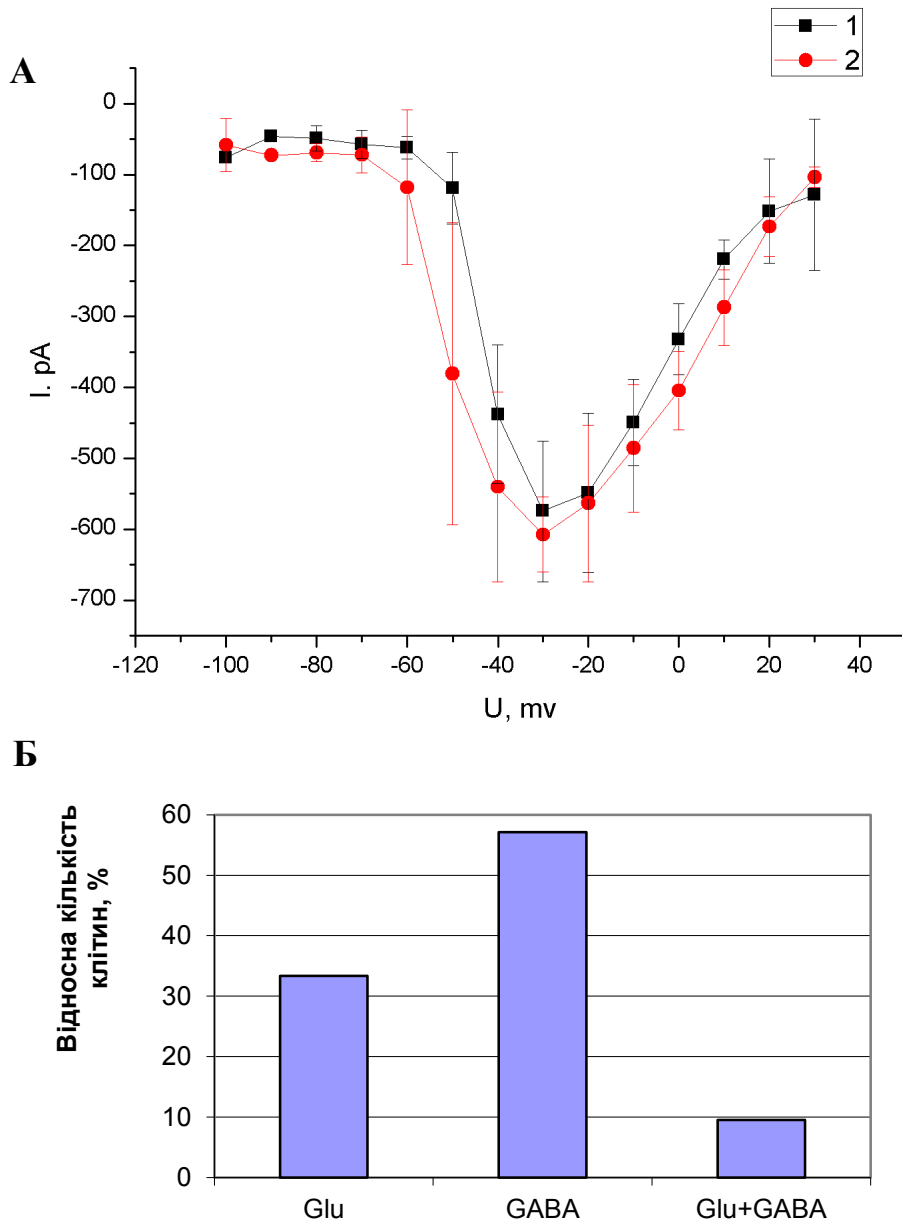


Рис. 3.7. А. Вольт-амперна характеристика кальцієвих струмів Т-типу в нейронах, що експресували гени маркерів глутаматергічних (1) і ГАМК-ергічних нейронів (2).

Б. Співвідношення глутаматергічних (Glu) і ГАМК-ергічних (GABA) нейронів серед успішно досліджених клітин.

Наші дані ПЛР для однієї клітини не дозволяють нам зробити однозначних висновків щодо нейрон-специфічної експресії генів кальцієвих каналів Т-типу в різних групах нейронів таламусу, тому

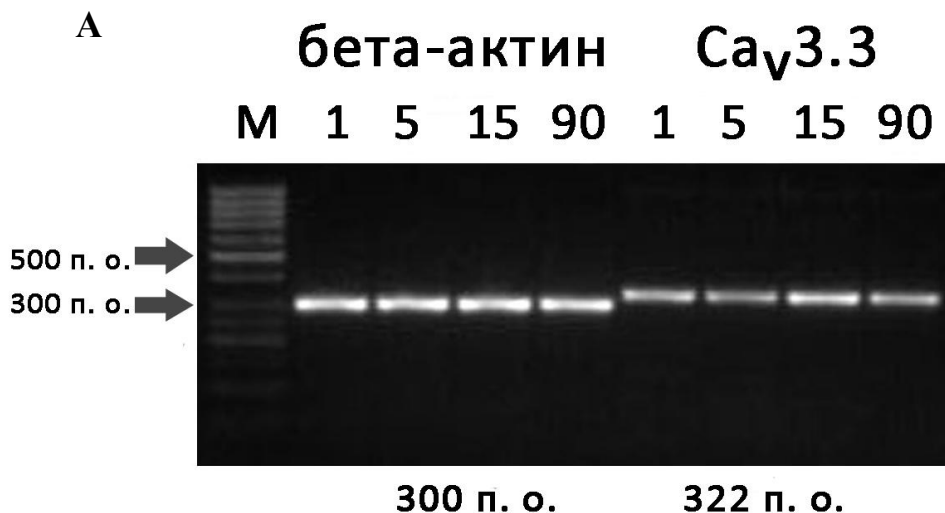
подальші дослідження ми здійснювали на цілих ядрах, зокрема латеродорзальному (ЛД) та сітчастому (СЯ).

3.2.2. Онтогенетичний аспект експресії мРНК альфа1-субодиниць низькопорогових кальцієвих каналів в таламусі

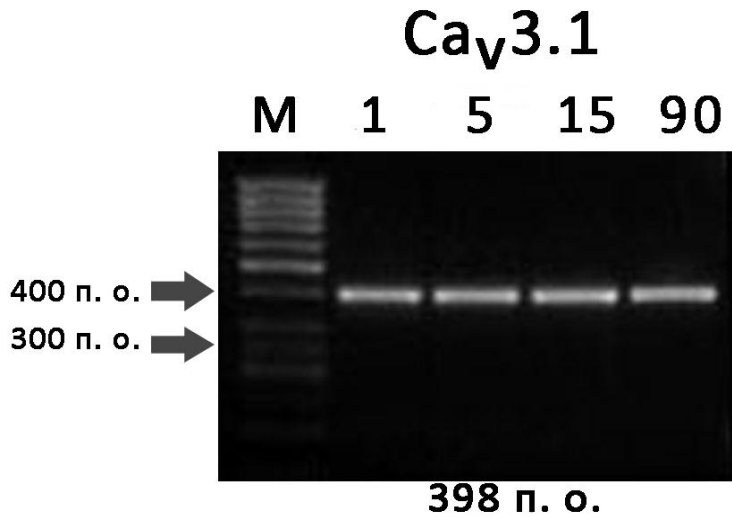
Проблема динамічної експресії НПКК у таламусі привертала увагу дослідників вже давно. Таламус є однією із небагатьох ділянок мозку, де визначено високу експресію змішаних за своєю природою Т-струмів. Роботи Тарасенка й колег [61] продемонстрували, що швидкий та повільний компонент струму змінюються у онтогенезі, причому повільний компонент з'являється пізніше, досягаючи максимуму через 15-17 діб після народження. Клонування $\alpha 1$ -субодиниць Т-каналів призвело до знайдення фізичного субстрату повільного та швидкого струмів – ізоформ $Ca_v3.3$ та $Ca_v3.1$ відповідно. Тим не менш, які саме ізоформи є функціонально активними у таламусі на різних етапах онтогенезу, залишалось невідомим, оскільки експерименти з гібридизації *in situ* показали наявність експресії там не тільки $Ca_v3.1$, $Ca_v3.2$ та $Ca_v3.3$, але й $Ca_v2.3$, що відноситься до кальцієвих каналів R-типу та має схожі на Т-канали біофізичні властивості струму [106].

Тому ми провели серію ПЛР, взявши щурів різного постнатального віку: 1, 5, 15 та 90 діб. Результати реакцій показали, що в найбільшому ступені в латеродорзальному ядрі таламусу щурів всіх вікових груп експресується мРНК, що кодує субодиниці $Ca_v3.1$ та $Ca_v3.3$, а рівень $Ca_v3.2$ та $Ca_v2.3$ знаходиться на значно нижчому рівні (Рис. 3.8). Продукти ПЛР для генів *Cacna1g* ($Ca_v3.1$) і *Cacna1i* ($Ca_v3.3$) візуалізувались після 35 циклів ампліфікації, як і амплікон гена «домашнього господарства» β -актина. Для візуалізації

ампліконів *Casnalh* (Ca_v3.2) і *Casnale* (Ca_v 2.3) Напівкількісний аналіз за відносною яскравістю ампліконів у агарозному гелі показав, що рівень експресії генів Ca_v3.2 та Ca_v2.3 у латеродорзальному ядрі у 16-32 разів більше, ніж такий для генів Ca_v3.1 і Ca_v3.3. Отримані дані співпадали із результатами гібридизації *in situ*, що продемонстрували більшу наявність мРНК Ca_v3.1 і Ca_v3.3 у мозку дорослого щура. Дані стандартної ПЛР не дозволяють казати про онтогенетичні особливості експресії мРНК каналів Т-типу. У одноденних щурят кількість мРНК Ca_v3.1, Ca_v3.2, Ca_v3.3 і Ca_v2.3 суттєво не відрізнялась від такої у 5-, 15- та 90-денних щурів. Таким чином, можна було припустити, що причиною змін у амплітуді різних підтипів Т-струму є не регуляція транскрипції мРНК, а подальша доля білку після трансляції та його взаємодія з іншими факторами.



Б



В

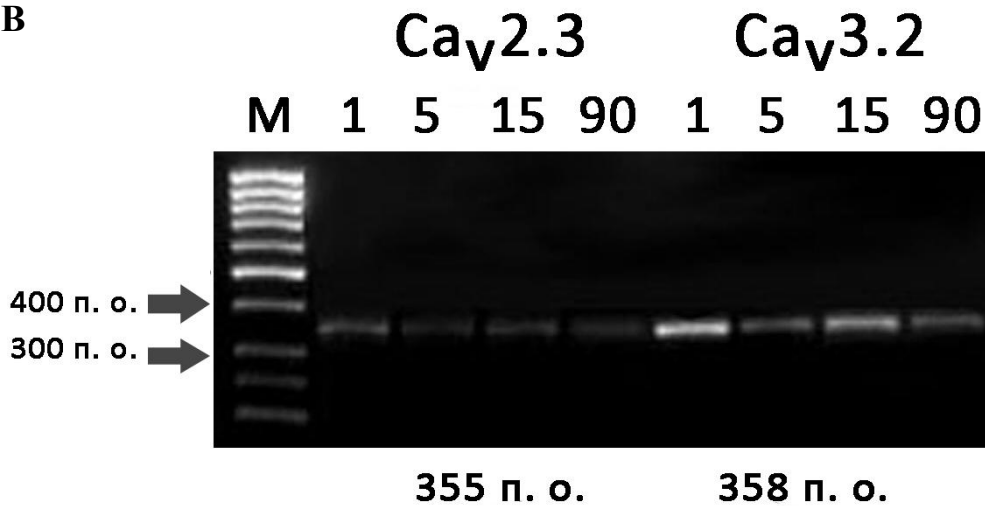


Рис.3.8. А. Результати електрофорезу ампліконів β -актину і Ca_v3.3 після 35 циклів ПЛР. М маркер молекулярної ваги. 1, 5, 15, and 90 – вік щурів у постнатальних днях, у яких виділялася тканина латеродорзального ядра.

Б. Те ж саме для Ca_v3.1 після 35 циклів ПЛР.

В. Те ж саме для Ca_v3.2 і Ca_v2.3 після 38 циклів ПЛР.

Тим не менш, остаточний висновок щодо рівня транскрипції можна зробити лише після аналізу кількісним методом. Для цього ми застосували ПЛР «у реальному часі» та звузили період онтогенезу досліджуваних тварин. Оскільки літературні дані точно

вказують найпізніший час відсутності повільного компоненту Т-струму як 10-12 постнатальних діб, а його максимальна амплітуда з'являється після 17 дня, то ми обрали 10- та 25-денних щурів як надійні точки, в яких струми гарантовано розрізняються. В ході дослідження виявилось, що на 10-й постнатальний день у ЛД ядрі таламусу найбільше експресується мРНК каналу $Ca_v3.3$ (Рис. 3.9). Рівень мРНК $Ca_v3.1$ був менше у 1,7 разів, тоді як кількість $Ca_v3.2$ відрізнялася у 6 разів у бік зменшення. Із досягненням 25-денного віку рівні мРНК $Ca_v3.1$ та $Ca_v3.2$ знижувалися відповідно у 3,5 та 5 разів, тоді як кількість мРНК $Ca_v3.3$ зменшувалася статистично незначимо. Таким чином у віці 25 днів у щурів спостерігається така послідовність експресії мРНК каналів Т-типу: $Ca_v3.2 \ll Ca_v3.1 < Ca_v3.3 \approx 1:14:76$.

Як видно з цих даних, експресія мРНК $Ca_v3.1$ та $Ca_v3.3$ до десятого дня знаходиться на співставному рівні, тоді як кількість мРНК $Ca_v3.2$ значно нижче. До 25 дня значно зменшується рівень мРНК $Ca_v3.1$ і $Ca_v3.2$, а $Ca_v3.3$ майже не змінюється.

Згідно з результатами, отриманими у експериментах із штучно експресованими у гетерологічних системах субодиницях Т-каналів, саме $Ca_v3.1$ відповідає за струм із швидкою кінетикою активації інактивації, а $Ca_v3.3$ – за «повільний» струм. Якщо б кількість мРНК прямо корелювала із кількістю каналу на мембрані клітини, то картина мала б бути іншою: у Т-струмі на 10й день онтогенезу «повільний» і «швидкий» компонент приблизно рівні, а на 25-й «швидкий» сильно зменшується при збереженні «повільного» компоненту. Але струми, що спостерігаються, кардинально інші [61].

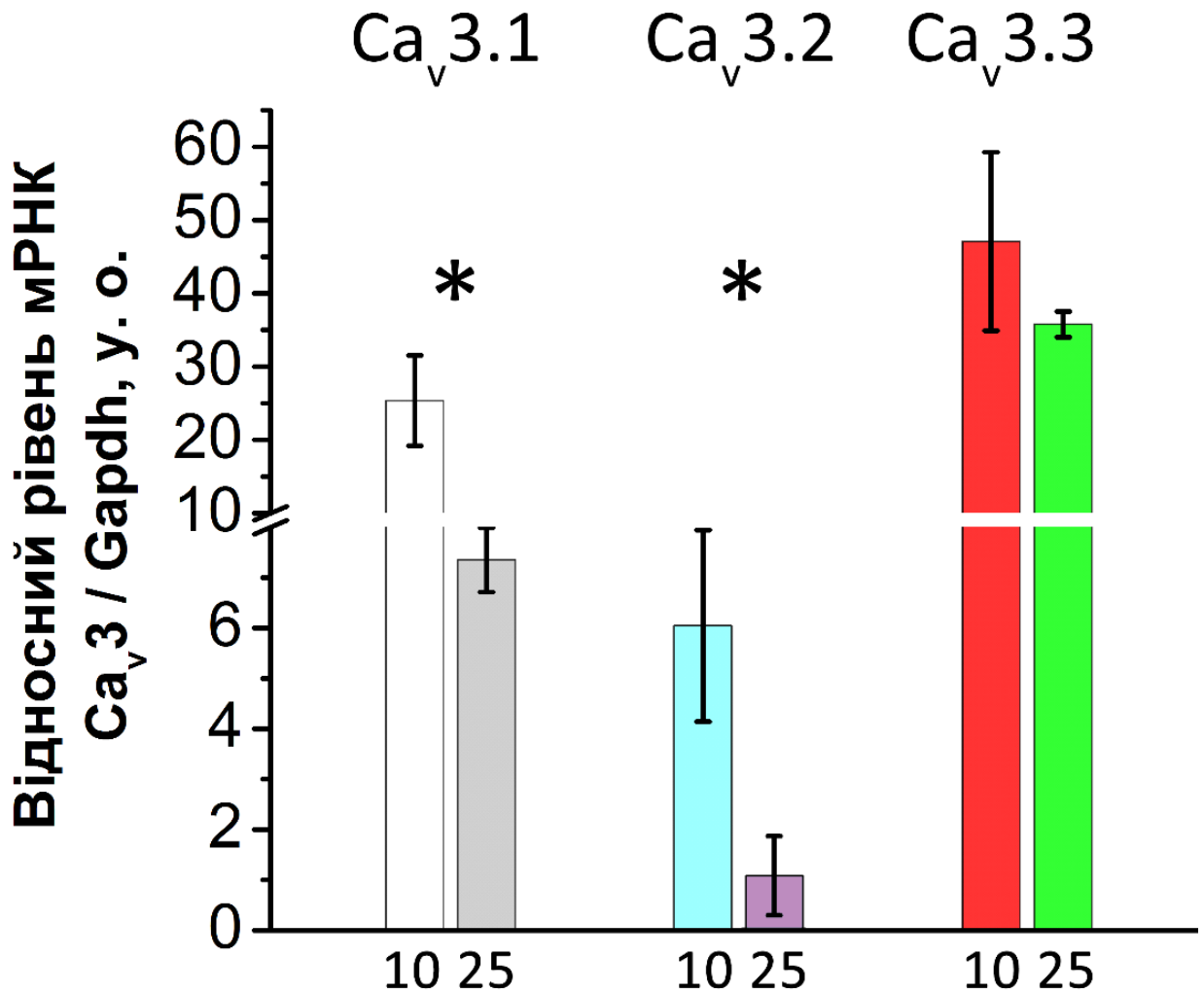


Рис. 3.9. Зміни відносної кількості мРНК трьох субодиниць T-каналів у латеродорзальному ядрі таламусу з 10го по 25й день постнатального розвитку.

Значить, ми можемо припустити, що існує певний механізм вибіркової трансляції та/або посттрансляційний процес, що особливим чином впливає на долю мРНК Ca_v3.3, яка спочатку не дає функціонального каналу на мембрані, а потім все-таки транслюється.

Так чи інакше, але це припущення виходить із інформації, що отримана у гетерологічних системах експресії (ооцитах *Xenopus*,

лінії HEK293 та інших). Експресовані там Т-канали можуть мати відмінну фармакологію, кінетику струму, поріг активації тощо.

Таким чином, НПКК у ЛД ядрі таламуса демонструють складний онтогенетичний патерн експресії генів у фізіологічних умовах та поступово знижують рівень транскрипції від 10-го до 25-го постнатального дня, а склад ізоформ не співпадає з передбаченими за електрофізіологічними показниками.

3.3 Низькопорогові кальцієві канали у мозку щурів лінії WAG/Rij

3.3.1 Кількісна оцінка експресії мРНК $\alpha 1$ -субодиниць низькопорогових кальцієвих каналів у сітчастому ядрі таламусу та соматосенсорному кортексі

Зв'язок між Т-каналами та абсансною епілепсією видається дуже тісним. На це вказують і тваринні моделі, і роль таламічної активності у нападах, і те, що антиепілептичні препарати є блокаторами Т-струму. Але яким саме чином Т-канали залучені в етіологію абсансної епілепсії, залишається невідомим. Ключовим є питання, в якій ділянці мозку відбуваються первинні зміни, які призводять до абсансів – таламусі чи корі. Для того, щоб виявити можливість залучення каналів Т-типу до патологічних процесів у цих двох зонах, ми дослідили експресію їх мРНК у сітчастому ядрі таламусу (СЯ) та соматосенсорній корі верхньої губи та вібрис, так званому «кортикальному фокусі».

Сітчасте ядро (*англ.* reticular thalamic nucleus) є регулятором активності таламусу та містить ГАМК-ергічні сітчасті нейрони, які гальмують нейропередачу через релейні таламокортикальні нейрони та переключає їх в режим пачкової активності. Надмірна активація сітчастого ядра призводить до переривання передачі сигналу від нижчих відділів нервової системи до кори великих півкуль головного мозку та викликає абсанс [84]. Аналіз експресії каналів Т-типу у сітчастому ядрі дорослих щурів лінії WAG/Rij та контрольних щурів Wistar показав відсутність статистично значущих відмінностей між двома лініями (Рис. 3.9). Найбільший

рівень експресії встановлений для мРНК $Ca_v3.3$, тоді як ізоформи $Ca_v3.1$ і $Ca_v3.2$ наявні на значно нижчому рівні, у 6-20 разів менше.

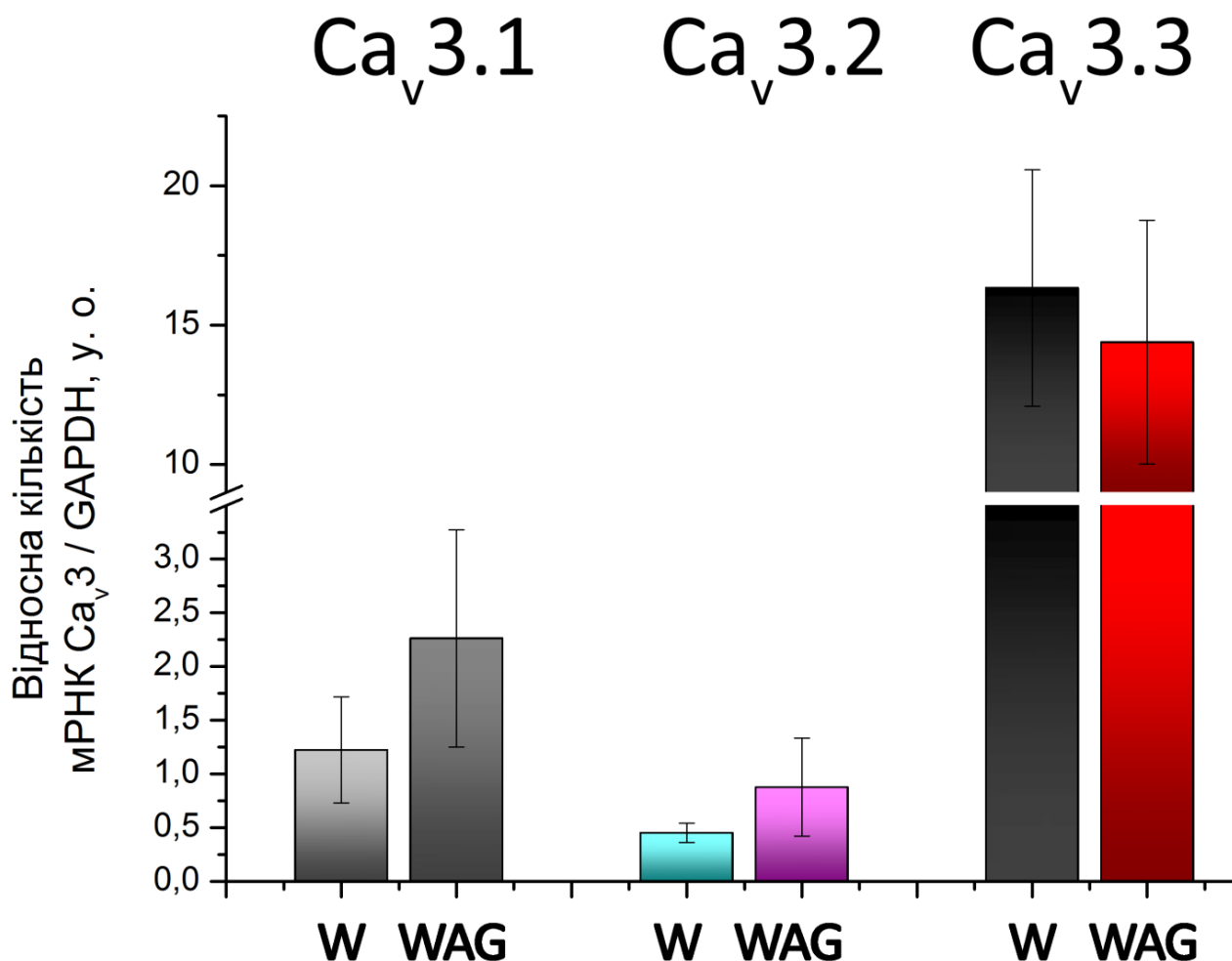


Рис. 3.9. Рівні мРНК НПКК у сітчастому ядрі таламусу щурів ліній Wistar і WAG/Rij віком у 180 днів. W – Wistar; WAG – WAG/Rij (відмінності статистично не значимі, $p > 0,05$)

Для оцінки онтогенетичних змін експресії T-каналів у «кортикальному фокусі», де за вимірами ЕЕГ розпочинаються абсанси в щурів WAG/Rij [91], ми дослідили 10-, 25- і 180-денних щурів обох ліній.

У 6-місячних щурів встановлено більший у 2,5 рази рівень експресії мРНК $Ca_v3.1$ у тварин лінії WAG/Rij. Також статистично значима різниця в 1,8 разів на користь лінії WAG/Rij спостерігалася при порівнянні 10-денних щурів цієї лінії з контрольною групою лінії Wistar (Рис. 3.10). Цікавою виявилася динаміка експресії $Ca_v3.1$ у контрольних щурів Wistar. Найбільшу кількість мРНК було встановлено у щурів 10-денного віку, у 25-денному віці вона знижувалася майже у 3 рази, а потім у 6-місячному віці складала близько 65% від початкової. При цьому, рівень мРНК $Ca_v3.1$ у щурів лінії WAG/Rij не відрізнявся від контрольних на 10-й день, а на 25-й уже перевищував відповідний у контрольних щурів.

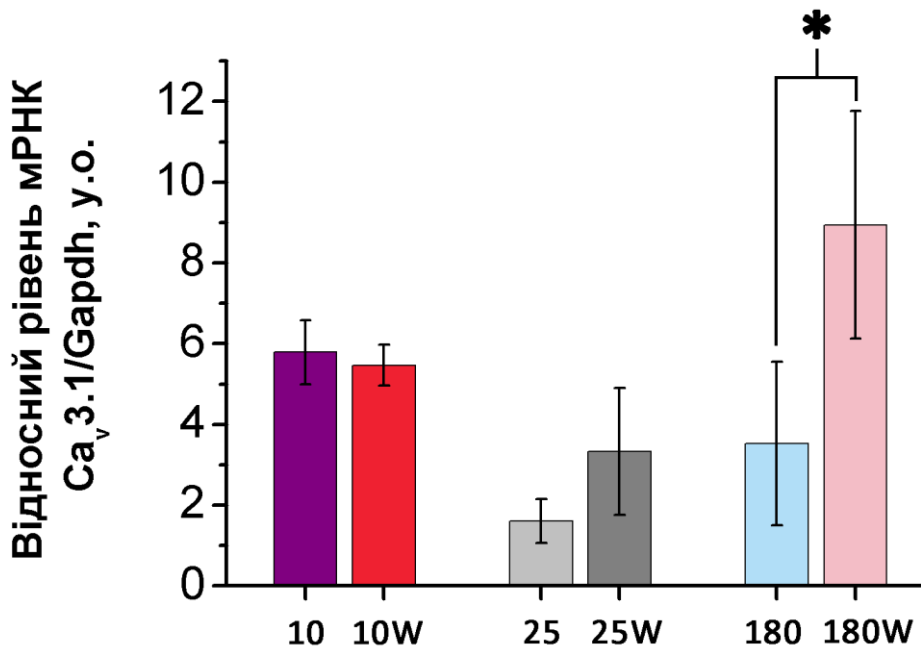


Рис. 3.10 (А). Рівні мРНК НПКК у «кортикальному фокусі» щурів ліній Wistar і WAG/Rij. 10, 25, 180 – щури Wistar, 10W, 25W, 180W – щури WAG/Rij відповідного постнатального віку (числа відповідають дням).* – $p < 0,05$

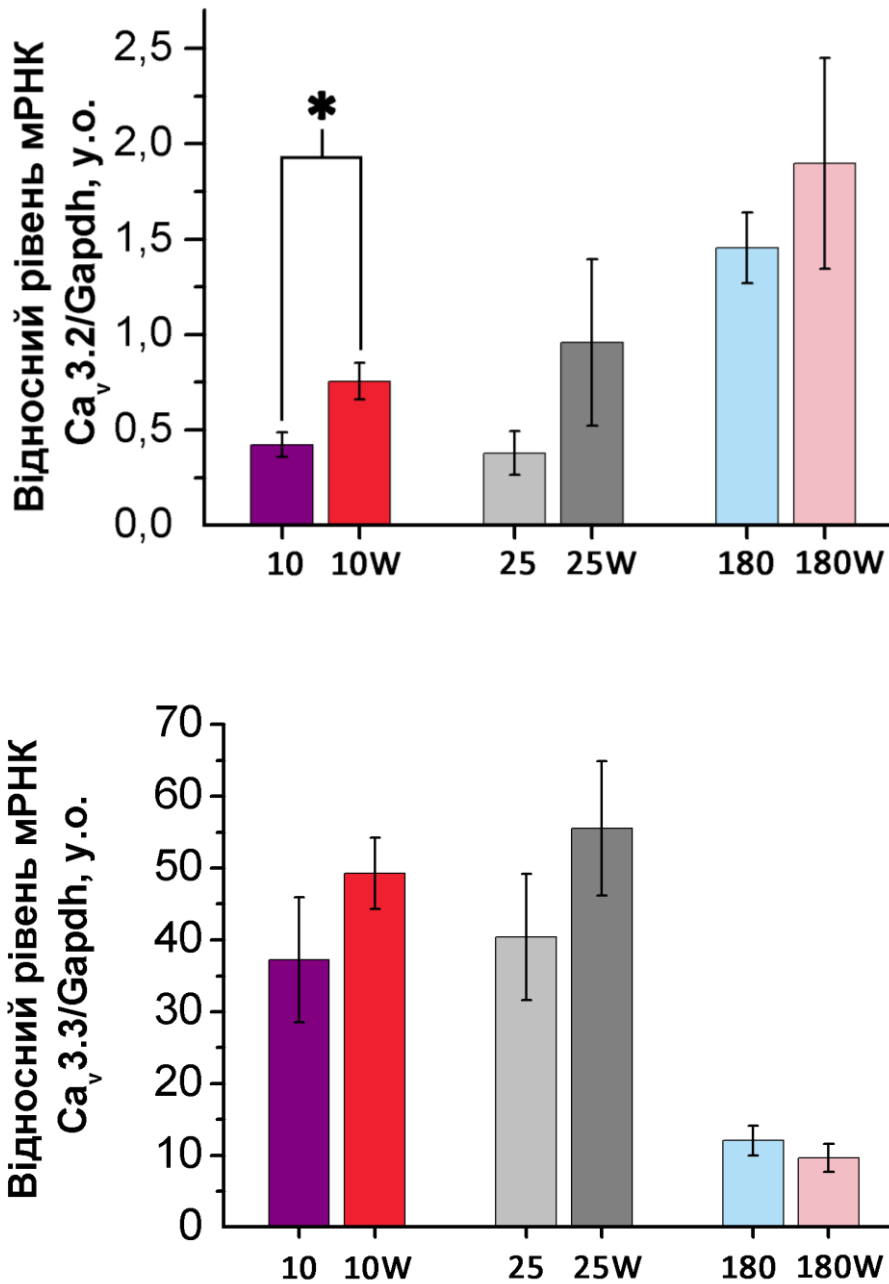


Рис. 3.10. (Б,В) Рівні мРНК НПКК у «кортикальному фокусі» щурів ліній Wistar і WAG/Rij. 10, 25, 180 – щури Wistar, 10W, 25W, 180W – щури WAG/Rij відповідного постнатального віку (числа відповідають дням).* – $p < 0,05$

Стабільно низька кількість мРНК субодиниці Ca_v3.2 у молодих щурів Wistar супроводжувалася майже вдвічі збільшеною

експресією у відповідних вікових групах модельних щурів. А ось для мРНК $Ca_v3.3$ рівень був значно вищий (3,5-4 рази) у молодому віці, ніж у дорослому. При цьому в лінії WAG/Rij спостерігалася тенденція до збільшення експресії мРНК $Ca_v3.3$ у 10- та 25-денних щурів, на противагу 6-місячним, де навпаки, була слабка тенденція до нижчої експресії.

Експресія мРНК Ca_v3 каналів у корі великих півкуль показана ще в дослідженні [19]. Ми вперше демонструємо зміни цієї експресії для моделі абсансної епілепсії, хоча непряме посилення на таку зміну є в роботі [80]. При штучній гіперекспресії $Ca_v3.1$ у мозку мишей виникала спонтанна ЕЕГ-активність, подібна до абсансів. Автори роботи сконцентрувалися на змінах провідностей через T-канали у таламусі, ніяк не коментуючи майже симетричне збільшення експресії мРНК ізоформи $Ca_v3.1$ у соматосенсорній корі. Хоча, на нашу думку, такий очевидний феномен вимагає більш детального, в тому числі й електрофізіологічного, вивчення.

При цьому T-струми в кортикальних нейронах описані лише в декількох роботах, тоді як в інших постулюється відсутність функціонально активних T-каналів у цих нейронах. Сама по собі експресія мРНК не є однозначним показником наявності білка, а тим більше робочого мембранного каналу. Існує ціла система молекулярних механізмів, що регулюють появу функціонального білка вже після транскрипції мРНК. Це і допоміжні білки інформосоми, і білкові фактори трансляції, і малі РНК, і посттрансляційні модифікації поліпептиду, і білки трафікінгу, тощо. Кожен із цих факторів може призвести до переривання класичного шляху ДНК – мРНК – функціональний білок. Так, наприклад, у кардіоміоцитах людини високо експресується мРНК каналу $Ca_v3.2$,

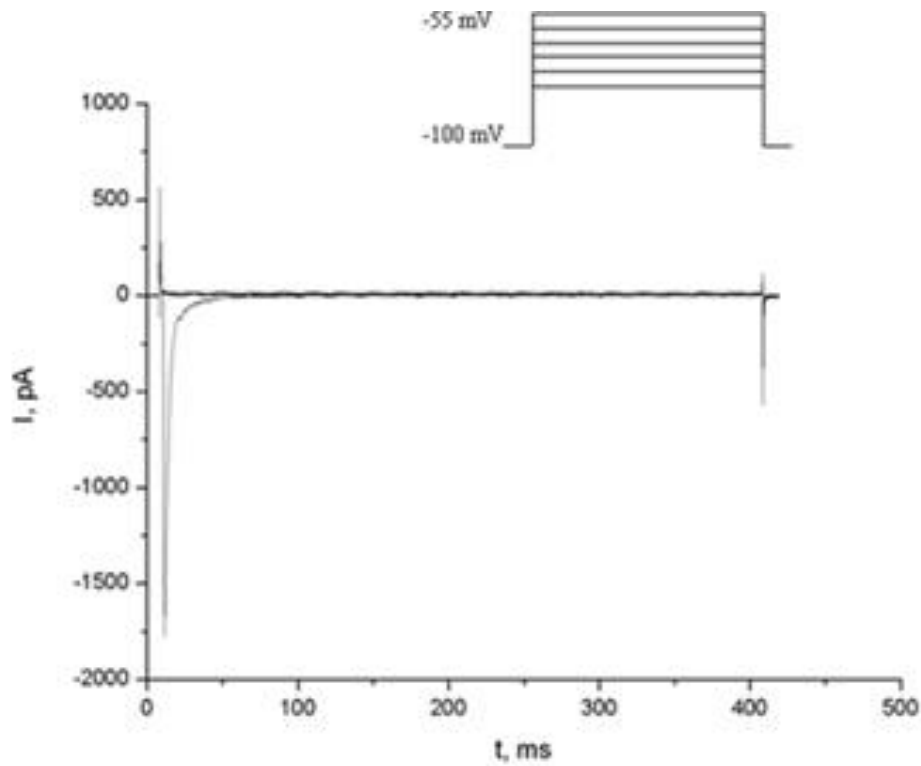
більш того, вперше цей канал був клонований саме із серця людини і названий H-субодиницею (від англ. "heart"). Тим не менш, досі не вдавалося зареєструвати T-струми у людських кардіоміоцитах (Щегловітов, особисте повідомлення). Тому навіть значні зміни експресії мРНК мають бути перевірені на їхнє віддзеркалення у білку та його функції.

3.3.2 Експресія білка альфа1-субодиниць низькопорогових кальцієвих каналів у соматосенсорній корі

Наявність транскриптів Ca_v3 у корі щурів показано у багатьох роботах. Дані щодо білка не такі однозначні та переконливі. Є роботи, де показані нетривіальні функції для ізоформ $Ca_v3.2$ [70] та $Ca_v3.3$ [68]. Щодо експресії білка $Ca_v3.1$ у корі, то така залишається невідомою. При цьому широке електрофізіологічне дослідження ПЗКК у 5-6му шарі соматосенсорної кори щура продемонструвало наявність всіх типів високопорогових кальцієвих каналів, але не низькопорогових [69]. Таким чином, визначення наявності білка $Ca_v3.1$ та його функції у соматосенсорній корі представляє інтерес не лише у світлі його потенційної патофізіологічної ролі у моделі абсанс-епілепсії, але й створює нове знання щодо роботи кортикальних нейронів.

Для порівняльного аналізу функції T-каналів у нейронах "кортикального фокусу" щурів ліній Wistar та WAG/Rij віком 10 днів були виділені окремі нейрони з цієї зони для "петч-клемп" експерименту. Як не дивно, в нейронах жодної лінії не було зареєстровано T-струму (n=40) (Рис. 3.11).

А



Б

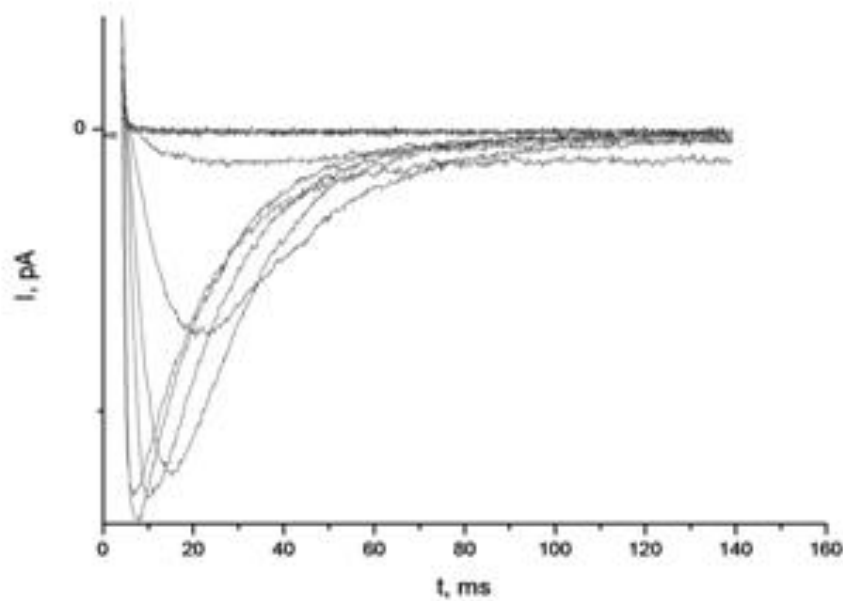
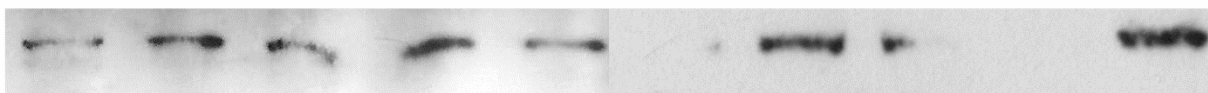


Рис. 3.11. Відповідь кортикального (А) і таламічного (Б) нейрона на імпульсний протокол для низькопорогового кальцієвого струму.

Паралельно із тканини «кортикального фокусу» дорослих 6-місячних щурів було виділено сумарний білок, розділено в

полікриламідному гелі та детектовано експресію білка $Ca_v3.1$ та бета-актину за допомогою методу "вестерн блот". В обох лініях було виявлено білкову смугу із молекулярною масою близько 270-280 кДа, що відповідає розмірам білка $Ca_v3.1$. Крім того, у білку з мозку щурів WAG/Rij спостерігалася слабка смужка із меншою на 10-30 кДа молекулярною масою за основну (Рис. 3.12). Не виключено, що окрім збільшення експресії гена ізоформи $Ca_v3.1$ також відбуваються зміни в сплайсингу мРНК, що призводить до появи білка зі зміненими властивостями та молекулярною масою.

Wistar



WAG/Rij

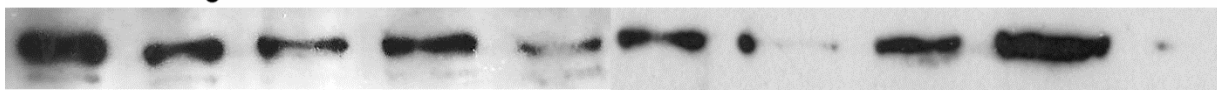


Рис. 3.12. "Вестерн-блот" сумарного білка з "кортикального фокусу" 6-місячних щурів; з антитілами проти $Ca_v3.1$ (близько 270 кДа); кожна доріжка містить сумарний білок з тканини окремої тварини. Верхній ряд – контрольні щури Wistar, нижній ряд – щури с абсансним фенотипом WAG/Rij.

Кількість цього білка, встановлена денситометричним методом за щільністю більшої смужки відносно до щільності смужки актину, розрізнялася у 2,1 рази на користь щурів лінії WAG/Rij (Рис. 3.13).

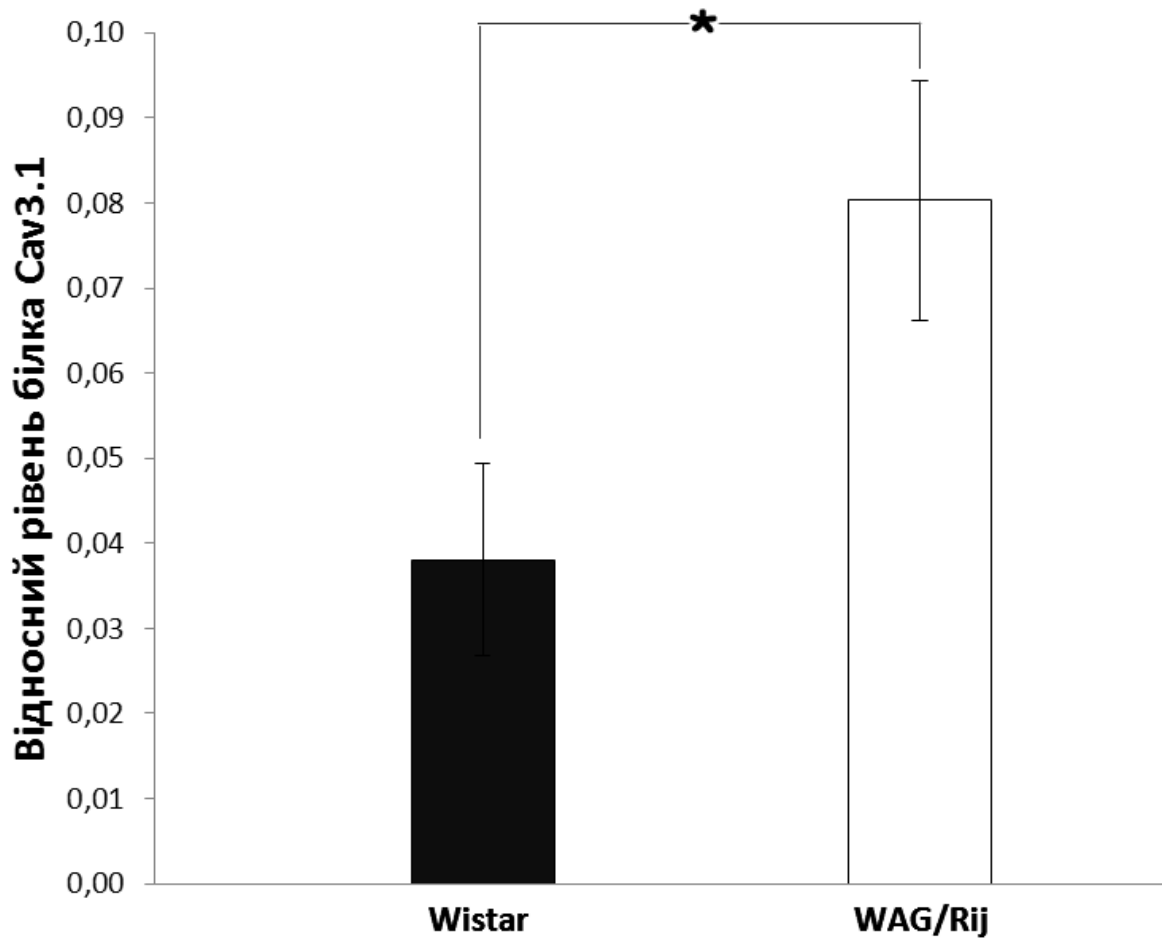


Рис. 3.13. Відносний рівень білка Ca_v3.1 у зоні соматосенсорної кори верхньої губи та вібрис («кортикальному фокусі») щурів ліній Wistar (контрольні) і WAG/Rij (щури з абсансним фенотипом), нормований по актину.

Співпадіння напрямку та величини зміни експресії ізоформи кальцієвого каналу Ca_v3.1 вказує на залучення цього каналу до існування абсанс-епілептичного фенотипу щурів лінії WAG/Rij. Проте відсутність Т-струмів у гостроізолюваних кортикальних нейронах не дозволяє зробити чіткий висновок щодо його безпосередньої ролі. Тим більше, що існує мало відомостей щодо ролі кальцієвих каналів Т-типу у корі головного мозку. Кортикальним нейронам невластива пачкова активність, тому

пейсмейкерна функція для НПКК є сумнівною. Вірогідною є вже описана для каналу $Ca_v3.2$ роль у екзоцитозі синаптичних везикул. Також можлива експресія білка $Ca_v3.1$ на мембрані дистальних відростків, що унеможлиблює реєстрацію струму на мембрані соми та проксимальних дендритів, що доступні на гостроізольованих клітинах.

3.3.3. Порівняння T-кальцієвого струму в таламусі щурів лінії WAG/Rij і Wistar

Дослідження T-каналів у релейних таламічних ядрах щурів лінії WAG/Rij обмежені фактично однією роботою [107], де вивчалися експресія мРНК та характеристики T-струму у бічному колінчастому ядрі. Крім того, порівняння в цьому дослідженні здійснювалося не з материнською лінією Wistar, а із завідомо далекою генетично лінією ACI. Разом із тим, саме релейні таламічні ядра, такі як латеродорзальне ядро, відіграють ключову роль в передачі нервової інформації від нижчих структур центральної нервової системи до кори великих півкуль головного мозку, будучи одним з основних елементів таламокортикальної петлі. Тому для розширення нашого розуміння змін експресії T-каналів у моделі абсанс-епілепсії та для наближення до визначення генетичних основ етіології патологічного фенотипу цієї моделі ми порівняли експресію каналів T-типу в латеродорзальному ядрі ліній WAG/Rij та Wistar методом кількісної ПЛР.

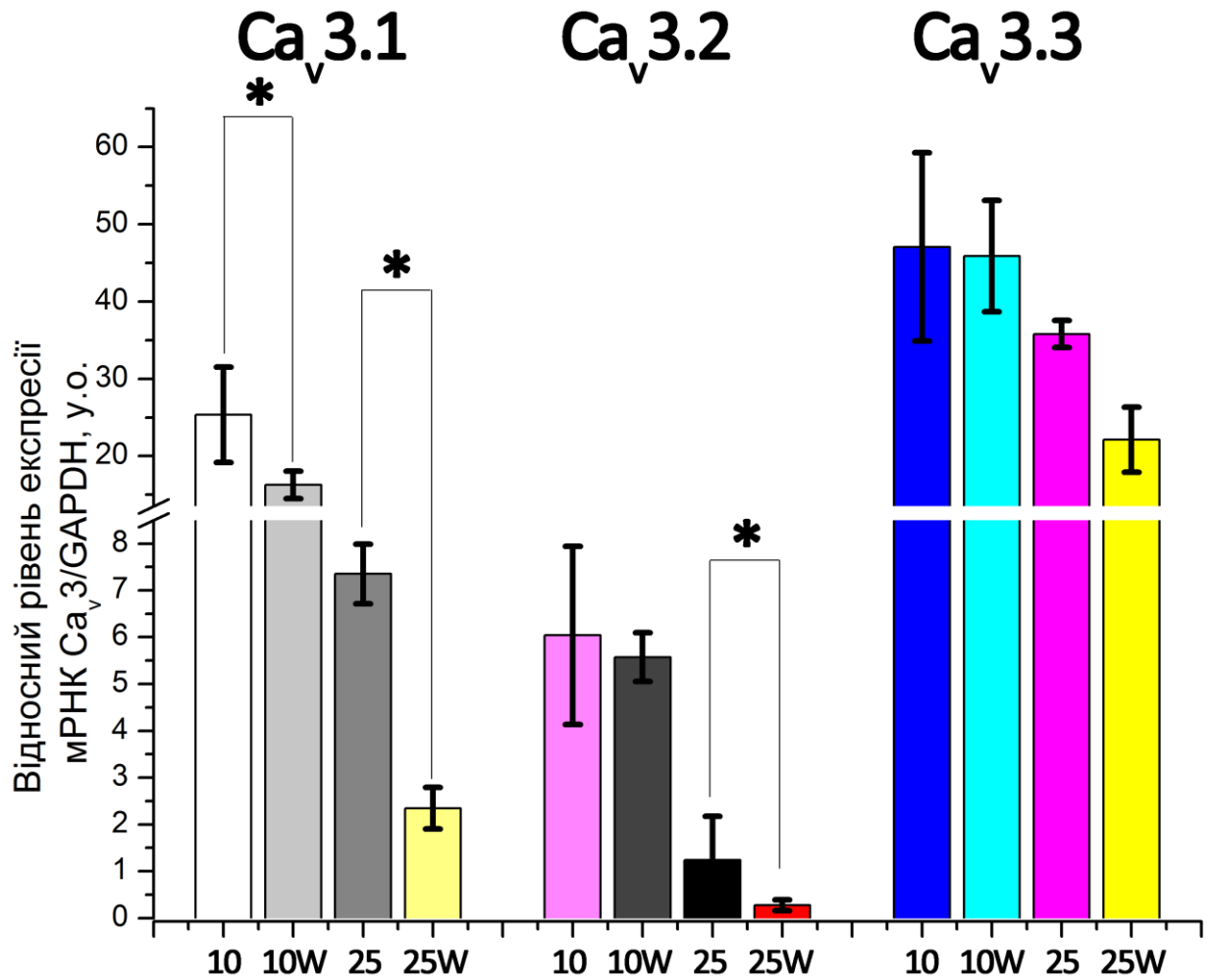


Рис. 3.14. Зміни кількості мРНК Ca_v3 кальцієвих каналів у латеродорзальному ядрі таламуса з 10-го по 25- постнатальний день. 10, 25 – щури лінії Wistar, 10W, 25W – щури лінії WAG/Rij

Проведене нами порівняння кількості мРНК зазначених кальцієвих каналів у ЛД щурів ліній WAG/Rij та Wistar показало, що у тварин 10-денного віку рівень експресії Ca_v3.1 знижується на ~35%, тоді як у Ca_v3.2 та Ca_v3.3 лишається незмінним за умов абсансної епілепсії, в той час як у 25-денних спостерігається зниження рівня експресії Ca_v3.1 та Ca_v3.3 (на ~68% та ~48%, відповідно) (Рис. 3.14).

З метою підтвердити отриманий результат ми провели вимірювання трансмембранних струмів на гостроізолюваних нейронах ЛДЯ щурів моделі абсанс-епілепсії та контрольної лінії.

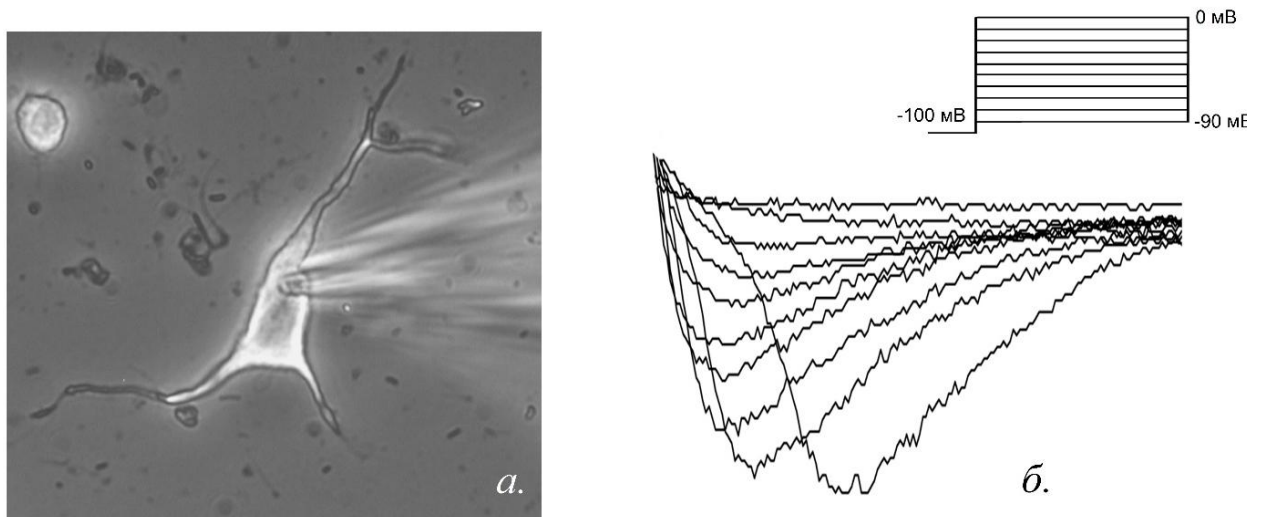


Рис.3.15. Електрофізіологічне дослідження методом петч-клемп у конфігурації «ціла клітина» кальцієвого струму через Т-канали в ізолюваних нейронах латеродорзального ядра.

А. Вигляд нейрона під час вимірювання струму (видно тіло нейрона та лише проксимальні дендрити).

Б. Протокол подачі фіксованого потенціалу на мембрану клітини (зверху) та характерний зразок запису кальцієвого Т-струму (знизу) у відповідь на протокол.

Дослідження виявило значне зменшення щільності Т-струмів у клітинах ЛДЯ 10-денних щурів ліній WAG/Rij у порівнянні із лінією Wistar (рис. 3.15). Загалом, у контрольних щурів зазначена величина при 40 мВ становила $12,95 \pm 1,83$ пА/пФ ($n=8$), в той час як у епілептичних тварин вона дорівнювала $7,42 \pm 1,8$ пА/пФ ($n=7$) (Рис. 3.16). Амплітуда Т-струму, виміряного в наших експериментах,

відповідала діапазону, зареєстрованому іншими дослідниками в таламусі – від ~200 до ~1400 пА, залежно від досліджуваного ядра, типу нейронів і особливостей умов експерименту.

Зниження як експресії мРНК $Ca_v3.1$, так і зменшення загального Т-струму у поодиноких нейронах латеродорзального ядра таламусу в щурів лінії WAG/Rij йде врозріз із даними [107], де в бічному колінчастому ядрі було зафіксовано збільшення амплітуди струму на 27%, тоді як в нашому експерименті спостерігалось зменшення його амплітуди на 43%. Чим же можна пояснити таку розбіжність? Як вже відмічалось, наше дослідження проводилося у іншому ядрі таламусу, тому відмінності можуть бути пояснені невідомими механізмами, специфічними для латеродорзального ядра невідомими механізмами. Крім того, у якості контролю дослідники брали лінію ACI, а не Wistar, тому різниця може бути викликана саме відмінністю контрольної лінії щурів. Але ці пояснення стосуються акцидентів, яка же може бути суть цього феномену? Ми не виключаємо, що пізня поява абсансного фенотипу викликана компенсаторними механізмами, що не дають генетичній зумовленості реалізуватися в ранньому онтогенезі. Компенсація може працювати дуже активно, блокуючи роботу елементів, що надалі призведуть до розвитку абсансу. Звичайно, що тут немає жодної телеології, а цей можливий процес працює за принципом зворотного зв'язку. Після статевого дозрівання компенсаторний механізм може інактивуватися і схильність до появи абсансів розвивається впродовж декількох місяців.

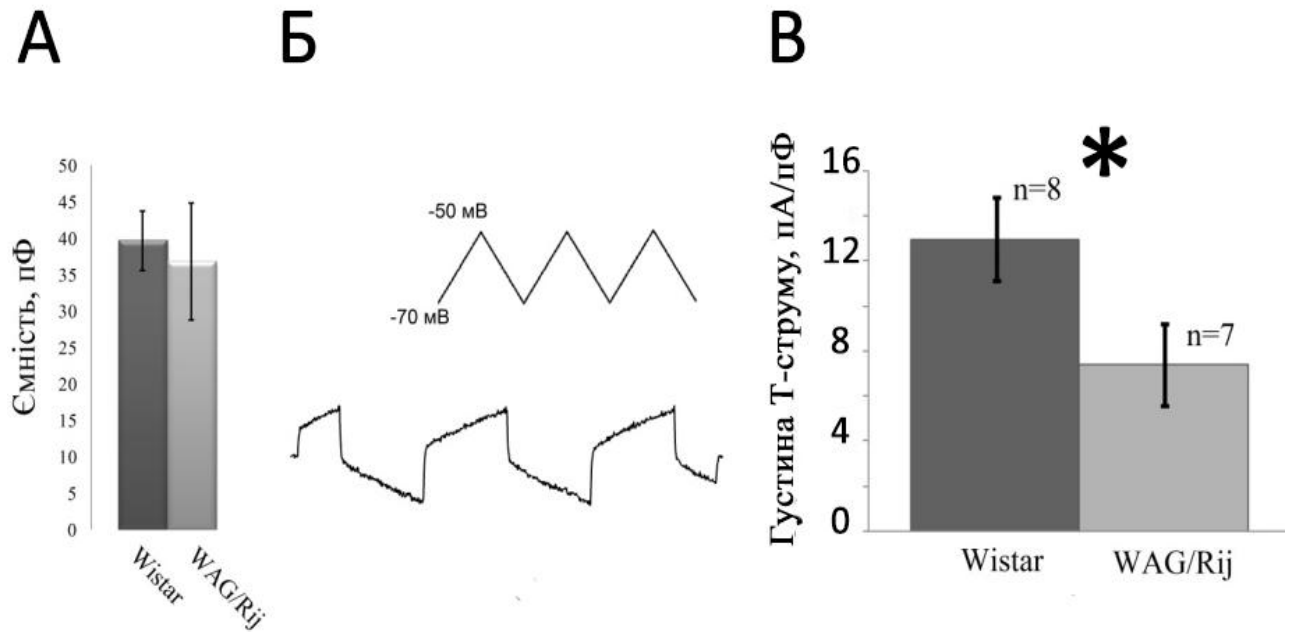


Рис. 3.16. А. Середні значення електричної ємності нейронів, виділених з щурів ліній WAG/Rij і Wistar.

Б. Протокол подачі фіксованого потенціалу на мембрану клітини для визначення електричної ємності нейронів (зверху) і характерна відповідь на нього.

В. Середні значення густин кальцієвого Т-струму в нейронах, виділених з щурів ліній WAG/Rij і Wistar.

Таким чином зміни в експресії генів низькопорогових кальцієвих каналів відбуваються не лише в ході нормального розвитку мозку щурів, а й за умов експериментальної абсансної епілепсії. Ці зміни можна спостерігати не лише на рівні мРНК, але й на рівні білку та функціонального каналу. Механізми регуляції змін експресії потребують подальшого дослідження. Ймовірні причини цих змін варто шукати серед транскрипційних факторів, сайтів зв'язування регуляторних білкових комплексів на ДНК, серед елементів системи РНК-інтерференції, малих та великих некодуючих РНК.

3.4. Роль мікроРНК в регуляції експресії низькопорогових кальцієвих каналів

3.4.1. Біоінформаційний пошук мікроРНК, що взаємодіють із мРНК кальцієвих каналів Т-типу

З наших та літературних даних видно, що кальцієві канали Т-типу є об'єктами динамічної регуляції експресії. Очевидно, що ті зміни кількості мРНК та білку каналів, що спостерігаються, є наслідком впливу на гени та мРНК каналів багатьох факторів. На даний момент існує мало даних стосовно білкових факторів транскрипції кальцієвих каналів Т-типу. Що ж до універсальних посттранскрипційних регуляторів, мікроРНК, то їхній вплив на іонні канали вивчено дуже обмежено, а для Т-каналів вони взагалі не описані. МікроРНК взаємодіють із мРНК через специфічні сайти, що знаходяться на 3'-нетрансльованій ділянці (3'UTR) мРНК. Для біоінформатичного пошуку сайтів для мікроРНК ми використовували програмний пакет TargetScan (<http://www.targetscan.org/>), оскільки він здійснює пошук сайтів, орієнтуючись не лише на величину вільної енергії дуплекса мікроРНК-мРНК, а слідує усім правилам специфічності сайту. Перше правило – це повна комплементарність у паруванні між мікроРНК та мРНК на ділянці від 2-го по 8-й нуклеотид мікроРНК (початкова ділянка, *англ.* Seed region). ГУ пари та місметчі на цій ділянці сильно понижають ефективність сайтів. Однак, А в першому положенні сайту та А або У у 9 положенні посилюють його ефективність, при чому вони не обов'язково мають паруватися з мікроРНК. Друге правило полягає в тому, що в центральній частині дуплекса мРНК-мікроРНК має існувати неспарена ділянка, що запобігає розрізанню мРНК за допомогою білків аргонавтівролро за

іншим шляхом РНК-інтерференції. Третє правило вимагає наявності певної долі комплементарності на 3'-частині мікроРНК для стабілізації її взаємодії із мРНК. На цій ділянці часто спостерігаються місметчі та неспарені ділянки, проте високий рівень парування (особливо впродовж 13-16 нуклеотидів мікроРНК) може бути критичним у сайтах із субоптимальною початковою ділянкою. Загальне відображення цих правил представлено на Рис. 3.17.

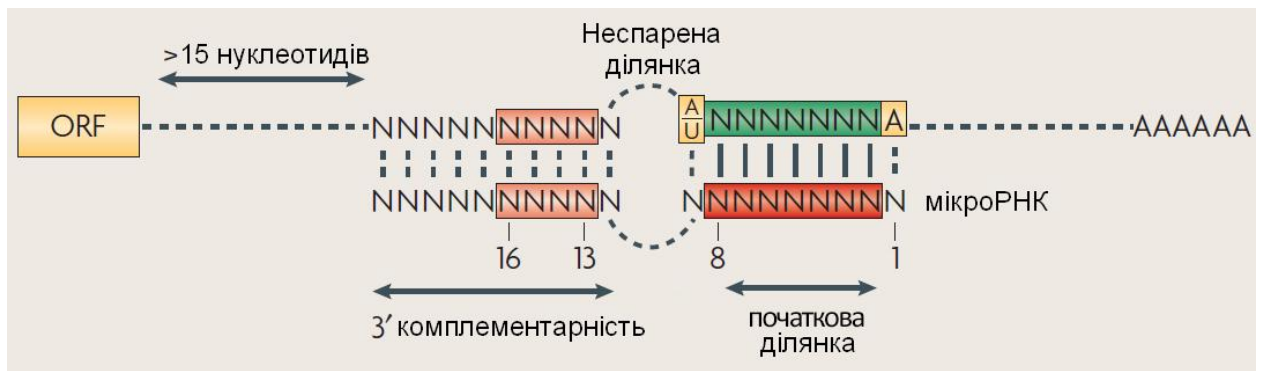


Рис. 3.17. Правила взаємодії мікроРНК із сайтом на 3'-нетрансльованій ділянці мРНК.

Ми просканували 3'UTR мРНК гена *Caspa1h* ($Ca_v3.2$) і виявили 35 сайтів для різних мікроРНК. Серед них була мікроРНК rno-miR-1, для якої на даному 3'UTR було два сайти. Надалі ми перевірили ці сайти «на око» використовуючи програму RNAhybrid (<http://bibiserv.techfak.uni-bielefeld.de/rnahybrid/>). Перший сайт є гептамер-A1 сайтом із 1 нуклеотидом – А, а 9-10 – А/У, 12-15 нуклеотиди повністю гібридизовані; ці параметри підвищують силу сайтів. Другий сайт є також гептамер-A1-сайтом із А в якості першого нуклеотиду та частковою гібридизацією на 3'-кінці, проте він дещо слабший за перший (Рис.3.18).

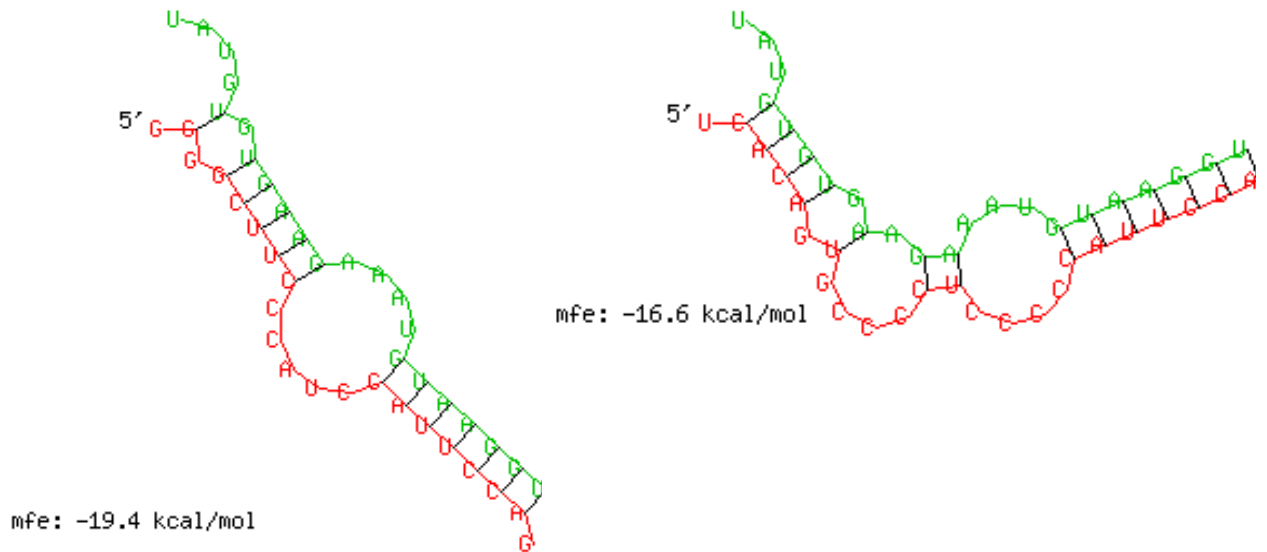


Рис.3.18. Два сайти для gno-miR-1 (зелений колір) на 3'-UTR Ca_v3.2 мРНК (червоний). Mfe – мінімальна вільна енергія зв'язку між молекулами РНК (чим менше це значення, тим потужніший зв'язок між молекулами) 3 сайту RNAhybrid.

В результаті даного аналізу ми виявили gno-miR-1 як потенційний регулятор експресії Ca_v3.2 каналу Т-типу. Ця мікроРНК характерна для міоцитів та кардіоміоцитів, де відповідає за набуття цими клітинами властивого їм профілю експресії генів, проте наявна й у мозку, хоча й на значно нижчому рівні (у 100-200 разів нижче ніж у серці), а крім того показаний її вплив на нейронний транскрипційний фактор BDNF [108]. Відомості про її рівні в таламусі та «кортикальному фокусі» відсутні. Тому в нас і постало питання перевірки експресії gno-miR-1 у мозку щурів та порівняння рівнів мРНК Ca_v3.2 та даної мікроРНК у нормі та в моделі абсансної епілепсії.

3.4.2 Кількісна оцінка експресії мікроРНК-1 (gno-miR-1) у таламусі та соматосенсорній корі щурів із експериментальною абсансною епілепсією та на різних етапах онтогенезу

Наявна в літературі інформація щодо експресії gno-miR-1 у кардіоміоцитах дозволила додатково обґрунтувати аналіз її коекспресії із субодиницею $Ca_v3.2$ НПКК. Кількість gno-miR-1 зростає при дозріванні кардіоміоцитів з ембріонального стану у дорослий [109]. В ході розвитку зміни відбуваються й у складі іонних каналів мембрани серцевих клітин, у тому числі й в кальцієвих каналах Т-типу. Неонатальні та ембріональні кардіоміоцити мишей експресують в основному $Ca_v3.2$, а дорослі знижують його кількість та збільшують експресію $Ca_v3.1$ [110]. Таким чином, порівняння цих даних дає додаткову можливість припускати взаємодію між gno-miR-1 та мРНК $Ca_v3.2$.

Для встановлення рівнів експресії gno-miR-1 застосовувалась кількісна ПЛР. Рівень gno-miR-1 у "кортикальному фокусі" визначався у 10-денних і 6-місячних контрольних щурів лінії Wistar та 6-місячних щурів лінії WAG/Rij. При визначенні експресії gno-miR-1 бралися ті ж самі зразки РНК, в яких було встановлено експресію мРНК субодиниці $Ca_v3.2$. В результаті аналізу ми виявили оберненопропорційне відношення рівнів gno-miR-1 та мРНК $Ca_v3.2$, при чому рівень gno-miR-1 у «кортикальному фокусі» соматосенсорної кори був знижений у 3 рази.

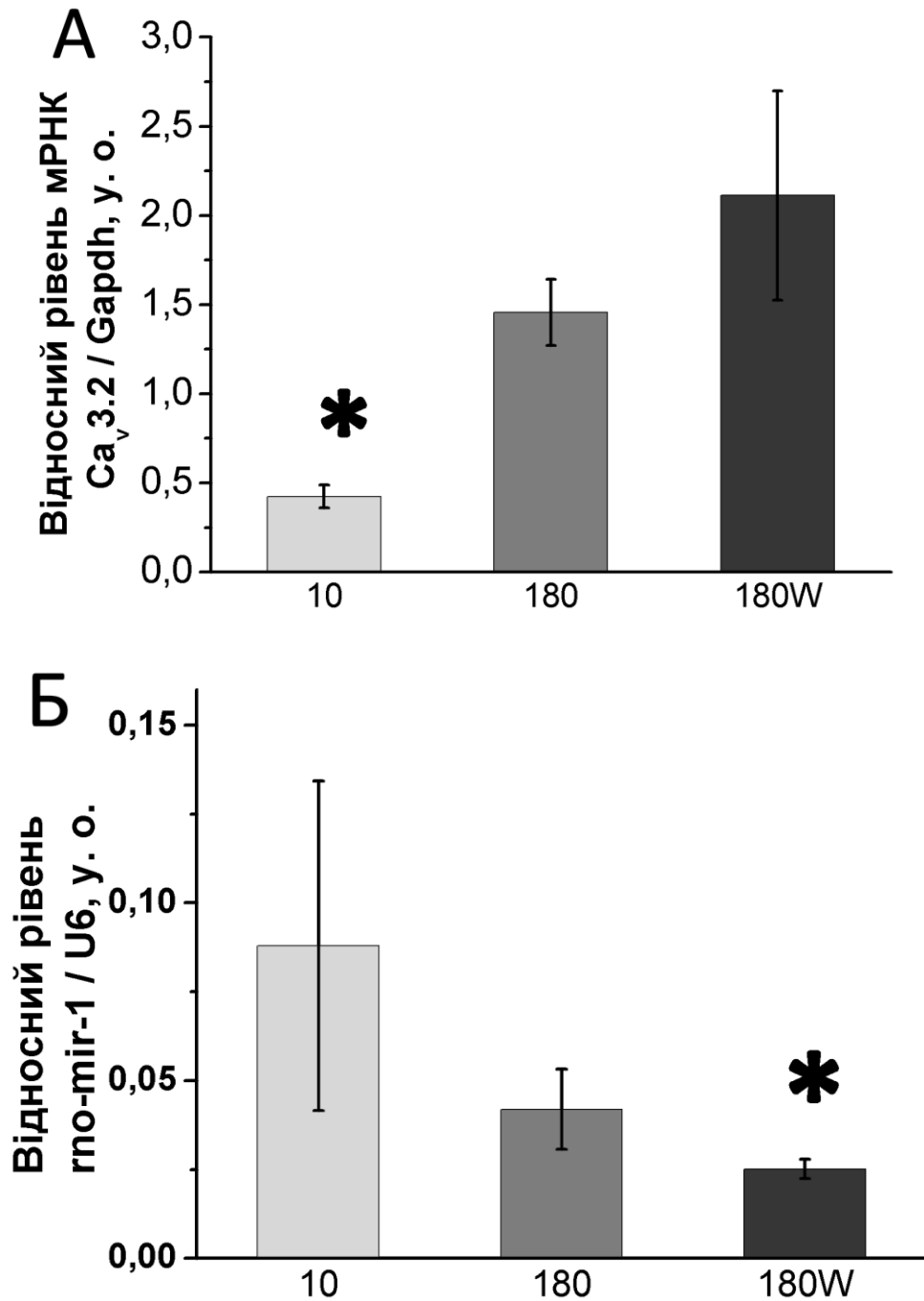


Рис. 3.18. Співставлення експресії мРНК $Ca_v3.2$ (А) та rno-miR-1 (Б) у «кортикальному» фокусі в нормі та моделі абсанс епілепсії. 10,180 – вік тварин у днях, W – лінія WAG/Rij * – група статистично значимо відрізнялася від інших груп, $p < 0,05$

Один із механізмів дії мікроРНК на мРНК полягає у дестабілізації мРНК шляхом деаденілювання поліА-хвоста,

відщеплення кепу та спрямовування мРНК у Р-тіляця, де вона зазнає деградації [44]. Цей процес залежить від наявності та кількості специфічної мікроРНК, тому чим вища експресія цієї РНК у клітині, тим більше цільових мРНК зі специфічними сайтами будуть зазнавати впливу та дестабілізуватися. Тому 3-разове пониження експресії досліджуваної gno-miR-1 у "кортикальному фокусі" може бути причиною виходу мРНК Ca_v3.2 з-під дестабілізуючого впливу даної мікроРНК, що призводить до підвищення кількості наявної в нервовій тканині мРНК Ca_v3.2 у щурів з абсансним фенотипом. Зареєстроване ж нами оберненопропорційне співвідношення між молекулярними рівнями gno-miR-1 та Ca_v3.2 слугує непрямим свідченням регуляції даної мРНК за допомогою gno-miR-1.

Щоб перевірити, чи не є знайдена закономірність характерною лише для щурів WAG/Rij, ми звернулися до наших даних щодо зміни експресії Ca_v3.2. Так, у латеродорзальному ядрі таламусу кількість мРНК була досить низькою, але її зміни з 10-го по 25-й день постнатального розвитку були суттєвими. Вимірявши кількість gno-miR-1, в результаті ми знову отримали обернене співвідношення між рівнями gno-miR-1 та мРНК Ca_v3.2 (Рис. 3.19.). При значному зменшенні у майже 6 разів кількості мРНК ізоформи Ca_v3.2 з 10-го до 25-го постнатального дня, рівень мікроРНК gno-miR-1 був приблизно в 3 рази більший на 25-й день, аніж на 10-й.

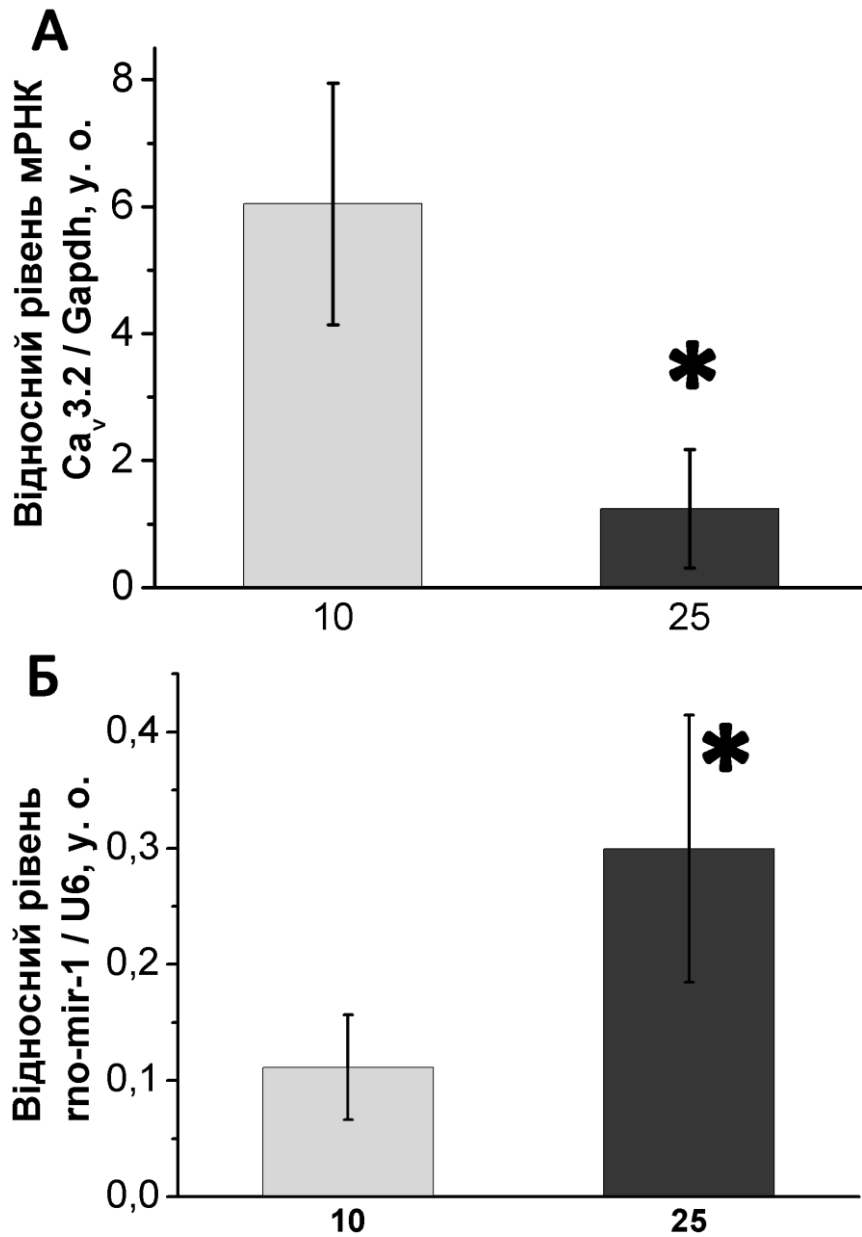


Рис. 3.19. Співставлення експресії мРНК $Ca_v3.2$ (А) та gno-miR-1 (Б) у латеродорзальному ядрі таламусу. 10, 25 – вік тварин у днях. * – група статистично значимо відрізнялася від інших груп, $p < 0,05$

Ці дані знову підтверджують можливість регуляції $Ca_v3.2$ за допомогою gno-miR-1, а також настановлюють на думку про універсальність регуляції експресії даного каналу за допомогою gno-miR-1 як в корі, так і в таламусі.

Однозначне доведення факту взаємодії між мікроРНК *gno-miR-1* і мРНК $Ca_v3.2$ можливо лише в системі *in vitro*. Для цього потрібно клонувати фрагмент геному щура, який містить ДНК *gno-miR-1*, до експресійного вектору, модифікувати наявний клон кДНК щурячої ізоформи $Ca_v3.2$ шляхом додавання до нього 3'-нетрансльованої ділянки цієї мРНК. Обидва вектори необхідно експресувати в гетерологічній системі експресії (наприклад, у клітинній лінії НЕК293), де оцінити зменшення щільності каналів на поверхні клітинної мембрани електрофізіологічно чи/та імунохімічно. Іншим сучасним підходом, який широко використовується, є різноманітні генетичні конструкції, що містять гени люциферази. Ці ферменти каталізують реакції відновлення люмінесцентного барвника (люциферину). До кодуючої частини гену люциферази додається 3'-нетрансльована ділянка досліджуваної мРНК, а потім отриманий вектор коекспресується з мікроРНК. Ступінь заглушення транскрипції вивчають за зміною інтенсивності люмінесценції.

3.5. Аналіз та узагальнення результатів

Низькопорогові кальцієві канали мають вкрай складний патерн експресії у часі та просторі, при зміні фізіологічного стану клітини та при патології. Не будучи єдиною причиною каналопатій, а тому не привертаючи до себе таку увагу, як серцевий калієвий канал *HERG* чи потенціалкеровані натрієві канали, вони, тим не менше, залучені до величезної кількості клітинних процесів. З того, що вже відомо про функції T-каналів, зрозуміло, що вони задіяні: 1) в тонкій регуляції мембранного потенціалу клітин, що є необхідною умовою для ритмогенезу в мозку та серці, активації потенціал-залежних натрієвих і калієвих каналів у нейронах і міоцитах судин;

2) у впусканні іонів кальцію в клітину в якості вторинних месенджерів для регуляції відкриття кальцієвого депо ендоплазматичного ретикулуму, стимуляції синаптичної передачі, активації експресії генів тощо.

В нашій роботі ми дослідили різні аспекти змін експресії генів кальцієвих каналів Т-типу в таламусі та ділянці соматосенсорної кори щурів. Нам не вдалося класифікувати нейрони релейних ядер за їх функцією та наявністю конкретних ізоформ Т-каналів, що свідчить про нелінійну картину і складну субклітинну локалізацію НПКК. Для бічного колінчастого ядра низка дослідників постулює таку класифікацію [14], але для латеродорзального ядра існують дослідження, що суперечать їй [61,103]. Наші результати також вказують на те, що для побудови реальної класифікації таламічних нейронів потрібні додаткові інструменти, окрім петч-клемпу, ПЛР для одиничних клітин та імунохімічних методів. Миші з нокаутіваними генами Ca_v3 також є проблемними з точки зору компенсаторних механізмів, що розвиваються у тварин починаючи з ембріогенезу [50]. Ми покладаємо надію на селективні блокатори ізоформ Т-каналів, а також на вдосконалення засобів адресної доставки малих інтерференційних РНК, які зможуть припинити роботу обраного каналу в певному ядрі таламуса в ході гострого експерименту. Разом із тим, ПЛР для РНК з однієї клітини залишається потужним методом дослідження фізіології окремих клітин, хоча й потрібно усвідомлювати його обмеження. Ми працювали з цитоплазмою окремих свіжовиділених нейронів таламуса, існує також підхід, що дозволяє аналізувати мРНК нейронів, що знаходяться у зрізі. Кожен з варіантів методу має свої недоліки. При роботі з ізольованими клітинами втрачаються

частини цитоплазми, які знаходяться в аксоні, дендритному дереві, синаптичних розширеннях, а з ними й певна кількість молекул мРНК, яка може знаходитися поблизу тієї частини мембрани, куди буде вбудований відповідний канал. У випадку збирання цитоплазми з клітини в зрізі мозку експериментатор не контролює процес візуально, а орієнтується лише за рівнем електричного контакту з мембраною досліджуваної клітини. Тому тут можлива і втрата цитоплазми клітини (помилково негативний результат), і забруднення проби цитоплазмою сусідніх клітин (помилково позитивний результат).

Незважаючи на те, що роль НПКК у таламусі досліджена досить ґрунтовно, зміни їх функції у ранньому постнатальному періоді вивчалися лише електрофізіологічно [61] [103], а молекулярно-біологічне підґрунтя залишалось невідомим. Нам вдалося показати, що в ЛД ядрі на високому рівні присутні мРНК $Ca_v3.1$ і $Ca_v3.3$, причому кількість $Ca_v3.1$ суттєво знижується між 10-м і 25-м постнатальними днями. Це може свідчити про участь ізоформи $Ca_v3.1$ у процесі формування синаптичних зв'язків у нейронах таламусу, який у щурів завершується в кінці другого тижня після народження. Роль кальцієвих каналів Т-типу в ембріональних і постембріональних клітинах відома не лише для мозку, але й для гладеньком'язових клітин кишечника, які експресують Ni^{2+} -чутливі Т-канали (ймовірно $Ca_v3.2$) у новонароджених щурів, але при цьому відсутні в тих же клітинах дорослих тварин [111]. Заміна одної ізоформи Т-каналів на іншу, як уже зазначалося, спостерігається під час раннього постнатального розвитку серця ссавців [112,113]. Наявність близького рівня мРНК ізоформ $Ca_v3.1$ і $Ca_v3.3$ виявило молекулярну основу швидкого й

повільного струму в нейронах ЛД. Втім коливання кількості кожного типу мРНК не дає можливості прямо пояснити зміну біофізичних характеристик Т-струму з віком процесом транскрипції. Високий рівень мРНК $Ca_v3.3$ на 10-й день не корелює з "повільним" Т-струмом, який з'являється лише після 17-го дня [61]. Тому ми припускаємо наявність невідомого поки додатково механізму, який блокує процес трансляції мРНК $Ca_v3.3$ до 14-17-го дня. Можливо, початок синтезу білка $Ca_v3.3$ через інший механізм негативного зворотного зв'язку впливає на транскрипцію мРНК $Ca_v3.1$, зменшуючи внесок цього каналу в загальний Т-струм. Подібна композиція ізоформ була показана раніше для бічного колінчастого та центрально-бічного ядер таламуса [107], хоча в задньовентральному ядрі спостерігали наявність лише ізоформи $Ca_v3.1$

Ступінь залучення кальцієвих каналів Т-типу до розвитку абсансного фенотипу щурів лінії WAG/Rij залишається невстановленою. На відміну від іншої спадкової лінії GAERS, де було показано наявність мутації, що впливає на сплайсинг мРНК кальцієвого каналу $Ca_v3.2$, генетичних змін у Т-каналах в цій лінії поки не виявлено [114]. Зміни в ЛД ядрі щурів зі спадковою моделлю абсансної епілепсії виявились неочікуваними. Зниження кількості мРНК ізоформи $Ca_v3.1$ та щільності Т-струму в нейронах лінії WAG/Rij протирічить прийнятому уявленню про збільшення експресії генів і амплітуди струмів через НПКК як основу генерації комплексів «пік-хвиля». Тим не менш, абсанси в щурів лінії WAG/Rij з'являються після трьохмісячного віку, а досягають максимальної частоти після шостого місяця. Ми припускаємо, що певний компенсаторний механізм може утримувати експресію генів

T-каналів на низькому рівні до пубертатного віку. Подібний ефект спостерігається в іншій моделі абсансної епілепсії – лінії щурів GAERS, де абсанси також з'являються пізно, після 10-го місяця життя, а рівень експресії генів НПКК також не відрізняється від контролю в ранньому постнатальному періоді [115]. Насьогодні біофізичний аналіз T-струмів у статевозрілих щурів методами електрофізіології утруднений, втім ця задача має братися до уваги з появою нових методів дослідження [116,117].

Дві інші зони, задіяні в генерації абсансів у щурів WAG/Rij – СЯ і «кортикальний фокус» з точки зору змін у T-каналах дали іншу цікаву знахідку. Порівняно з лінією Wistar, у СЯ у модельних щурів ми не знайшли суттєвих відмінностей у рівні експресії генів НПКК. Слід зазначити, що подібне порівняння щурів WAG/Rij з щурами лінії ACI виявило суттєве зростання рівня мРНК T-каналів у СЯ перших [107]. Проте експресія генів НПКК явно залежить від багатьох білкових та нуклеїнових факторів (транскрипційні фактори, протеїнкінази та фосфатази, які фосфорилують та дефосфорилують транскрипційні фактори, ферменти епігенетичної регуляції (метилтрансферази ДНК, ацетилази, деацетилази, SUMO-лігази, метилтрансферази пістонів), малі й великі некодуючі РНК, регуляторні послідовності ДНК (промотори, сайти сплайсингу, енхансери, репресори тощо), нуклеотидні послідовності яких у далеких лініях щурів можуть сильно варіювати. Ми вважаємо, що найбільш адекватним контролем є найближча до WAG/Rij інбредна лінія, а саме батьківська лінія Wistar. Тому можна казати про меншу залученність T-каналів СЯ у генерації абсансів, про що додатково свідчить той факт, що нанесення етосукциміду на СЯ не викликало

повного зникнення комплексів «пік-хвиля», а лише пригнічувало їх [87].

Проте в тому ж дослідженні етосукцимід (неселективний блокатор кальцієвого T-струму), нанесений на зону соматосенсорної кори, яка відповідає за верхню губу та вібриси та є першим у часі джерелом абсансної нервової активності, повністю прибирав циркуляцію комплексів «пік-хвиля» [87]. Наші дані щодо збільшення саме там рівня мРНК і білку Ca_v3.1 переконливо свідчать на користь саме кортикоталамічної теорії генезу абсансів у щурів лінії WAG/Rij та залучення кальцієвих каналів T-типу до формування абсансного фенотипу. Такий фенотип не є унікальним для досліджуваної моделі абсансної епілепсії: первинне джерело комплексів "пік-хвиля" спостерігали також у лінії щурів GAERS [118,119]. Цікаво, що саме підвищення рівня білку Ca_v3.1 призводить до абсанс-подібної активності в мишей, і при цьому кількість мРНК у мишачій моделі зростає і в корі [80]. Утім залишається відкритим питання, якою саме є функція Ca_v3.1 у кортикальних нейронах, оскільки подібні дослідження нам не відомі.

Ми встановили обернену залежність між кількістю мРНК Ca_v3.2 і мікроРНК gno-mir-1 у нервовій тканині ЛДЯ і "кортикального фокусу" щурів. Збільшення рівня мікроРНК gno-mir-1 у ЛДЯ з 10 до 25 дня відповідає зменшенню рівня мРНК Ca_v3.2, і навпаки: більша кількість мРНК Ca_v3.2 у корі дорослих щурів лінії WAG/Rij відносно 10-денних щурів Wistar супроводжувалася зниженням відносного рівня gno-mir-1. МікроРНК gno-mir-1 найбільше експресується в серці та скелетних м'язах, через що вважається "м'язовою" мікроРНК. Тим не менш, у корі головного

мозку мишей рівень *gno-mir-1* перевищує такий у печінці, селезінці чи нирках, та є приблизно в 200 разів нижче за серцевий [120]. Наше вивчення експресії *gno-mir-1* у мозку було ініційоване результатами біоінформаційного пошуку, але паралельно в наукових джерелах з'явилися результати досліджень щодо впливу гіперекспресії цієї мікроРНК в серці на функції нервової системи та головного мозку. *Mir-1* виявилась задіяною в передачі больового сигналу через сенсорні ганглії до спинного мозку в мишей [121], активації апоптозу нейронів під дією гіпоксії [122]. Також було показано пригнічення синтезу транскрипційних факторів BDNF та CREB у гіпокампі мишей, у яких було штучно викликано гіперекспресію мікроРНК *mir-1* в серці [108]. Дослідники виявили підвищений рівень зрілих та пре-мікроРНК у нейронах гіпокампу, проте залишається неясним, чи таке підвищення відбувається за рахунок власної продукції *mir-1*, або шляхом транспорту з серця до мозку. Автори дослідження схиляються до другого варіанту, хоча механізми такого транспорту досі не вивчені. МікроРНК *mir-1* закодована в 12-му екзоні гена *mib-1* ("mind bomb"), продукт якого є убіквітин-лігазою, що виконує важливу роль у Notch-сигналізації всередині клітини [123]. Notch-рецептори та пов'язані з ними білки необхідні для пластичності дорослого мозку, тому ген *mib-1* активно транскрибується в різних відділах мозку, що призводить і до додаткової появи *mir-1*. Незалежне збільшення кількості *mir-1* в мозку впливало на когнітивні порушення у піддослідних тварин

Всі викладені результати вказують на те, що попереду в нейрофізіологів ще багато нерозв'язаних питань щодо регуляції експресії генів кальцієвих каналів T-типу. Відомі транскрипційні фактори пояснюють лише невелику частину змін, які

спостерігаються. Високий рівень транскрипції $Ca_v3.1$ у таламусі залежить від комплексу LEF1/ β -катенін, але нічого не відомо щодо причини зміни в його регуляції [33]. Ми переконані, що РНК-інтерференція може впливати на диференційну регуляцію кожної з ізоформ. Цікаво, що 3'-нетрансльовані ділянки мРНК кожного з генів Ca_v3 не тільки дуже поліморфні за послідовністю, але й за довжиною. Це значить, що кожен з Т-каналів може регулюватися різними мікроРНК. Ми виявили лише першу потенційну мікроРНК для $Ca_v3.2$, але, без сумніву, таких регуляторних мікроРНК для кальцієвих каналів Т-типу існує значно більше.

ВИСНОВКИ

У дисертації наведено результати власного дослідження змін експресії генів кальцієвих каналів Т-типу в таламусі та соматосенсорній корі щура в онтогенезі та за умов експериментальної моделі абсансної епілепсії у щурів лінії WAG/Rij та розглянуто роль РНК-інтерференції у регуляції цих змін.

1. Розроблено модифікацію методу оцінки експресії генів у окремих нейронах ЦНС за допомогою полімеразної ланцюгової реакції та зворотної транскрипції. Як гальмівні ГАМК-ергічні так і збуджувальні глутаматергічні нейрони таламусу експресують мРНК $Ca_v3.1$, $Ca_v3.2$, $Ca_v3.3$, причому більшість нейронів експресує мРНК 2-х чи 3-х субодиниць одночасно. Т-струми у гальмівних та збуджувальних нейронах відрізняються за електрофізіологічними властивостями несуттєво.
2. Рівень експресії мРНК низькопорогових кальцієвих каналів знижується з 10 до 25 дня постнатального розвитку у латеродорзальному ядрі мозку щура: експресія мРНК $Ca_v3.1$ та $Ca_v3.3$ до десятого дня знаходиться на співставному рівні, тоді як кількість мРНК $Ca_v3.2$ значно нижча. На 25-й день значно зменшується рівень мРНК $Ca_v3.1$ та $Ca_v3.2$, а $Ca_v3.3$ майже не змінюється.
3. У тканині соматосенсорної кори, що відповідає за верхню губу та вібриси щурів лінії WAG/Rij у віці 6 місяців спостерігається збільшена експресія мРНК ізоформи Т-каналів $Ca_v3.1$ у 2,5 рази та збільшена кількість білка у 2,1 рази, порівняно зі щурами контрольної лінії Wistar. Для 10- і 25-денних щурів WAG/Rij показано зменшення експресії мРНК $Ca_v3.1$ та $Ca_v3.2$ субодиниць Т-каналів та зниження Т-струмів у нейронах

латеродорзального ядра таламусу на 43% порівняно з контрольними щурами.

4. Збільшення експресії мікроРНК gno-mir-1 супроводжується зменшенням експресії мРНК каналу $Ca_v3.2$ у нормальних щурів та щурів зі спадковими абсансами.

СПИСОК ВИКОРИСТАНИХ ДЖЕРЕЛ

1. The Physiology, Pathology, and Pharmacology of Voltage-Gated Calcium Channels and Their Future Therapeutic Potential / G. Zamponi, J. Striessnig, A. Koschak [et al.] // *Pharmacology Review*. – 2015. – № 5. – P. 821–870
2. Bessaïh T. T current potentiation increases the occurrence and temporal fidelity of synaptically evoked burst firing in sensory thalamic neurons / T. Bessaïh, N. Leresche, R.C. Lambert // *Proceeding of National Academy of Sciences of the U. S. A.* – 2008. – № 32. – P. 11376–11381
3. Perez-Reyes E. Molecular physiology of low-voltage-activated T-type calcium channels / E. Perez-Reyes // *Physiology Review* – 2003. – № 1. – P. 117–161
4. CACNA1H mutations in autism spectrum disorders / I. Splawski, D.S. Yoo, S.C. Stotz [et al.] // *Journal of Biological Chemistry*. – 2006. – № 31. – P. 22085–22091
5. Recurrent gain of function mutation in calcium channel CACNA1H causes early-onset hypertension with primary aldosteronism / U.I. Scholl, G. St??lting, C. Nelson-Williams [et al.] // *Elife*. – 2015. – № 4. – P. 1–22
6. Waxman S.G. Regulating excitability of peripheral afferents: emerging ion channel targets / Stephen G Waxman, Gerald W Zamponi // *Nature Neuroscience*. – 2014. – № 2. – P. 153–163
7. Functional coupling between large-conductance potassium channels and Cav3.2 voltage-dependent calcium channels participates in prostate cancer cell growth / F. Gackière, M. Warnier, M. Katsogiannou [et al.] // *Biology Open*. – 2013. – № 9. – P. 941–951
8. T-type Ca²⁺ channel inhibition induces p53-dependent cell growth arrest and apoptosis through activation of p38-MAPK in colon cancer cells /

- B. Dziegielewska, D.L. Brautigam, J.M. Larner [et al.] // *Molecular Cancer Research*. – 2014. – № 3. – P. 348–358
9. Familial occurrence of epilepsy in children with newly diagnosed multiple seizures: Dutch Study of Epilepsy in Childhood / P.M. Callenbach, A. T. Geerts, W.F.M. Arts [et al.] // *Epilepsia*. – 1998. – № 3. – P. 331–336
 10. Long-term seizure remission in childhood absence epilepsy: Might initial treatment matter? / A.T. Berg, S.R. Levy, F.M. Testa [et al.] // *Epilepsia*. – 2014. – № 4. – P. 551–557
 11. The outcome of absence epilepsy: a meta-analysis / P. A. Bouma, R. G. Westendorp, J. G. van Dijk [et al.] // *Neurology*. – 1996. – № 3. – P. 802–808
 12. Selective increase in T-type calcium conductance of reticular thalamic neurons in a rat model of absence epilepsy / E. Tsakiridou, L. Bertollini, M. de Curtis [et al.] // *Journal of Neuroscience*. – 1995. – № 4. – P. 3110–3117
 13. Coenen A.M.L. Genetic Animal Models for Absence Epilepsy: A Review of the WAG/Rij Strain of Rats / A. M. L. Coenen, E. L. J. M. Van Luijtelaar // *Behavioural Genetics*. – 2003. – № 6. – P. 635–655
 14. Specific expression of low-voltage-activated calcium channel isoforms and splice variants in thalamic local circuit interneurons / T. Broicher, T. Kanyshkova, P. Landgraf [et al.] // *Molecular and Cellular Neuroscience* – 2007. – № 2. – P. 132–145
 15. CNTF-evoked activation of JAK and ERK mediates the functional expression of T-type Ca²⁺ channels in chicken nodose neurons / T. Trimarchi, J. Pachuau, A. Shepherd [et al.] // *Journal of Neurochemistry*. – 2009. – № 1. – P. 246–259
 16. Шуба Я.М. Основи молекулярної фізіології іонних каналів:

- Навчальний посібник / Я.М. Шуба. – Київ: Наукова думка, 2010. – 448 с.: іл.
17. Lipscombe D. Alternative splicing: functional diversity among voltage-gated calcium channels and behavioral consequences / D. Lipscombe, A. Andrade, S.E. Allen // *Biochimica Biophysica Acta*. – 2013. – № 7. – P. 1522–1529
 18. Holmgren M. Regulation of Ion Channel and Transporter Function Through RNA Editing / M. Holmgren, J. C. Rosenthal // *RNA Editing*. – 2013. – P. 1–16
 19. Differential distribution of three members of a gene family encoding low voltage-activated (T-type) calcium channels / E. M. Talley, L. L. Cribbs, J. H. Lee [et al.] // *Journal of Neuroscience*. – 1999. – № 6. – P. 1895–1911
 20. Веселовский Н.С. Два типа кальциевых каналов в соматической мембране нейронов спинальных ганглиев крыс / Н. С. Веселовский, С. А. Федулова // *Доклады АН СССР*. – 1983. – № 3. – P. 747
 21. Fedulova S.A. Two types of calcium channels in the somatic membrane of new-born rat dorsal root ganglion neurones / S.A. Fedulova, P.G. Kostyuk, N.S. Veselovsky // *Journal of Physiology*. – 1985. – P. 431–446
 22. Cloning and Characterization of alpha1H From Human Heart, a Member of the T-Type Ca²⁺ Channel Gene Family / L.L. Cribbs, J. Lee, J. Yang [et al.] // *Circulation Research*. – 1998. – P. 103–109
 23. Molecular characterization of a neuronal low-voltage-activated T-type calcium channel / E. Perez-Reyes, L.L. Cribbs, a Daud [et al.] // *Nature*. – 1998. – № 6670. – P. 896–900
 24. Cloning and expression of a novel member of the low voltage-activated T-type calcium channel family / J. Lee, A. N. Daud, L. Cribbs [et al.] //

- Journal of Neuroscience. – 1999. – № 6. – P. 1912–1921
25. T-type channels become highly permeable to sodium ions using an alternative extracellular turret region (s5-p) outside the selectivity filter / A. Senatore, W. Guan, A.N. Boone [et al.] // Journal of Biological Chemistry. – 2014. – № 17. – P. 11952–11969
 26. Moran Y. The evolution of the four subunits of voltage-gated calcium channels: Ancient roots, increasing complexity, and multiple losses / Y. Moran, H. H. Zakon // Genome Biology and Evolution. – 2014. – № 9. – P. 2210–2217
 27. Perez-Reyes E. Molecular characterization of T-type calcium channels / E. Perez-Reyes // Cell Calcium. – 2006. – № 2. – P. 89–96
 28. Alternative splicing within the I-II loop controls surface expression of T-type Cav3.1 calcium channels / A. Shcheglovitov, I. Vitko, I. Bidaud [et al.] // Federation of European Biochemical Societies Letters. – 2008. – № 27. – P. 3765–3770
 29. Splice-variant changes of the Ca(V)3.2 T-type calcium channel mediate voltage-dependent facilitation and associate with cardiac hypertrophy and development / L.S. David, E. Garcia, S.M. Cain [et al.] // Channels (Austin). – 2010. – № 5. – P. 375–389
 30. Murbartian J. Functional Impact of Alternative Splicing of Human T-Type Cav3.3 Calcium Channels / J. Murbartian, J.M. Arias, E. Perez-Reyes // Journal of Neurophysiology. – 2004. – № 6. – P. 3399–3407
 31. A critical GxxxA motif in the gamma6 calcium channel subunit mediates its inhibitory effect on Cav3.1 calcium current / Z. Lin, K. Witschas, T. Garcia [et al.] // Journal of Physiology. – 2008. – № Pt 22. – P. 5349–5366
 32. Connelly W.M. The global spike: Conserved dendritic properties enable unique Ca²⁺ spike generation in low-threshold spiking neurons /

- W.M. Connelly, V. C. Crunelli, A.C. Errington // *Journal of Neuroscience*. – 2015. – № 47. – P. 15505–15522
33. LEF1/beta-catenin complex regulates transcription of the Cav31 calcium channel gene (*Cacna1g*) in thalamic neurons of the adult brain / M.B. Wisniewska, K. Misztal, W. Michowski [et al.] // *Journal of Neuroscience*. – 2010. – № 14. – P. 4957–4969
34. Regulation of T-type Cav3.1 channels expression by synthetic glucocorticoid dexamethasone in neonatal cardiac myocytes / F. BenMohamed, L. Ferron, Y. Ruchon [et al.] // *Molecular and Cellular Biochemistry*. – 2009. – № 1-2. – P. 173–183
35. Transcription Factor Sp1 Regulates T-Type Ca(2+) Channel CaV3.1 Gene Expression / R. González-Ramírez, E. Martínez-Hernández, A. Sandoval [et al.] // *Journal of Cellular Physiology*. – 2014. – № 5. – P. 551–560
36. Transcription factors Csx/Nkx25 and GATA4 distinctly regulate expression of Ca²⁺ channels in neonatal rat heart / Y. Wang, M. Morishima, M. Zheng [et al.] // *Journal of Molecular and Cellular Cardiology*. – 2007. – № 6. – P. 1045–1053
37. 17 beta-estradiol modulates expression of low-voltage-activated Ca(V)3.2 T-type calcium channel via extracellularly regulated kinase pathway in cardiomyocytes / F. Marni, Y. Wang, M. Morishima [et al.] // *Endocrinology*. – 2009. – № 2. – P. 879–888
38. Transcriptional regulation of T-type calcium channel CaV3.2: Bidirectionality by early growth response 1 (Egr1) and repressor element 1 (RE-1) protein-silencing transcription factor (REST) / K.M.J. Van Loo, C. Schaub, K. Pernhorst [et al.] // *Journal of Biological Chemistry*. – 2012. – № 19. – P. 15489–15501
39. Long-term and immediate effect of testosterone on single T-type calcium

- channel in neonatal rat cardiomyocytes / G. Michels, F. Er, M. Eicks [et al.] // *Endocrinology*. – 2006. – № 11. – P. 5160–5169
40. Exposure to cAMP and beta-adrenergic stimulation recruits Ca(V)₃ T-type channels in rat chromaffin cells through Epac cAMP-receptor proteins / M. Novara, P. Baldelli, D. Cavallari [et al.] // *Journal of Physiology*. – 2004. – № 2. – P. 433–449
41. Low-Threshold Exocytosis Induced by cAMP-Recruited CaV_{3.2} (α 1H) Channels in Rat Chromaffin Cells / A. Giaccipoli, M. Novara, A. de Luca [et al.] // *Biophysical Journal*. – 2006. – № 5. – P. 1830–1841
42. Distribution of miRNA expression across human tissues / N. Ludwig, P. Leidinger, K. Becker [et al.] // *Nucleic Acids Research*. – 2016. – № 8. – P. 1–13
43. MicroRNA biogenesis, functionality and cancer relevance / B. Kusenda, M. Mraz, J. Mayer [et al.] // *Biomedical Papers of Medical Faculty of University Palacky Olomouc Czech Republic*. – 2006. – № 2. – P. 205–215
44. Mammalian microRNAs predominantly act to decrease target mRNA levels / H. Guo, N.T. Ingolia, J.S. Weissman [et al.] // *Nature*. – 2010. – № 7308. – P. 835–840
45. Houser S.R. Ca²⁺ signaling domains responsible for cardiac hypertrophy and arrhythmias / S.R. Houser // *Circular Research*. – 2009. – № 4. – P. 413–415
46. Iftinca M.C. Neuronal T-type calcium channels: what's new? Iftinca: T-type channel regulation / M.C. Iftinca // *Journal of Medicine and Life*. – 2011. – № 2. – P. 126–138
47. Bradycardia and slowing of the atrioventricular conduction in mice lacking CaV_{3.1}/ α 1G T-type calcium channels / M. E. Mangoni, A. Traboulsie,

- A. L. Leoni [et al.] // *Circular Research*. – 2006. – № 11. – P. 1422–1430
48. Perez-Reyes E. Molecular Pharmacology of Human Cav3.2 T-Type Ca²⁺ Channels : Block by Antihypertensives , Antiarrhythmics , and Their Analogs / E. Perez-Reyes, A.L. Van Deusen, I. Vitko. // *Journal of Pharmacology and Experimental Therapeutics*. – 2009. – № 2. – P. 621–627
49. CaV1.2/CaV3.x channels mediate divergent vasomotor responses in human cerebral arteries / O.F. Harraz, F. Visser, S.E. Brett [et al.] // *Journal of General Physiology*. – 2015. – № 5. – P. 405–418
50. Hansen P. B. L. Functional importance of T-type voltage-gated calcium channels in the cardiovascular and renal system : news from the world of knockout mice / P. B. L. Hansen. // *American Journal of Physiology – Regulatory, Integrative and Comparative Physiology*. – 2015. – P. 227–237
51. Pluteanu F. Regulation and function of Cav31 T-type calcium channels in IGF-I-stimulated pulmonary artery smooth muscle cells / Florentina Pluteanu, Leanne L Cribbs // *American Journal of Physiology. Cell Physiology*. – 2011. – № 3. – P. C517–C525
52. Cav3.2 T-type calcium channel is required for the NFAT-dependent Sox9 expression in tracheal cartilage / S.S. Lin, B.H. Tzeng, K.R. Lee [et al.] // *Proceeding of National Academy of Sciences of the U. S. A.* – 2014. – № 19. – P. 1990–1998
53. Senatore A. Gene transcription and splicing of T-type channels are evolutionarily-conserved strategies for regulating channel expression and gating / A.Senatore, J. D. Spafford // *PLoS One*. – 2012. – № 6. – P. e37409
54. Cholinergic afferent stimulation induces axonal function plasticity in adult hippocampal granule cells / K. Martinello, Z. Huang, R. Lujan [et al.] //

- Neuron. – 2015. – № 2. – P. 346–363
55. Silencing of the Cav3.2 T-type calcium channel gene in sensory neurons demonstrates its major role in nociception / E. Bourinet, A. Alloui, A. Monteil [et al.] // European Molecular Biology Organization Journal. – 2005. – № 2. – P. 315–324
 56. Upregulation of T-type Ca²⁺ channels in long-term diabetes determines increased excitability of a specific type of capsaicin-insensitive DRG neurons / D.E. Duzhyy, V.Y. Viatchenko-Karpinski, E. V Khomula [et al.] // Mol. Pain. – 2015. – P. 29
 57. Calcium-permeable ion channels in pain signaling / E. Bourinet, C. Altier, M.E. Hildebrand [et al.] // Physiological Review. – 2014. – № 1. – P. 81–140
 58. O'Dell T.J. Single calcium channels in rat and guinea-pig hippocampal neurons / T J O'Dell, B E Alger // Journal of Physiology. – 1991. – № 436. – P. 739–767
 59. Fedulova S.A. Comparative analysis of ionic currents in the somatic membrane of embryonic and newborn rat sensory neurons / S.A. Fedulova, P.G. Kostyuk, N.S. Veselovsky // Neuroscience. – 1994. – № 2. – P. 341–346
 60. The Ca_v3.3 calcium channel is the major sleep spindle pacemaker in thalamus / S. Astori, R.D. Wimmer, H.M. Prosser [et al.] // Proceedings of National Academy of Sciences of the U. S. A. – 2011. – № 33. – P. 13823–13828
 61. Two types of low-voltage-activated Ca²⁺ channels in neurones of rat laterodorsal thalamic nucleus / A. N. Tarasenko, P. G. Kostyuk, A. V. Eremin [et al.] // Journal of Physiology. – 1997. – P. 77–86
 62. Snutch T.P. Contributions of T-type calcium channel isoforms to neuronal

- firing / Terrance P. Snutch, Stuart M. Cain // *Channels* (Austin). – 2010. – № 6. – P. 475–482
63. Sherman S.M. The role of the thalamus in the flow of information to the cortex / S Murray Sherman, R W Guillery // *Philosophical Transactions of the Royal Society of London Series B. Biological Sciences*. – 2002. – № 1428. – P. 1695–1708
64. Branching Thalamic Afferents Link Action and Perception / R.W. Guillery [et al.] // *Journal of Neurophysiology*. – 2003. – № 2. – P. 539–548
65. Cheong E. T-type Ca²⁺ channels in absence epilepsy / Eunji Cheong, Hee-Sup Shin // *Pflugers Archives*. – 2014. – № 7. – P. 719–734
66. Cheong E. T-type Ca²⁺ channels in absence epilepsy / Eunji Cheong, Hee-Sup Shin // *Biochimica Biophysica Acta*. – 2013. – № 7. – P. 1560–1571
67. Shin H.-S. T-type Ca²⁺ channels and absence epilepsy / H.-S. Shin // *Cell Calcium*. – 2006. – № 2. – P. 191–196
68. Liu X.B. Low-threshold calcium channel subunit Cav3.3 is specifically localized in GABAergic neurons of rodent thalamus and cerebral cortex / X.B. Liu, K.D. Murray, E.G. Jones // *Journal of Computational Neurology*. – 2011. – № 6. – P. 1181–1195
69. Almog M. Characterization of voltage-gated Ca²⁺ conductances in layer 5 neocortical pyramidal neurons from rats / Mara Almog, Alon Korngreen // *PLoS One*. – 2009. – № 4. – P. e4841
70. Presynaptic HCN1 channels regulate Cav3.2 activity and neurotransmission at select cortical synapses / Z. Huang, R. Lujan, I. Kadurin [et al.] // *Nature Neuroscience*. – 2011. – № 4. – P. 478–486
71. Ni(2+)-sensitive T-type Ca(2+) channel currents are regulated in parallel with synaptic and visual response plasticity in visual cortex / S. Horibe, E. Tarusawa, Y. Komatsu [et al.] // *Neuroscience Research*. – 2014. – № 1.

- P. 32–39.
72. Tenney J.R. The Current State of Absence Epilepsy: Can We Have Your Attention? / Jeffrey R Tenney, Tracy A Glauser // *Current Reviews in Clinical Science*. – 2013. – № 3. – P. 135–140
 73. Microstructural Changes in Absence Seizure Children : A Diffusion Tensor Magnetic Resonance Imaging Study / J. Liang, S. Lee, B. Pulli [et al.] // *Pediatrics and Neonatology*. – 2015. – № 252. – P. 1–8
 74. Genetics of the Epilepsies / G. Beck-Mannagetta, V. E. Anderson, H. Doose [et al.] – Berlin: Springer, 1989. – 352 p.
 75. Maheshwari A. Monogenic models of absence epilepsy windows into the complex balance between inhibition and excitation in thalamocortical microcircuits / A. Maheshwari, J.L. Noebels // *Progress in Brain Research*. – 2014. – № C. – 223-252 P.
 76. Nelson M.T. The role of T-type calcium channels in epilepsy and pain / M.T. Nelson, S.M. Todorovic, E. Perez-Reyes // *Current Pharmaceutical Design*. – 2006. – № 18. – P. 2189–2197
 77. Association between genetic variation of CACNA1H and childhood absence epilepsy / Y. Chen, J. Lu, H. Pan [et al.] // *Annals of Neurology*. – 2003. – № 2. – P. 239–243
 78. Mechanisms by which a CACNA1H mutation in epilepsy patients increases seizure susceptibility / V.-S. Eckle, A. Shcheglovitov, I. Vitko [et al.] // *Journal of Physiology*. – 2014. – № 4. – P. 795–809
 79. Vitko I. Functional Characterization and Neuronal Modeling of the Effects of Childhood Absence Epilepsy Variants of CACNA1H, a T-Type Calcium Channel / I. Vitko // *Journal of Neuroscience*. – 2005. – № 19. – P. 4844–4855
 80. Genetic Enhancement of Thalamocortical Network Activity by Elevating

- α 1G-Mediated Low-Voltage-Activated Calcium Current Induces Pure Absence Epilepsy / W.L. Ernst, Y. Zhang, J.W. Yoo [et al.] // *Journal of Neuroscience*. – 2009. – № 6. – P. 1615–1625
81. Maheshwari A., Noebels, J. L. Monogenic models of absence epilepsy / A. Maheshwari, J. L. Noebels // *Genetics of epilepsy*. – New York, 2014. – P. 223–252
82. Development of a New Genetic Model for Absence Epilepsy : Spike-Wave Seizures in C3H / He and Backcross Mice / W.N. Frankel, B. Beyer, C.R. Maxwell [et al.] // *Journal of Neuroscience*. – 2005. – № 13. – P. 3452–3458
83. Nucleus basalis lesions subpress spike and wave discharges in rats with spontaneous absence-epilepsy / L. Danover, M. Vergnes, A. Depaulis [et al.] // *Neuroscience*. – 1994. – № 3. – P. 531–539
84. Pathophysiological mechanisms of genetic absence epilepsy in the rat / L. Danover, C. Deransart, A. Depaulis [et al.] // *Progress in Neurobiology*. – 1998. – № 1. – P. 27–57
85. Intracellular recordings in thalamic neurones during spontaneous spike and wave discharges in rats with absence epilepsy / D. Pinault, N. Leresche, S. Charpier [et al.] // *Journal of Physiology*. – 1998. – № 2. – P. 449–456
86. The Genetic Absence Epilepsy Rat from Strasbourg (GAERS), a Rat Model of Absence Epilepsy : Computer Modeling and Differential Gene Expression / B. Lakaye, E. Thomas, A. Minet [et al.] 2002. // *Epilepsia*. – № 7. – P. 123–129
87. Sitnikova E. Electroencephalographic characterization of spike-wave discharges in cortex and thalamus in WAG/Rij rats / Evgenia Sitnikova, Gilles Van Luijtelaar // *Epilepsia*. – 2007. – № 12. – P. 2296–2311
88. Highlights in the History of Epilepsy: The Last 200 Years / E. Magiorkinis,

- A. Diamantis, K. Sidiropoulou [et al.] // *Epilepsy Research and Treatment*. – 2014. – №1. – P. 1-13
89. Hudson A. J. Consciousness: physiological dependence on rapid memory access / A. J. Hudson // *Frontiers in Biosciences*. – 2009. – №14. – P. 2779–2800
90. Evolving concepts on the pathophysiology of absence seizures: the cortical focus theory / H. Meeren, G. van Luijtelaar, F. Lopes da Silva [et al.] // *Archives of Neurology*. – 2005. – № 3. – P. 371–376
91. Cortical focus drives widespread corticothalamic networks during spontaneous absence seizures in rats / H. K. M. Meeren, J. P. M. Pijn, E. L. J. M. Van Luijtelaar [et al.] // *Journal of Neuroscience*. – 2002. – № 4. – P. 1480–1495
92. Paxinos G. *The Rat Brain in Stereotaxic Coordinates* / G. Paxinos, C. Watson. – New York: Academic Press, 1998. – 237 p.
93. Kramer M.F. Stem-Loop RT-qPCR for miRNAs / M.F. Kramer // *Current Protocols in Molecular Biology*. – 2011. – № 1. –P. 1–22
94. Real-time quantification of microRNAs by stem-loop RT-PCR / C. Chen, D.A. Ridzon, A.J. Broomer [et al.] // *Nucleic Acids Research*. – 2005. – № 20. – P. 1–9
95. Immunodetection of alpha1E voltage-gated Ca²⁺ channel in chromogranin-positive muscle cells of rat heart, and in distal tubules of human kidney / M. Weiergräber, A. Pereverzev, R. Vajna [et al.] // *Journal of Histochemistry and Cytochemistry*. – 2000. – № 6. – P. 807–819
96. Membrane and firing properties of glutamatergic and GABAergic neurons in the rat medial vestibular nucleus / T. Takazawa, Y. Saito, K. Tsuzuki [et al.] // *Journal of Neurophysiology*. – 2004. – №5. – P. 3106–3120
97. CaV3 T-type calcium channel isoforms differentially distribute to somatic

- and dendritic compartments in rat central neurons / B.E. McKay, J.E. McRory, M.L. Molineux [et al.] // *European Journal of Neuroscience*. – 2006. – № 9. – P. 2581–2594
98. AMPA receptor subunits expressed by single purkinje cells / B. Lambolez, E. Audinat, P. Bochet [et al.] // *Neuron*. – 1992. – № 2. – P. 247–258
99. Single cell RT-PCR proceeds without the risk of genomic DNA amplification / F.F. Johansen, B. Lambolez, E. Audinat [et al.] // *Neurochemistry International*. – 1995. – № 3. – P. 239–243
100. Влияние N-3-метиладенина на пептидазную и рибонуклеазную активность протеасомы / В.Є. Досенко, В.Ю. Загорий, В.С. Нагибин [та ін.] // *Український біохімічний журнал*. – 2005. – № 5. – P. 52–56
101. Steriade M. Impact of network activities on neuronal properties in corticothalamic systems / M. Steriade // *Journal of Neurophysiology*. – 2001. – № 1. – P. 1–39
102. Pinault D. The thalamic reticular nucleus: structure, function and concept / D. Pinault // *Brain Research Reviews*. – 2004. – № 1. – P. 1–31
103. Contrasting the effects of nifedipine on subtypes of endogenous and recombinant T-type Ca²⁺ channels / A. Shcheglovitov, T. Zhelay, Y. Vitko [et al.] // *Biochemical Pharmacology*. – 2005. – № 5. – P. 841–854
104. Dendritic targeting of short and long 3' UTR BDNF mRNA is regulated by BDNF or NT-3 and distinct sets of RNA-binding proteins / A. Vicario, A. Colliva, A. Ratti [et al.] // *Frontiers of Molecular Neuroscience*. – 2015. – № 10. – P. 62
105. Angelica M.D. MicroRNA and mRNA Cargo of Extracellular Vesicles from Porcine Adipose Tissue-Derived Mesenchymal Stem Cells / M. D. Angelica, Y. Fong // *Surgery*. – 2008. – № 4. – P. 520–529
106. Functional Specialization of Presynaptic Cav2.3 Ca²⁺ Channels. /

- D. Dietrich, T. Kirschstein, M. Kukley [et al.] // *Neuron*. – 2003. – № 3. – P. 483–496
107. Correlation of T-channel coding gene expression, IT, and the low threshold Ca²⁺ spike in the thalamus of a rat model of absence epilepsy. / T. Broicher, T. Kanyshkova, P. Meuth [et al.] // *Molecular and Cellular Neuroscience* – 2008. – № 3. – P. 384–399
108. Cardiac over-expression of microRNA-1 induces impairment of cognition in mice / J.C. Ma, M.J. Duan, L.L. Sun [et al.] // *Neuroscience*. – 2015. – № 1. – P. 66–78
109. Multifaceted roles of miR-1s in repressing the fetal gene program in the heart / Y. Wei, S. Peng, M. Wu [et al.] // *Cell Research*. – 2014. – № 3. – P. 278–292
110. Mesirca P. T-type channels in the sino-atrial and atrioventricular pacemaker mechanism / P. Mesirca, A.G. Torrente, M.E. Mangoni // *Pflugers Archives. European Journal of Physiology*. – 2014. – № 4. – P. 791–799
111. Smirnov S. V Potential-dependent inward currents in single isolated smooth muscle cells of the rat ileum / S. V Smirnov, A. V Zholos, M.F. Shuba // *Journal of Physiology*. – 1992. – № 437. – P. 549–571
112. Different distribution of Cav3.2 and Cav3.1 transcripts encoding T-type Ca(2+) channels in the embryonic heart of mice / E. Mizuta, M. Shirai, K. Arakawa [et al.] // *Biomedical Research*. – 2010. – № 5. – P. 301–305
113. Cribbs L. T-type calcium channel expression and function in the diseased heart / L. Cribbs // *Channels (Austin)*. – 2010. – № 6. – P. 447–452
114. Neurobiology of Disease A Cav3.2 T-Type Calcium Channel Point Mutation Has Splice-Variant-Specific Effects on Function and Segregates with Seizure Expression in a Polygenic Rat Model of Absence Epilepsy / K.L. Powell, S.M. Cain, C. Ng [et al.] 2009. – № 2. – P. 371–380

115. Low-voltage-activated calcium channel subunit expression in a genetic model of absence epilepsy in the rat / E.M. Talley, G. Solórzano, A. Depaulis [et al.] // *Brain Research. Molecular Brain Research.* – 2000. – № 1. – P. 159–165
116. Brewer G.J. Isolation and culture of adult rat hippocampal neurons / G.J. Brewer // *Journal of Neuroscience. Methods.* – 1997. – № 2. – P. 143–155
117. Brewer G.J. Isolation and culture of adult neurons and neurospheres / G. J. Brewer, J. R. Torricelli // *Nature Protocols.* – 2007. – № 6. – P. 1490–1498
118. Localized cortical injections of ethosuximide suppress spike-and-wave activity and reduce the resistance to kindling in genetic absence epilepsy rats (GAERS) / R. Aker, K. Tezcan, N. Tarpak [et al.] // *Epilepsy Research.* – 2010. – № 1. – P. 7–16
119. Inactivation of the somatosensory cortex prevents paroxysmal oscillations in cortical and related thalamic neurons in a genetic model of absence epilepsy / P.O. Polack, S. Mahon, M. Chavez [et al.] // *Cerebral Cortex.* – 2009. – № 9. – P. 2078–2091
120. RT-PCR-based analysis of microRNA (miR-1 and -124) expression in mouse CNS / T. Mishima, Y. Mizuguchi, Y. Kawahigashi [et al.] // *Brain Research.* – 2007. – № 1. – P. 37–43
121. Differential expression of microRNAs in mouse pain models / R. Kusuda, F. Cadetti, M.I. Ravanelli [et al.] // *Molecular Pain.* – 2011. – № 1. – P. 17
122. Roles of microRNA-1 in hypoxia-induced apoptotic insults to neuronal cells / C.Y. Chang, T.N. Lui, J.W. Lin [et al.] // *Archives of Toxicology.* – 2016. – № 1. – P. 191–202

123. microRNA-133a regulates cardiomyocyte proliferation and suppresses smooth muscle gene expression in the heart / N. Liu, S. Bezprozvannaya, A.H. Williams [et al.] // *Genes and Development*. – 2008. – № 23. – P. 3242–3254